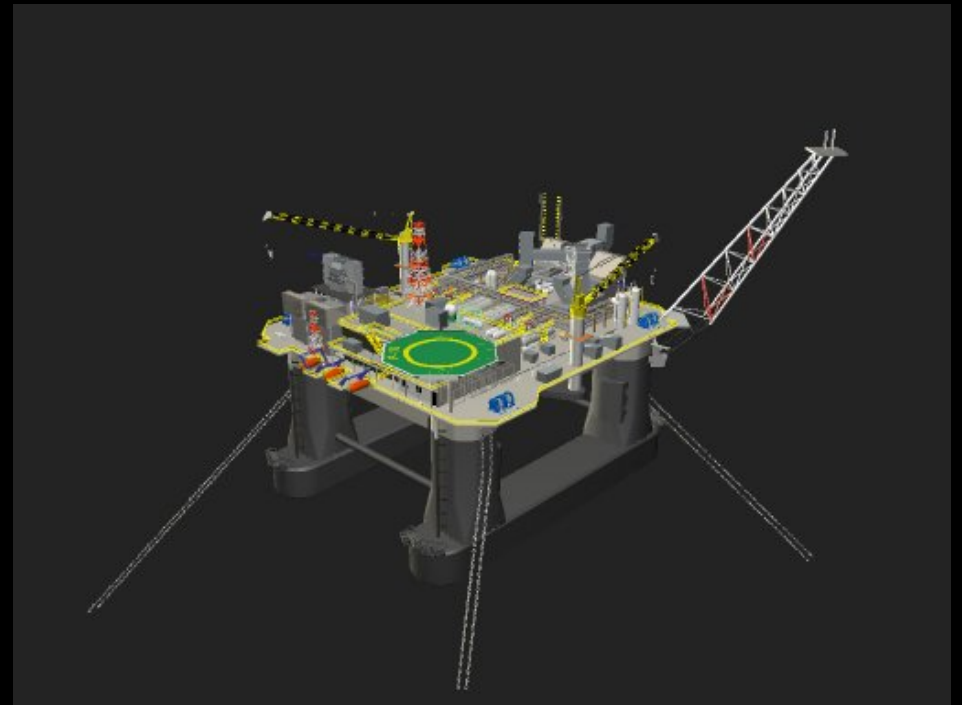
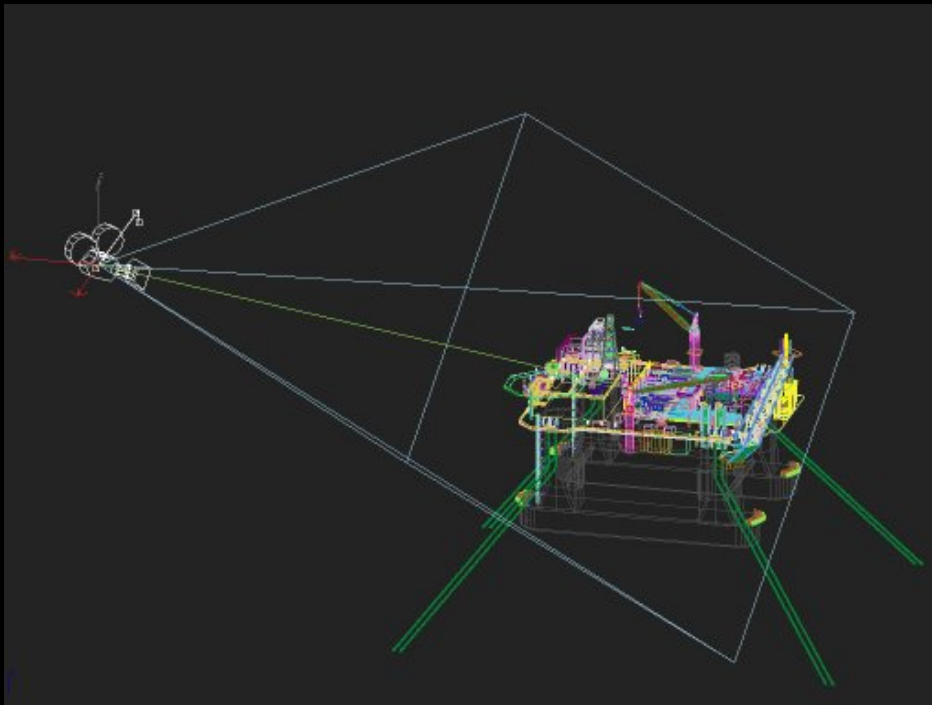
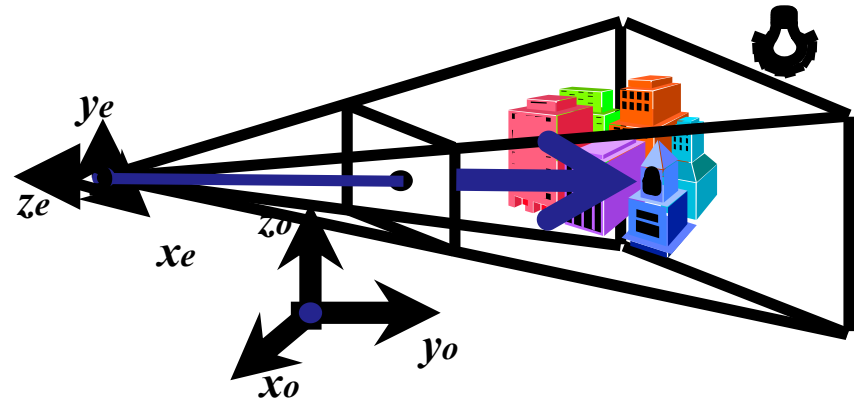


ZBuffer Rendering com Mapa de Profundidade (*OpenGL Rendering*)



Complexidade do Algoritmo de Rastreamento de Raios



Para cada pixel da tela

Defina um raio

Para cada objeto da cena

Calcule o objeto visível

Para cada luz da cena

Lance um raio

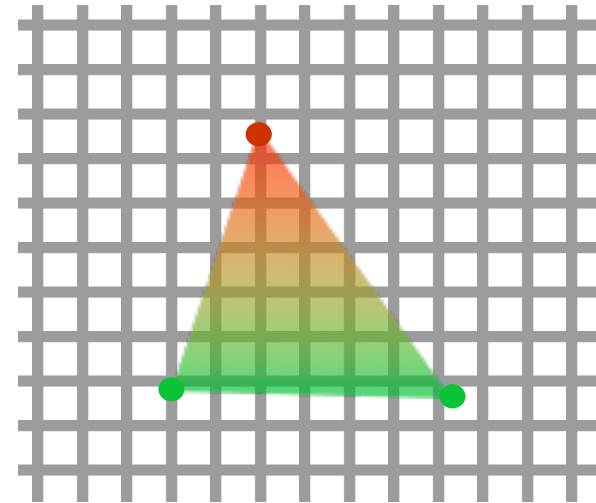
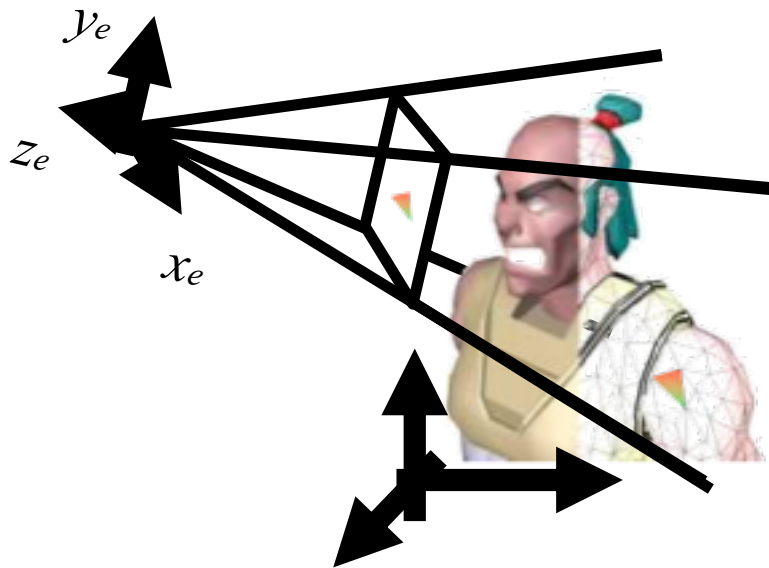
Para cada objeto da cena

Teste se o objeto faz sombra

Calcule sua iluminação

Complexidade maior que $O(\text{num. de pixels} \times \text{num. de objetos}^2)$

Mapa de Profundidade ou ZBuffer



Calcule a cor de cada vértice através da equação de iluminação

Projete cada vértice

Transforme o triângulo em fragmentos correspondentes a cada pixel encoberto

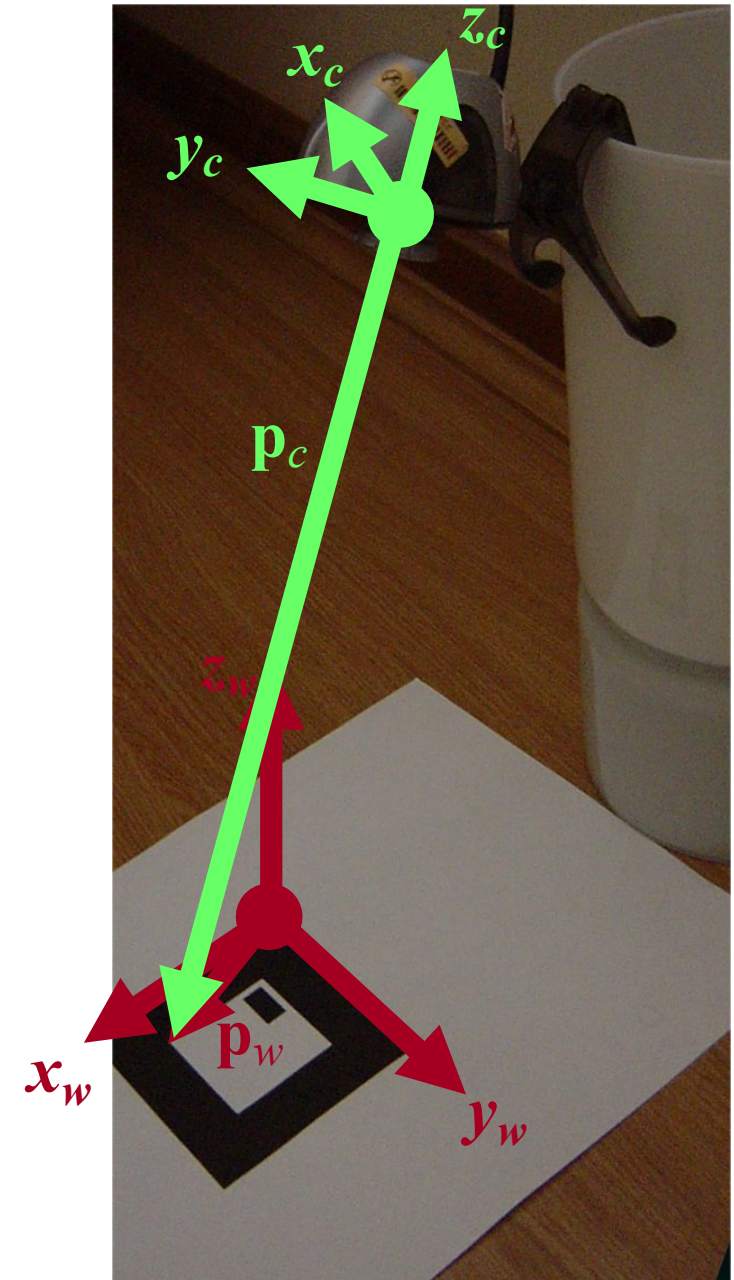
Para cada fragmento

Se a profundidade do fragmento é menor que a atual no pixel

Pinte o pixel com a cor interpolada dos vértices

View Matrix

$$\begin{bmatrix} x_c \\ y_c \\ z_c \\ 1 \end{bmatrix} = \begin{bmatrix} m_0 & m_4 & m_8 & m_{12} \\ m_1 & m_5 & m_9 & m_{13} \\ m_2 & m_6 & m_{10} & m_{14} \\ 0 & 0 & 0 & 1 \end{bmatrix} \begin{bmatrix} x_w \\ y_w \\ z_w \\ 1 \end{bmatrix}$$

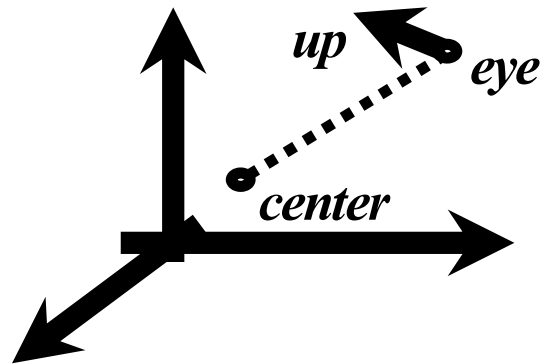


Glu Look At

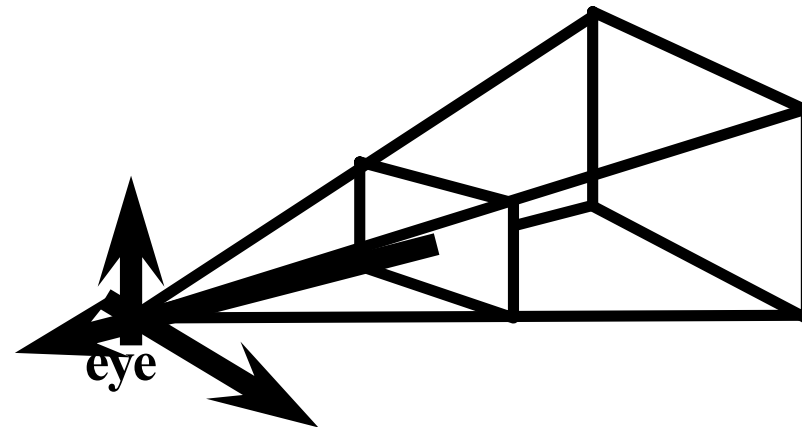
```
void gluLookAt(GLdouble eyex, GLdouble eyey, GLdouble eyez,  
              GLdouble centerx, GLdouble centery, GLdouble centerz,  
              GLdouble upx, GLdouble upy, GLdouble upz);
```

Dados: eye, center, up (definem o sistema de coordenadas do olho)

Determine a matriz que leva do sistema de Coordenadas dos Objetos para o sistema de Coordenadas do Olho



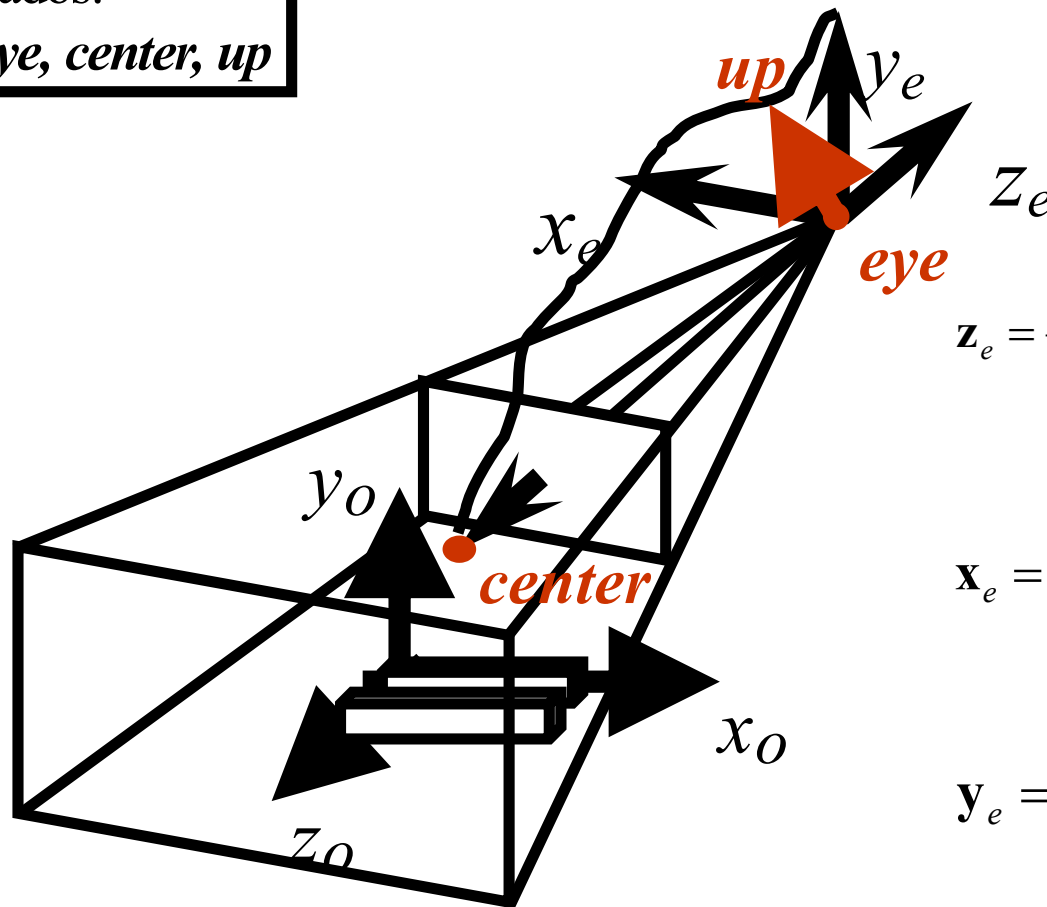
Coordenadas dos objetos



Coordenadas do olho

Calculo do sistema - $x_e y_e z_e$

dados:
 $eye, center, up$



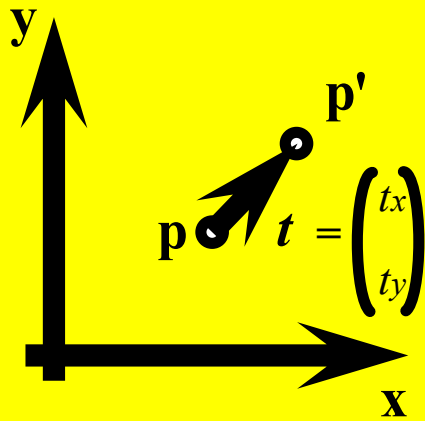
$$z_e = \frac{1}{\|eye - center\|} (eye - center)$$

$$x_e = \frac{1}{\|up \times z_e\|} (up \times z_e)$$

$$y_e = z_e \times x_e$$

Transformações Geométricas:

Translação

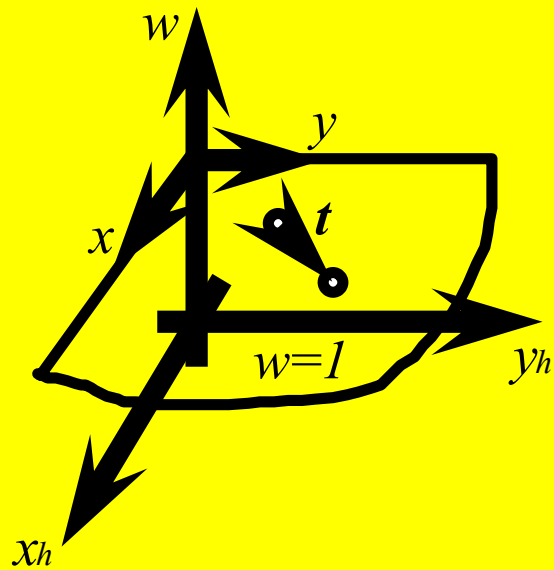


$$\mathbf{p}' = \begin{pmatrix} x' \\ y' \end{pmatrix} = \begin{pmatrix} x \\ y \end{pmatrix} + \begin{pmatrix} tx \\ ty \end{pmatrix}$$

$$\begin{pmatrix} x' \\ y' \end{pmatrix} = \begin{bmatrix} ? & ? \\ ? & ? \end{bmatrix} \begin{pmatrix} x \\ y \end{pmatrix} \quad \Leftarrow \quad \text{Não pode ser escrito na forma} \quad \boxtimes$$

$$\begin{pmatrix} x' \\ y' \end{pmatrix} = \begin{bmatrix} 1 & 0 \\ 0 & 1 \end{bmatrix} \begin{pmatrix} x \\ y \end{pmatrix} + \begin{pmatrix} tx \\ ty \end{pmatrix} \quad \Leftarrow \quad \text{Ruim para implementação} \quad \boxtimes$$

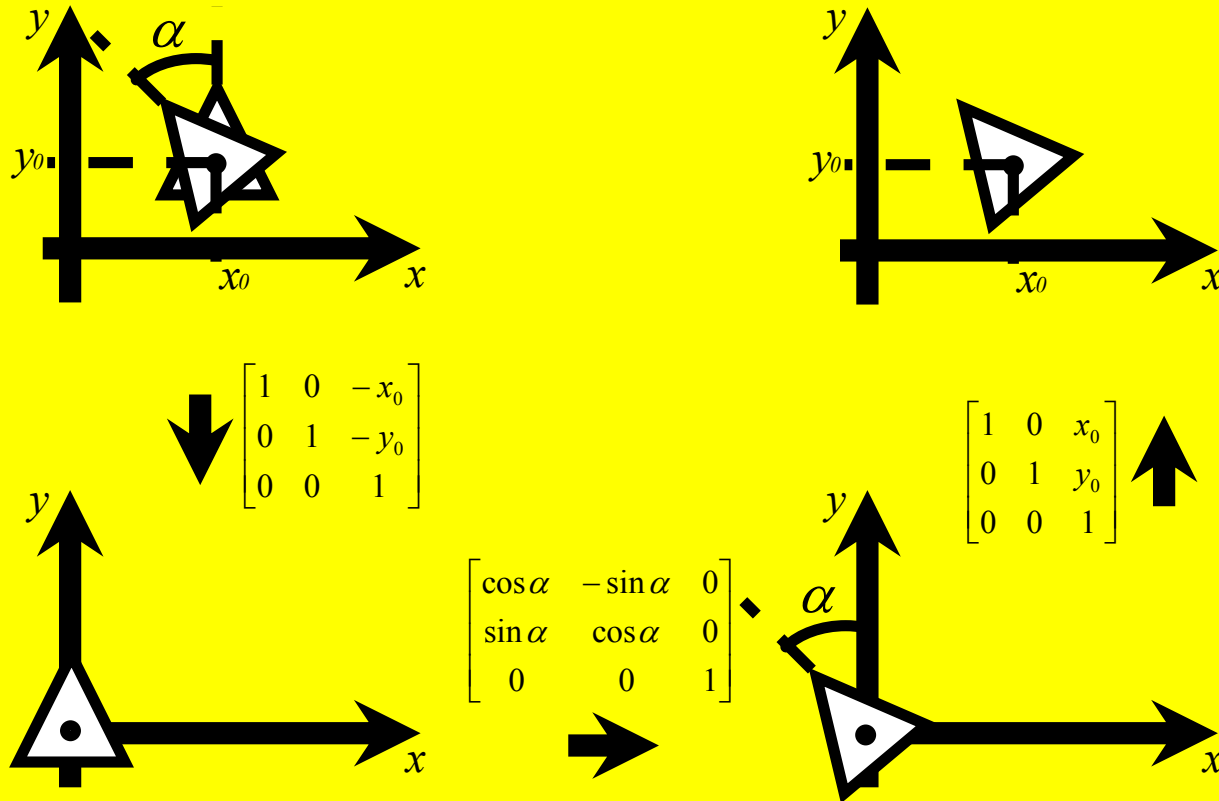
Translação num plano do \mathbb{R}^3



$$\begin{bmatrix} x' \\ y' \\ 1 \end{bmatrix} = \begin{bmatrix} 1 & 0 & t_x \\ 0 & 1 & t_y \\ 0 & 0 & 1 \end{bmatrix} \begin{bmatrix} x \\ y \\ 1 \end{bmatrix}$$

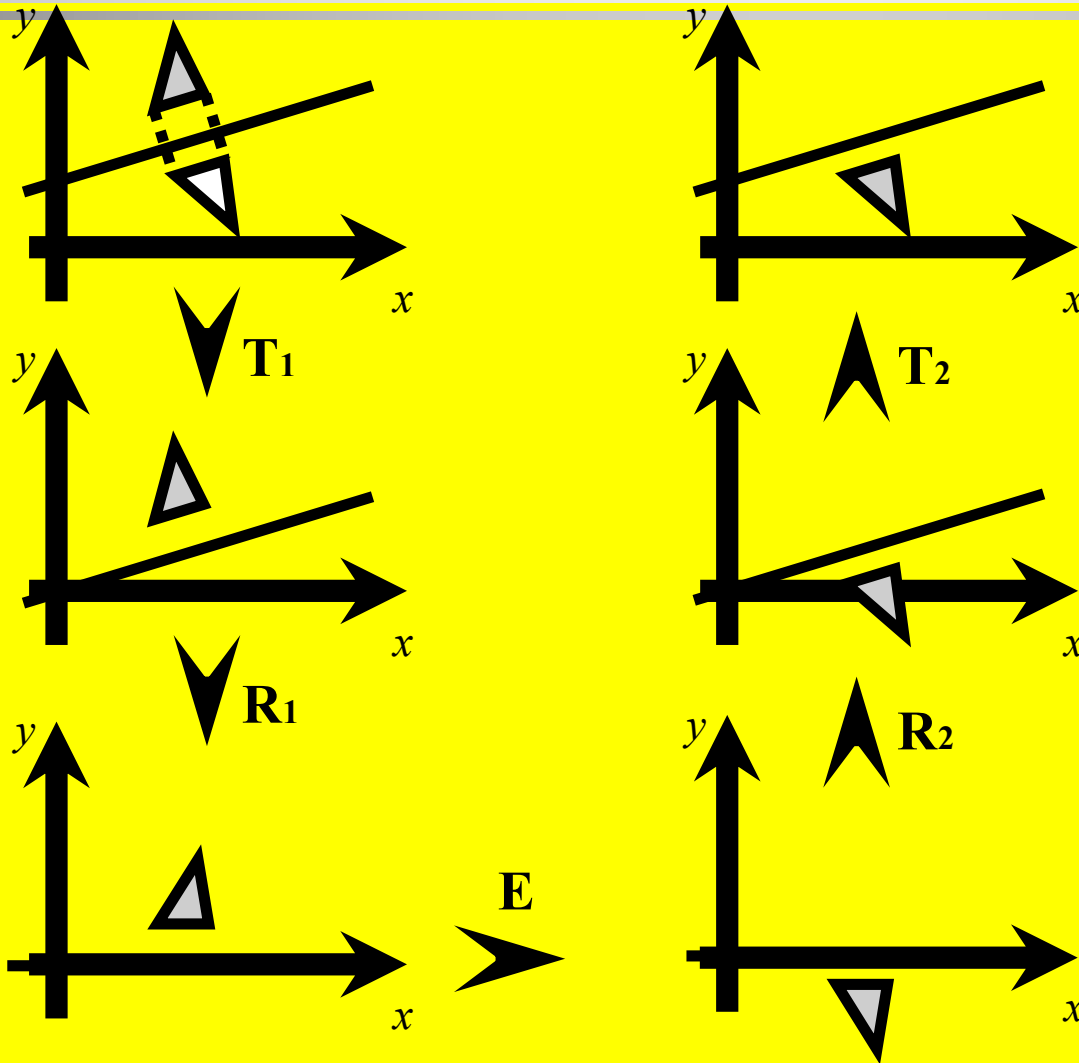
\curvearrowright matriz de translação

Concatenação



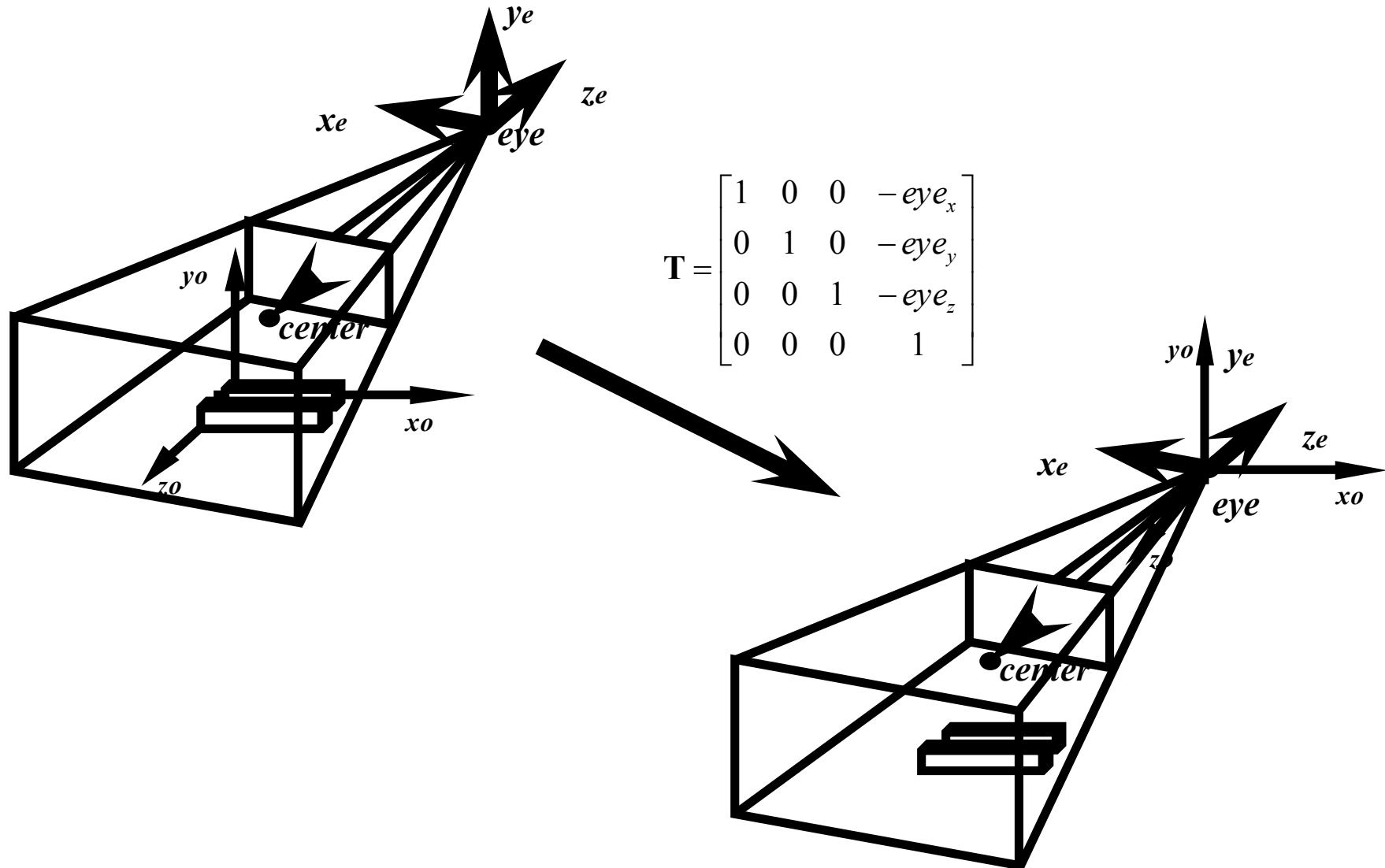
$$\begin{Bmatrix} x' \\ y' \\ 1 \end{Bmatrix} = \begin{bmatrix} 1 & 0 & x_0 \\ 0 & 1 & y_0 \\ 0 & 0 & 1 \end{bmatrix} \begin{bmatrix} \cos \alpha & -\sin \alpha & 0 \\ \sin \alpha & \cos \alpha & 0 \\ 0 & 0 & 1 \end{bmatrix} \begin{bmatrix} 1 & 0 & -x_0 \\ 0 & 1 & -y_0 \\ 0 & 0 & 1 \end{bmatrix} \begin{Bmatrix} x \\ y \\ 1 \end{Bmatrix}$$

Concatenação



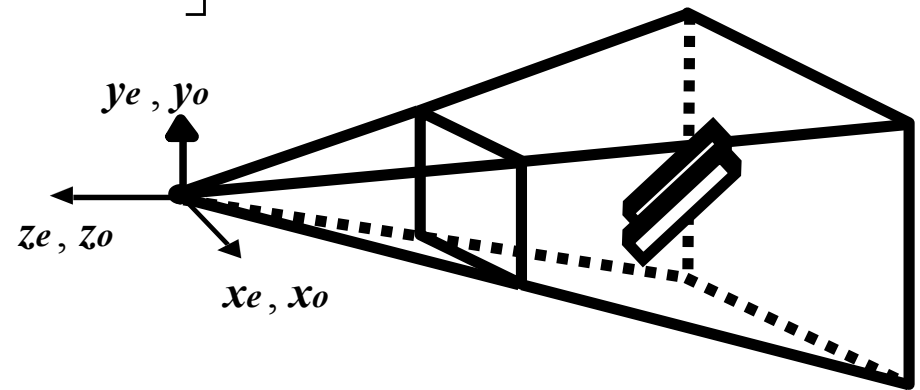
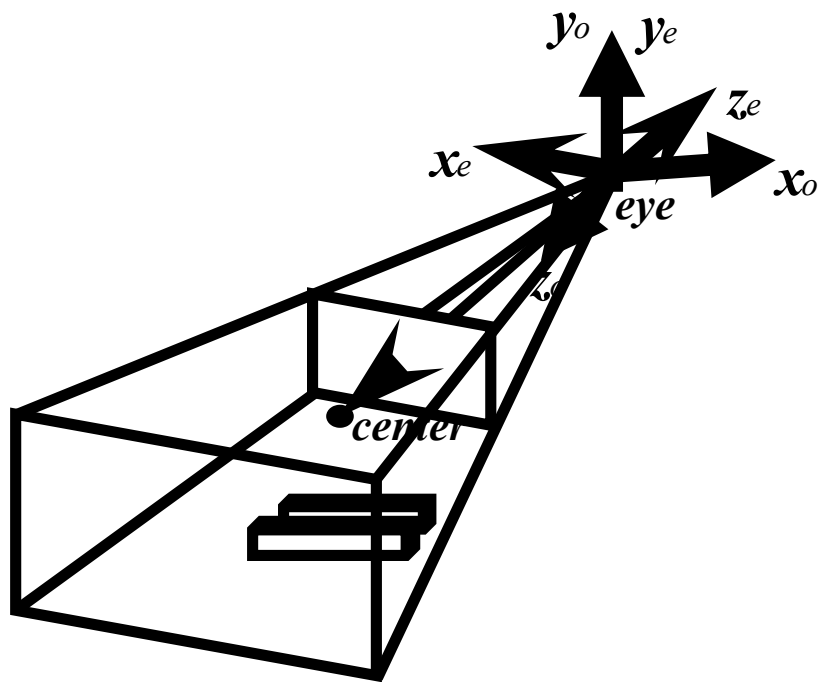
$$P' = T_2 R_2 E R_1 T_1 P$$

Translada o *eye* para origem



Roda $x_e y_e z_e$ para $x_w y_w z_w$

$$\mathbf{R} = \begin{bmatrix} x_{ex} & x_{ey} & x_{ez} & 0 \\ y_{ex} & y_{ey} & y_{ez} & 0 \\ z_{ex} & z_{ey} & z_{ez} & 0 \\ 0 & 0 & 0 & 1 \end{bmatrix}$$



Matriz LookAt do OpenGL

$$\mathbf{T} = \begin{bmatrix} 1 & 0 & 0 & -eye_x \\ 0 & 1 & 0 & -eye_y \\ 0 & 0 & 1 & -eye_z \\ 0 & 0 & 0 & 1 \end{bmatrix}$$

$$\mathbf{L}_{at} = \mathbf{RT} = \begin{bmatrix} x_{ex} & x_{ey} & x_{ez} & 0 \\ y_{ex} & y_{ey} & y_{ez} & 0 \\ z_{ex} & z_{ex} & z_{ex} & 0 \\ 0 & 0 & 0 & 1 \end{bmatrix} \begin{bmatrix} 1 & 0 & 0 & -eye_x \\ 0 & 1 & 0 & -eye_y \\ 0 & 0 & 1 & -eye_z \\ 0 & 0 & 0 & 1 \end{bmatrix}$$

$$\mathbf{z}_e = \frac{1}{\|\mathbf{eye} - \mathbf{center}\|} (\mathbf{eye} - \mathbf{center})$$

$$\mathbf{x}_e = \frac{1}{\|\mathbf{up} \times \mathbf{z}_e\|} (\mathbf{up} \times \mathbf{z}_e)$$

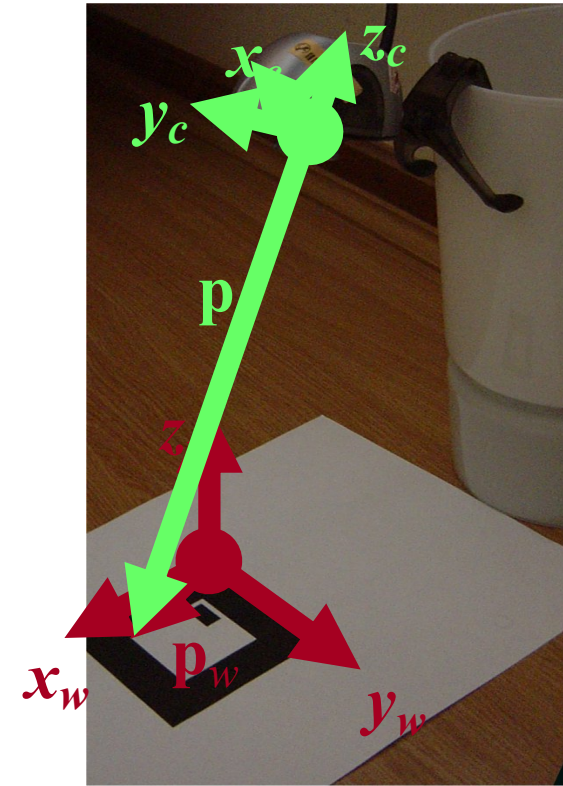
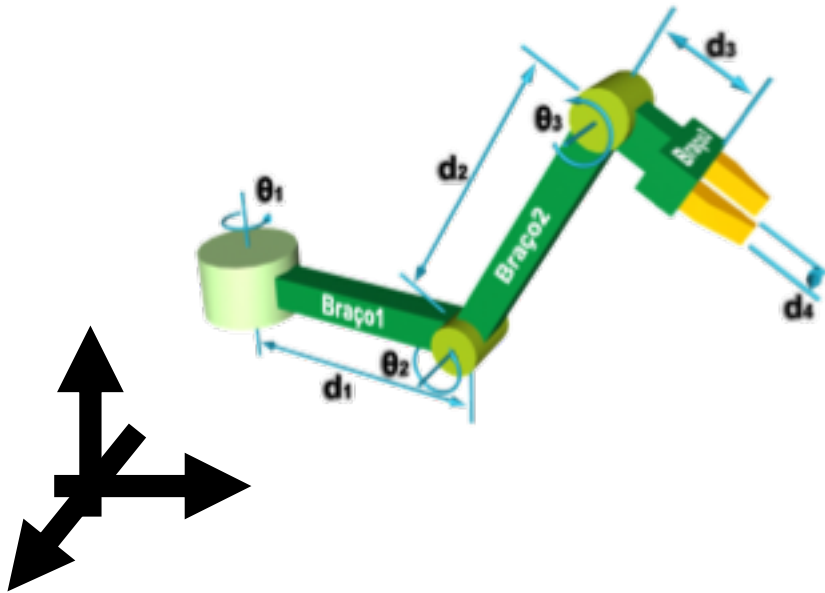
$$\mathbf{y}_e = \mathbf{z}_e \times \mathbf{x}_e$$

$$\begin{bmatrix} \mathbf{R} & \mathbf{0} \\ \mathbf{0} & 1 \end{bmatrix} \begin{bmatrix} \mathbf{I} & -\mathbf{eye} \\ \mathbf{0} & 1 \end{bmatrix}$$

$$\mathbf{R} = \begin{bmatrix} x_{ex} & x_{ey} & x_{ez} & 0 \\ y_{ex} & y_{ey} & y_{ez} & 0 \\ z_{ex} & z_{ex} & z_{ex} & 0 \\ 0 & 0 & 0 & 1 \end{bmatrix}$$

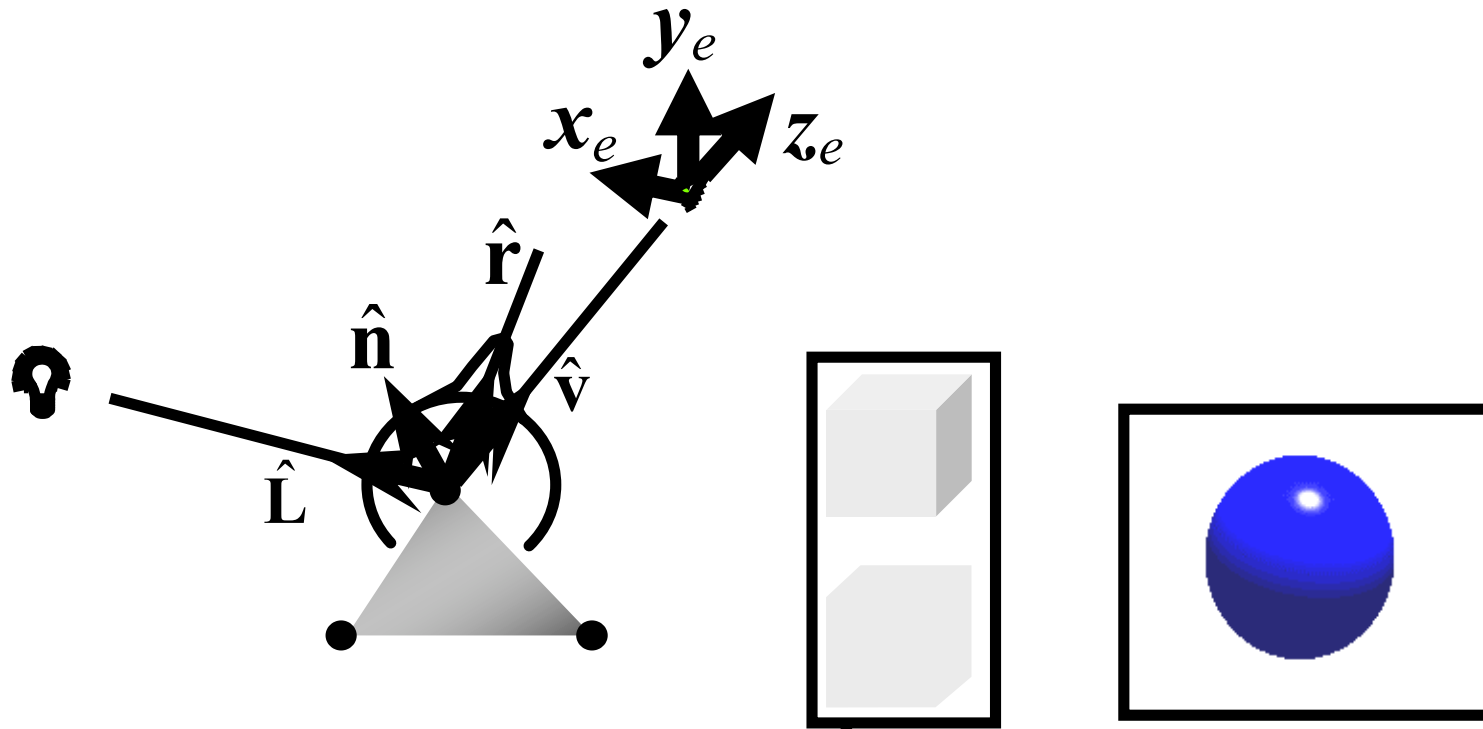
$$\begin{bmatrix} \mathbf{R} & -[\mathbf{R}](\mathbf{eye}) \\ \mathbf{0} & 1 \end{bmatrix}$$

Model View



$$\begin{bmatrix} x_c \\ y_c \\ z_c \\ 1 \end{bmatrix} = \begin{bmatrix} x_{ex} & x_{ey} & x_{ez} & 0 \\ y_{ex} & y_{ey} & y_{ez} & 0 \\ z_{ex} & z_{ex} & z_{ex} & 0 \\ 0 & 0 & 0 & 1 \end{bmatrix} \begin{bmatrix} 1 & 0 & 0 & -eye_x \\ 0 & 1 & 0 & -eye_y \\ 0 & 0 & 1 & -eye_z \\ 0 & 0 & 0 & 1 \end{bmatrix} \begin{bmatrix} m_0 & m_4 & m_8 & m_{12} \\ m_1 & m_5 & m_9 & m_{13} \\ m_2 & m_6 & m_{10} & m_{14} \\ 0 & 0 & 0 & 1 \end{bmatrix} \begin{bmatrix} x_o \\ y_o \\ z_o \\ 1 \end{bmatrix}$$

Cor dos vértices

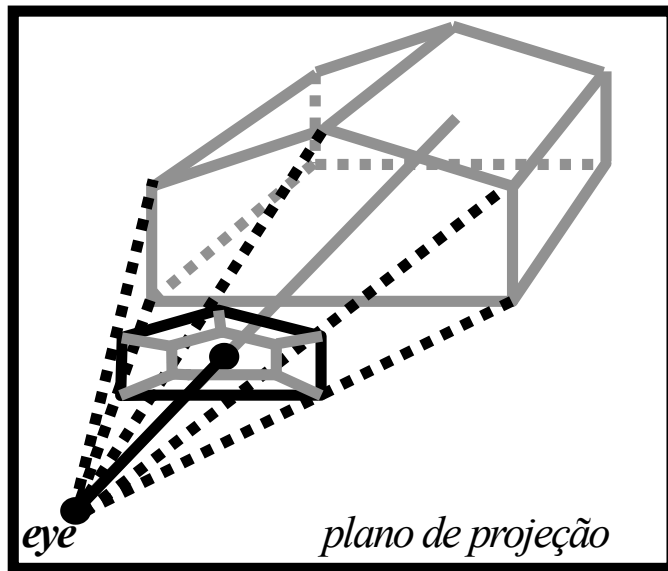


$$\begin{pmatrix} I_r \\ I_g \\ I_b \end{pmatrix} = \sum_{luzes} \left(\begin{pmatrix} l_{ar} \\ l_{ag} \\ l_{ab} \end{pmatrix} \otimes \begin{pmatrix} k_{ar} \\ k_{ag} \\ k_{ab} \end{pmatrix} + \begin{pmatrix} l_r \\ l_g \\ l_b \end{pmatrix} \otimes \begin{pmatrix} k_{dr} \\ k_{dg} \\ k_{db} \end{pmatrix} (\hat{\mathbf{n}} \cdot \hat{\mathbf{L}}) + \begin{pmatrix} l_r \\ l_g \\ l_b \end{pmatrix} \otimes \begin{pmatrix} k_{sr} \\ k_{sg} \\ k_{sb} \end{pmatrix} (\hat{\mathbf{r}} \cdot \hat{\mathbf{v}})^n \right)$$

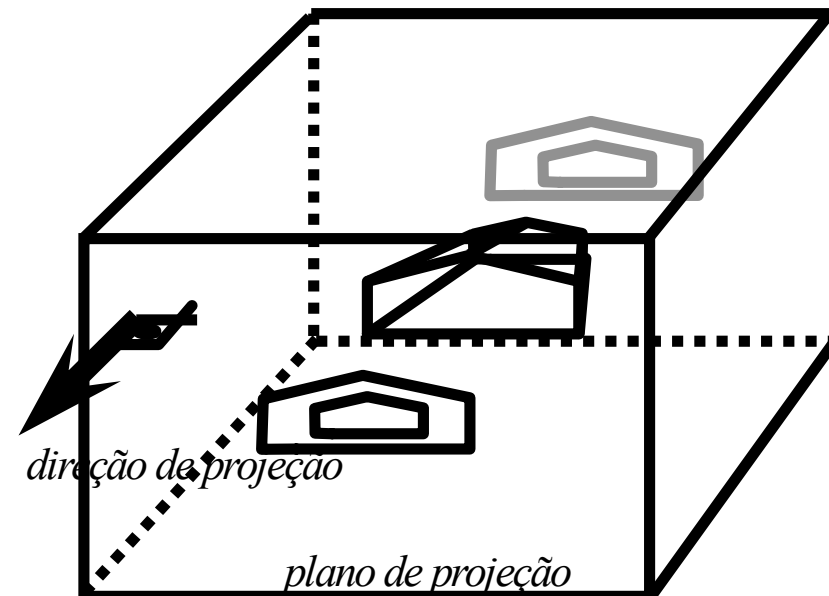
Projeção

Simplificação da projeção cônica

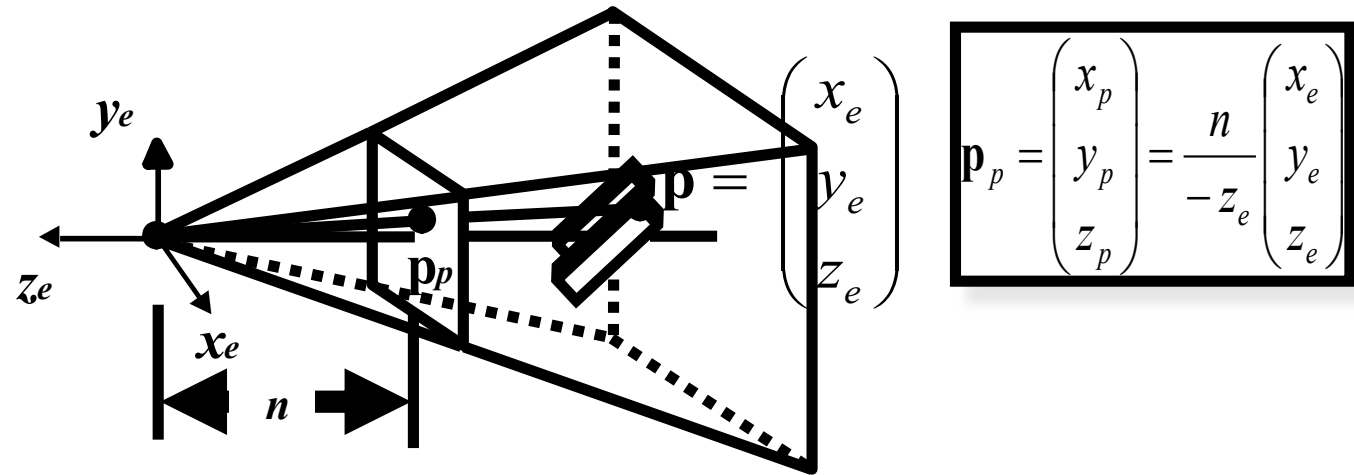
Projeção cônica



Projeção ortográfica



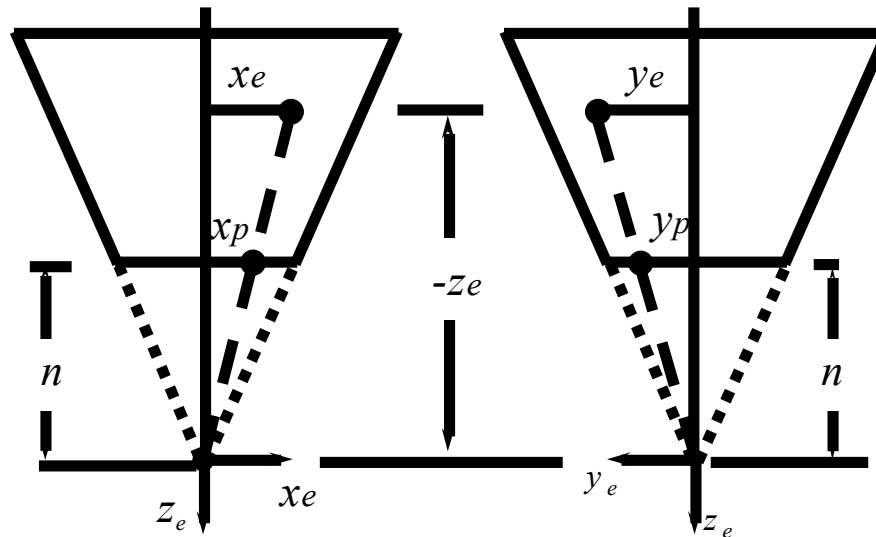
Projeção cônica simples



$$\mathbf{p}_p = \begin{pmatrix} x_p \\ y_p \\ z_p \end{pmatrix} = \frac{n}{-z_e} \begin{pmatrix} x_e \\ y_e \\ z_e \end{pmatrix}$$

$$\frac{x_p}{x_e} = \frac{n}{-z_e}$$

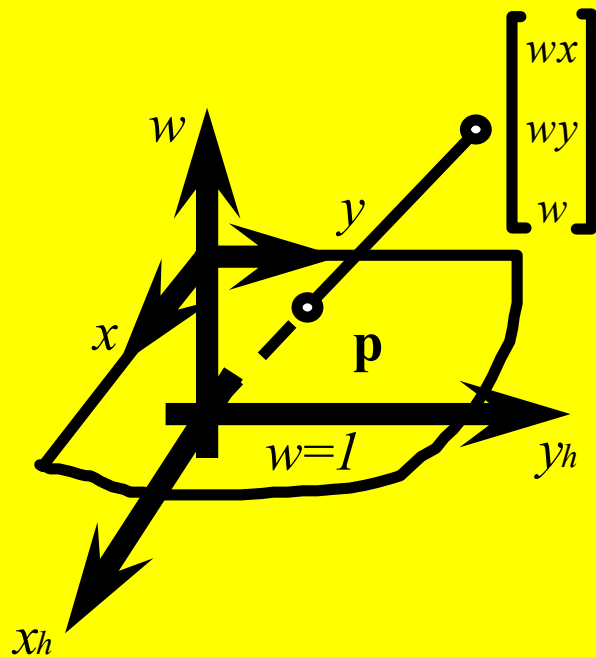
$$x_p = \frac{n}{-z_e} x_e$$



$$\frac{y_p}{y_e} = \frac{n}{-z_e}$$

$$y_p = \frac{n}{-z_e} y_e$$

Coordenadas projetivas (ou homogêneas)



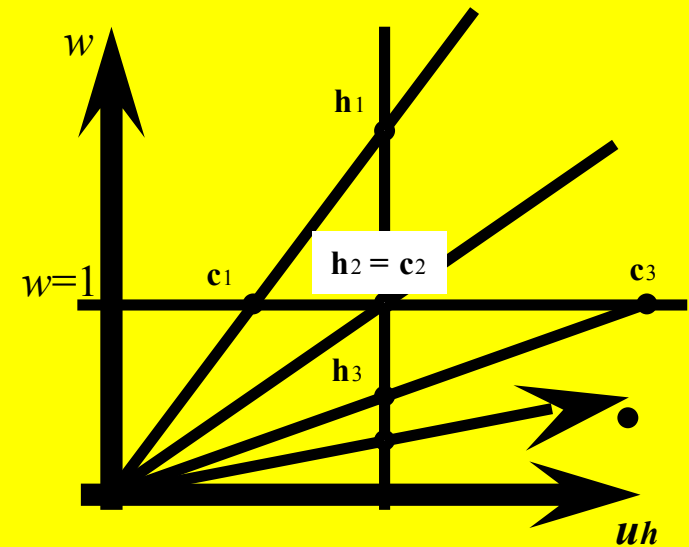
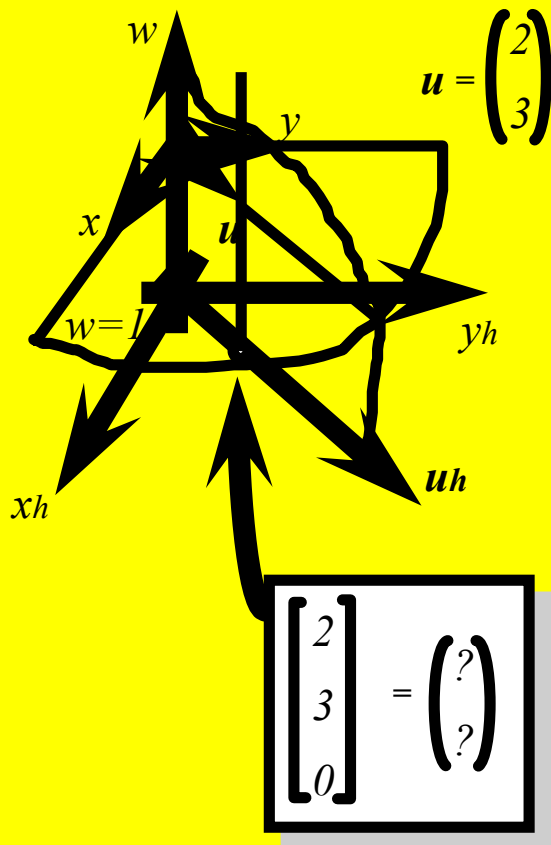
$$\mathbf{p} = \begin{pmatrix} x \\ y \end{pmatrix} \triangleq \begin{bmatrix} x \\ y \\ 1 \end{bmatrix} \triangleq \begin{bmatrix} wx \\ wy \\ w \end{bmatrix} = \begin{bmatrix} xh \\ yh \\ w \end{bmatrix}$$

$$\begin{aligned} x &= xh/w \\ y &= yh/w \end{aligned} \quad w > 0$$

Ex.:

$$\begin{pmatrix} 3 \\ 2 \end{pmatrix} \triangleq \begin{bmatrix} 3 \\ 2 \\ 1 \end{bmatrix} \triangleq \begin{bmatrix} 6 \\ 4 \\ 2 \end{bmatrix} = \begin{bmatrix} 9 \\ 6 \\ 3 \end{bmatrix}$$

Vantagens das coordenadas homogêneas (pontos no infinito)

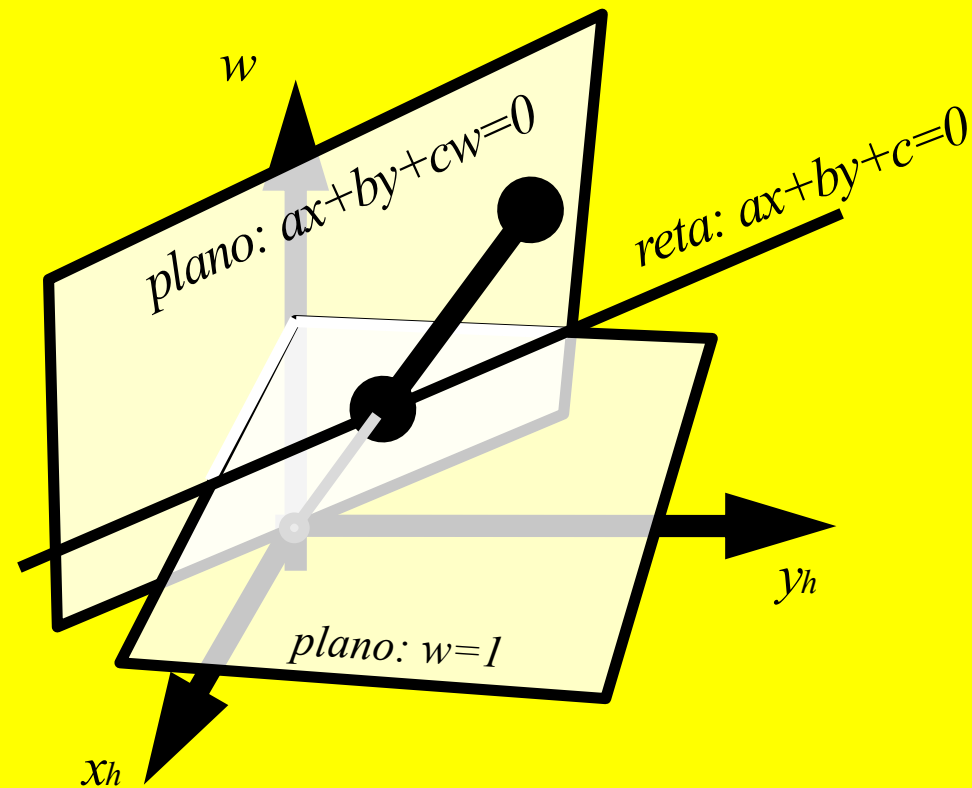


h_1	h_2	h_3	h_4	...
$\begin{bmatrix} 2 \\ 3 \\ 2 \end{bmatrix}$	$\begin{bmatrix} 2 \\ 3 \\ 1 \end{bmatrix}$	$\begin{bmatrix} 2 \\ 3 \\ 1/2 \end{bmatrix}$	$\begin{bmatrix} 2 \\ 3 \\ 1/4 \end{bmatrix}$	$\begin{bmatrix} 2 \\ 3 \\ 0 \end{bmatrix}$

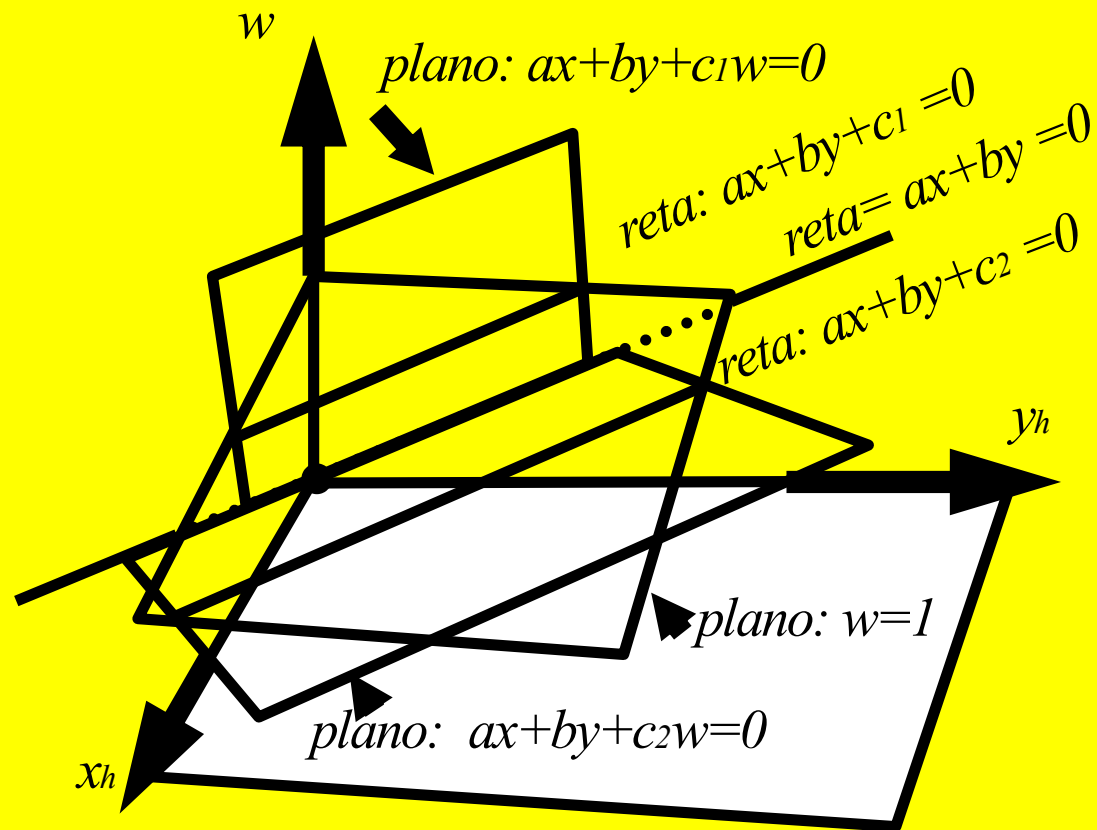
c_1	c_2	c_3	c_4
$\begin{pmatrix} 1 \\ 1.5 \end{pmatrix}$	$\begin{pmatrix} 2 \\ 3 \end{pmatrix}$	$\begin{pmatrix} 4 \\ 6 \end{pmatrix}$	$\begin{pmatrix} 8 \\ 12 \end{pmatrix}$

*infinito
na
direção
(2,3)*

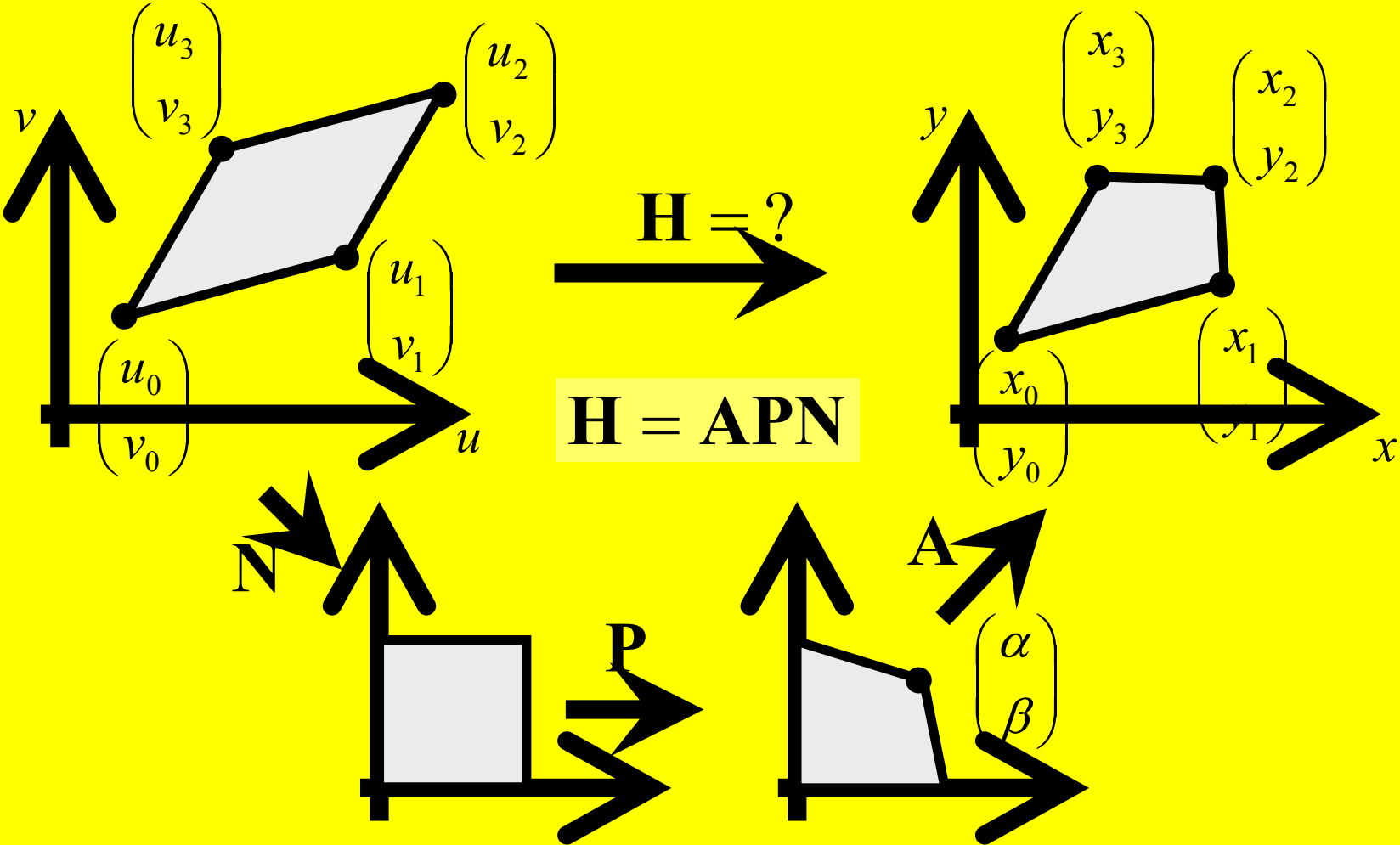
Reta no espaço projetivo



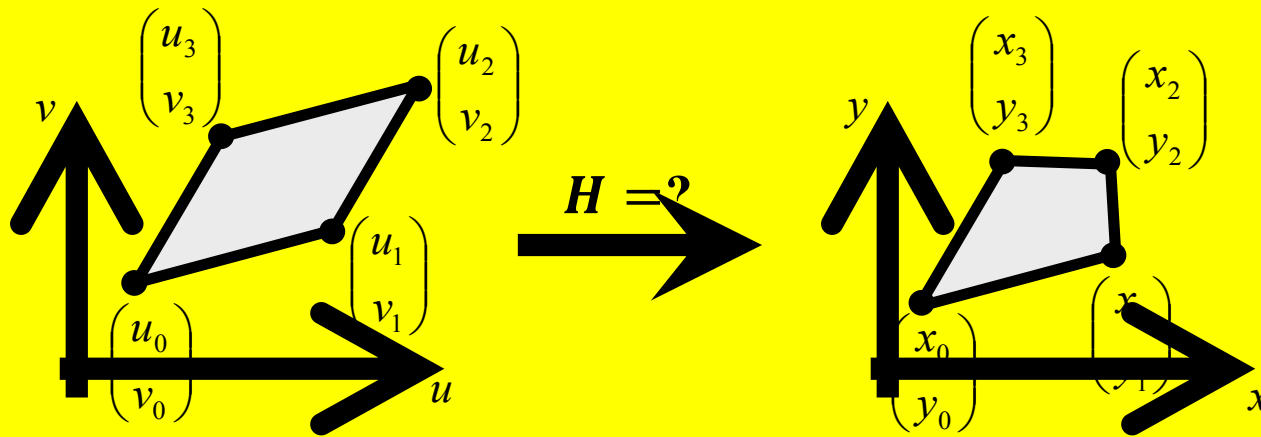
Reta paralelas no espaço projetivo



Matriz da Homografia



Matriz da Homografia



$$H = \begin{bmatrix} h_0 & h_3 & h_6 \\ h_1 & h_4 & h_7 \\ h_2 & h_5 & h_8 \end{bmatrix}$$

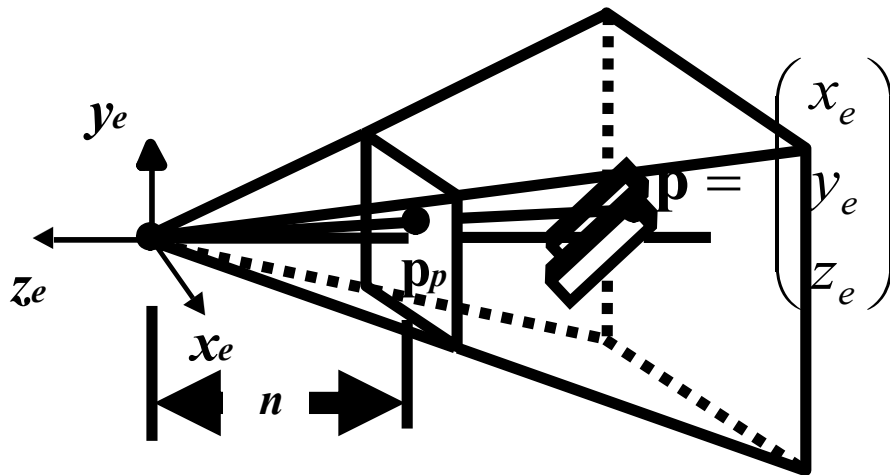
$$x_0 = \frac{h_0 u_0 + h_3 v_0 + h_6}{h_2 u_0 + h_5 v_0 + h_8}$$

$$y_0 = \frac{h_1 u_0 + h_4 v_0 + h_7}{h_2 u_0 + h_5 v_0 + h_8}$$

$$(h_2 u_0 + h_5 v_0 + h_8) x_0 = h_0 u_0 + h_3 v_0 + h_6$$

$$(h_2 u_0 + h_5 v_0 + h_8) y_0 = h_1 u_0 + h_4 v_0 + h_7$$

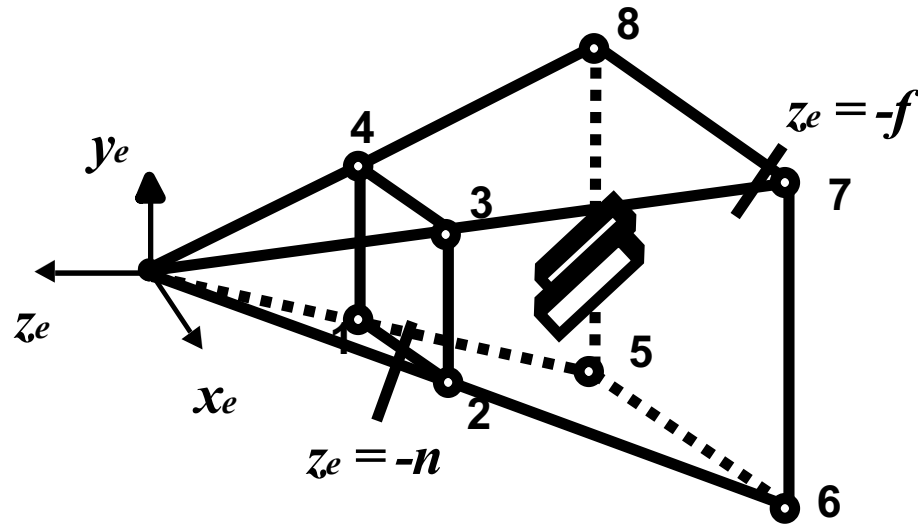
Projeção cônica simples



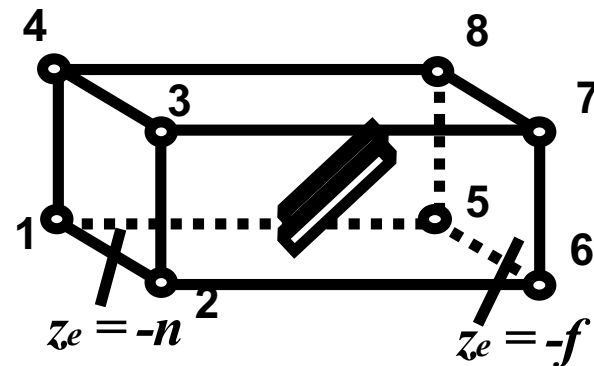
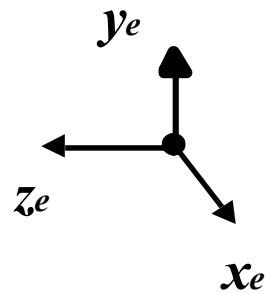
$$\mathbf{p}_p = \begin{pmatrix} x_p \\ y_p \\ z_p \end{pmatrix} = \frac{n}{-z_e} \begin{pmatrix} x_e \\ y_e \\ z_e \end{pmatrix}$$

$$\begin{bmatrix} wx_p \\ wy_p \\ wz_p \\ w \end{bmatrix} = \begin{bmatrix} n & 0 & 0 & 0 \\ 0 & n & 0 & 0 \\ 0 & 0 & n & 0 \\ 0 & 0 & -1 & 0 \end{bmatrix} \begin{bmatrix} x_e \\ y_e \\ z_e \\ 1 \end{bmatrix} = \begin{bmatrix} nx_e \\ ny_e \\ nz_e \\ -z_e \end{bmatrix} \rightarrow \begin{pmatrix} x_p \\ y_p \\ z_p \end{pmatrix} = \frac{1}{-z_e} \begin{pmatrix} nx_e \\ ny_e \\ nz_e \end{pmatrix}$$

Distorce o frustum de visão para o espaço da tela



H = ?



Transformação projetiva

- a origem vai para o infinito em z^+ -

$$\begin{bmatrix} w_i x'_i \\ w_i y'_i \\ w_i z'_i \\ w_i \end{bmatrix} = \begin{bmatrix} m_{00} & m_{01} & m_{02} & m_{03} \\ m_{10} & m_{11} & m_{12} & m_{13} \\ m_{20} & m_{21} & m_{22} & m_{23} \\ m_{30} & m_{31} & m_{32} & m_{33} \end{bmatrix} \begin{bmatrix} x_i \\ y_i \\ z_i \\ 1 \end{bmatrix}$$

$$\begin{bmatrix} 0 \\ 0 \\ 0 \\ 1 \end{bmatrix} \rightarrow \begin{bmatrix} 0 \\ 0 \\ \alpha \\ 0 \end{bmatrix} \quad \rightarrow \quad \begin{bmatrix} 0 \\ 0 \\ \alpha \\ 0 \end{bmatrix} = \begin{bmatrix} m_{00} & m_{01} & m_{02} & m_{03} \\ m_{10} & m_{11} & m_{12} & m_{13} \\ m_{20} & m_{21} & m_{22} & m_{23} \\ m_{30} & m_{31} & m_{32} & m_{33} \end{bmatrix} \begin{bmatrix} 0 \\ 0 \\ 0 \\ 1 \end{bmatrix} = \begin{bmatrix} m_{03} \\ m_{13} \\ m_{23} \\ m_{33} \end{bmatrix}$$

$$\mathbf{P} = \begin{bmatrix} m_{00} & m_{01} & m_{02} & 0 \\ m_{10} & m_{11} & m_{12} & 0 \\ m_{20} & m_{21} & m_{22} & \alpha \\ m_{30} & m_{31} & m_{32} & 0 \end{bmatrix}$$

Transformação projetiva

- os pontos do plano $z = -n$ ficam imóveis -

$$\begin{bmatrix} x \\ y \\ -n \\ 1 \end{bmatrix} \rightarrow \begin{bmatrix} \beta x \\ \beta y \\ -\beta n \\ \beta \end{bmatrix} \quad \forall x, y \in \mathbb{R}$$

$$\begin{bmatrix} \beta x \\ \beta y \\ -\beta n \\ \beta \end{bmatrix} = \begin{bmatrix} m_{00} & m_{01} & m_{02} & 0 \\ m_{10} & m_{11} & m_{12} & 0 \\ m_{20} & m_{21} & m_{22} & \alpha \\ m_{30} & m_{31} & m_{32} & 0 \end{bmatrix} \begin{bmatrix} x \\ y \\ -n \\ 1 \end{bmatrix} = \begin{bmatrix} m_{00}x + m_{01}y - m_{02}n \\ m_{10}x + m_{11}y - m_{12}n \\ m_{20}x + m_{21}y - m_{22}n + \alpha \\ m_{30}x + m_{31}y - m_{32}n \end{bmatrix} \quad \forall x, y \in \mathbb{R}$$

$$\beta x = m_{00}x + m_{01}y - m_{02}n \quad \Rightarrow m_{00} = \beta, \quad m_{01} = m_{02} = 0$$

$$\beta y = m_{10}x + m_{11}y - m_{12}n \quad \Rightarrow m_{11} = \beta, \quad m_{10} = m_{12} = 0$$

$$-\beta n = m_{20}x + m_{21}y - m_{22}n + \alpha \quad \Rightarrow m_{22} = \beta + \frac{\alpha}{n}, \quad m_{20} = m_{21} = 0$$

$$\beta = m_{30}x + m_{31}y - m_{32}n \quad \Rightarrow m_{32} = -\frac{\beta}{n}, \quad m_{30} = m_{31} = 0$$

Transformação projetiva

- matriz P com estas condições -

$$\mathbf{H} = \begin{bmatrix} \beta & 0 & 0 & 0 \\ 0 & \beta & 0 & 0 \\ 0 & 0 & \beta + \frac{\alpha}{n} & \alpha \\ 0 & 0 & -\frac{\beta}{n} & 0 \end{bmatrix}$$

Transformação projetiva

- condição sobre os pontos do plano $z = -f$ -

$$\begin{bmatrix} x \\ y \\ -f \\ 1 \end{bmatrix} \rightarrow \begin{bmatrix} \gamma \frac{n}{f} x \\ \gamma \frac{n}{f} y \\ -\gamma f \\ \gamma \end{bmatrix}$$

$\forall x, y \in R$

$$\begin{bmatrix} \gamma \frac{n}{f} x \\ \gamma \frac{n}{f} y \\ -\gamma f \\ \gamma \end{bmatrix} = \begin{bmatrix} \beta & 0 & 0 & 0 \\ 0 & \beta & 0 & 0 \\ 0 & 0 & \beta + \frac{\alpha}{n} & \alpha \\ 0 & 0 & -\frac{\beta}{n} & 0 \end{bmatrix} \begin{bmatrix} x \\ y \\ -f \\ 1 \end{bmatrix} = \begin{bmatrix} \beta x \\ \beta y \\ -\beta f - \frac{\alpha f}{n} + \alpha \\ \beta \frac{f}{n} \end{bmatrix} \quad \forall x, y \in R$$

$$\beta = \gamma \frac{n}{f}$$

$$-\gamma f = \alpha \left(1 - \frac{f}{n} \right) - \beta f \quad \Rightarrow \quad \alpha = \gamma n$$

Transformação projetiva

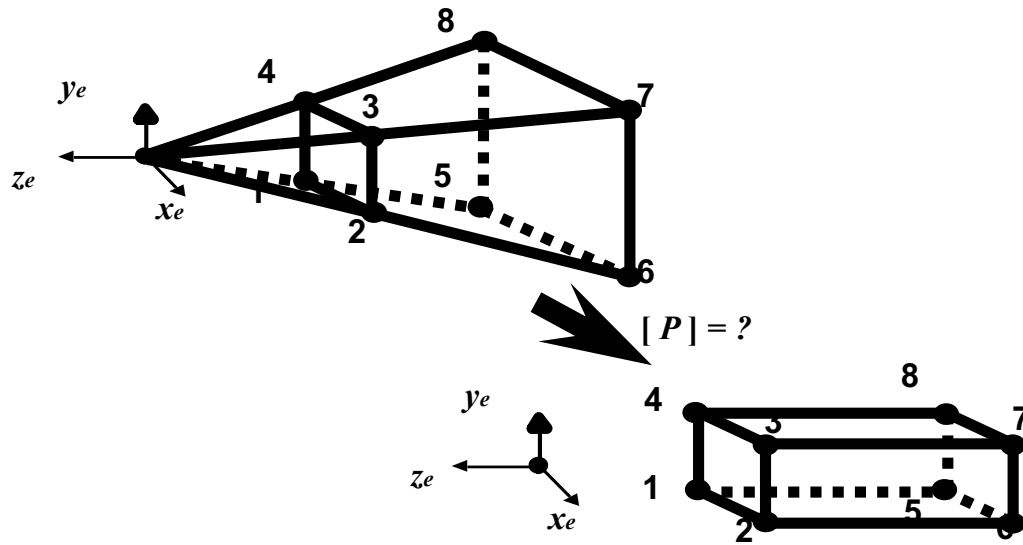
- condição sobre os pontos do plano $z = -f$ -

$$\mathbf{P} = \begin{bmatrix} \gamma \frac{n}{f} & 0 & 0 & 0 \\ 0 & \gamma \frac{n}{f} & 0 & 0 \\ 0 & 0 & \gamma \frac{n}{f} + \gamma & \gamma n \\ 0 & 0 & -\gamma \frac{1}{f} & 0 \end{bmatrix}$$

$$\gamma = f$$

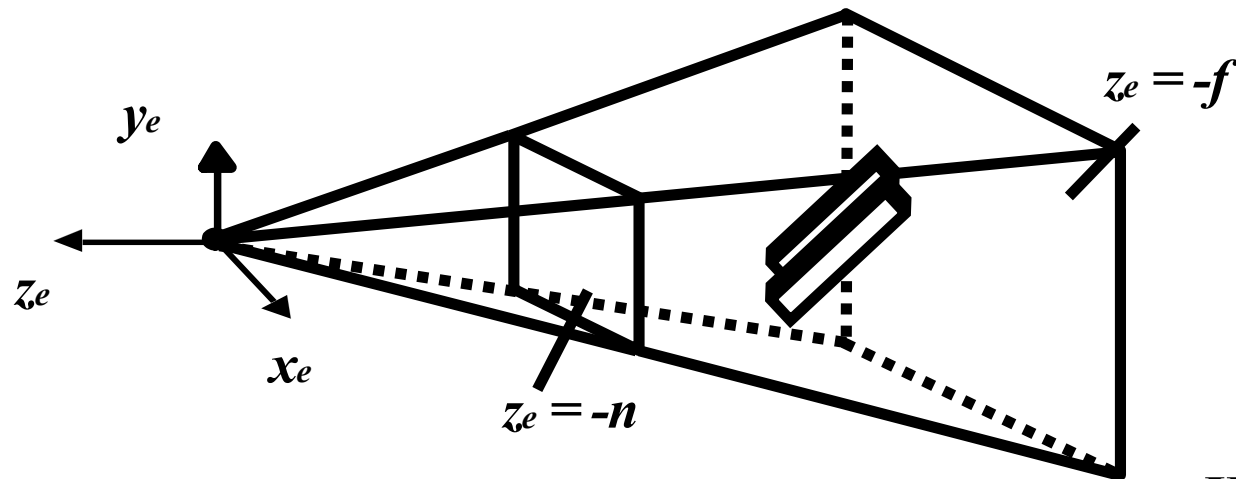
$$\mathbf{H} = \begin{bmatrix} n & 0 & 0 & 0 \\ 0 & n & 0 & 0 \\ 0 & 0 & n + f & nf \\ 0 & 0 & -1 & 0 \end{bmatrix}$$

Resumindo



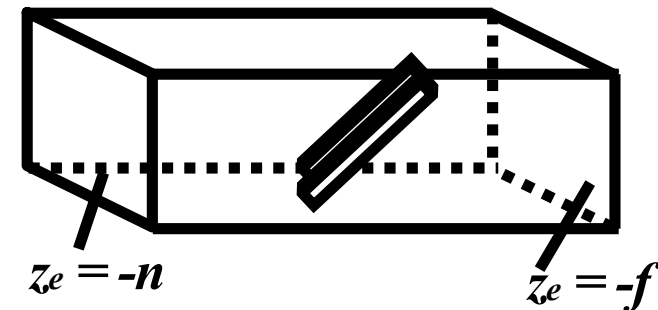
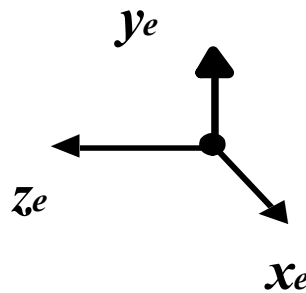
$$\mathbf{H} = \begin{bmatrix} n & 0 & 0 & 0 \\ 0 & n & 0 & 0 \\ 0 & 0 & n + f & nf \\ 0 & 0 & -1 & 0 \end{bmatrix}$$

Outro enfoque: distorce o frustum de visão para o espaço da tela



$$d = n$$

$$\mathbf{H} = \begin{bmatrix} n & 0 & 0 & 0 \\ 0 & n & 0 & 0 \\ 0 & 0 & a & b \\ 0 & 0 & -1 & 0 \end{bmatrix}$$



Uma equação para profundidade

$$z' = -a - \frac{b}{z}$$

Ptos no near ($z=-n$):

$$-n = -a + \frac{b}{n}$$

Ptos no far ($z=-f$):

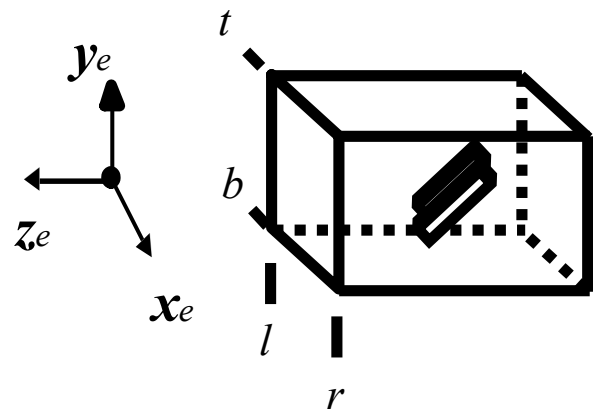
$$-f = -a + \frac{b}{f}$$



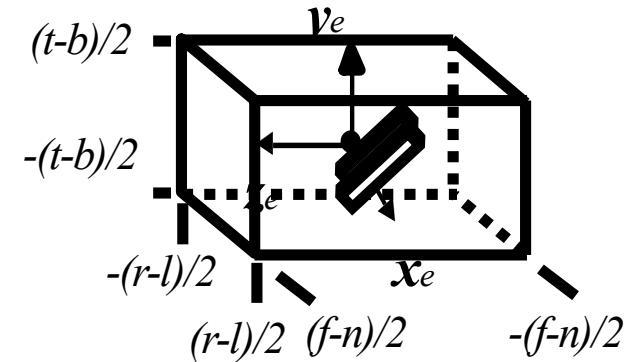
$$\begin{cases} a = f + n \\ b = f \cdot n \end{cases}$$

$$[\mathbf{H}] = \begin{bmatrix} n & 0 & 0 & 0 \\ 0 & n & 0 & 0 \\ 0 & 0 & n+f & nf \\ 0 & 0 & -1 & 0 \end{bmatrix}$$

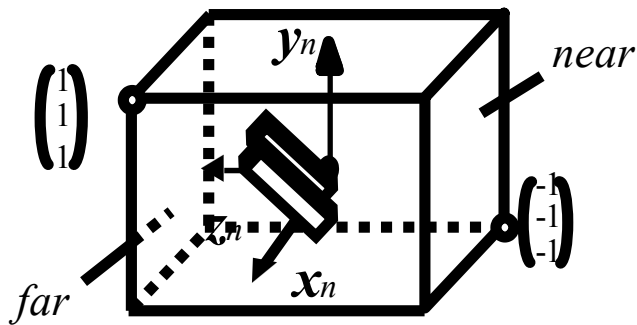
Transforma o prisma de visão cubo normalizado $[-1,1] \times [-1,1] \times [-1,1]$



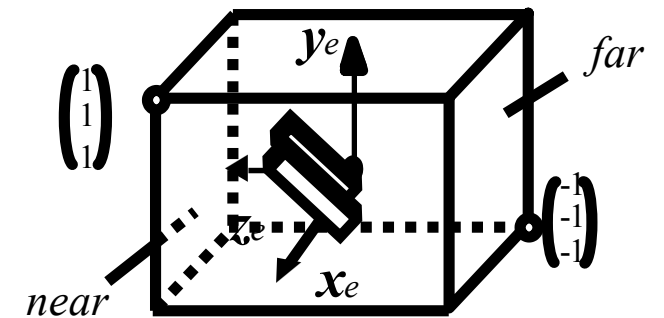
$$T = \begin{bmatrix} 1 & 0 & 0 & -(r+l)/2 \\ 0 & 1 & 0 & -(t+b)/2 \\ 0 & 0 & 1 & +(f+n)/2 \\ 0 & 0 & 0 & 1 \end{bmatrix}$$



$$S = \begin{bmatrix} 2/(r-l) & 0 & 0 & 0 \\ 0 & 2/(t-b) & 0 & 0 \\ 0 & 0 & 2/(f-n) & 0 \\ 0 & 0 & 0 & 1 \end{bmatrix}$$

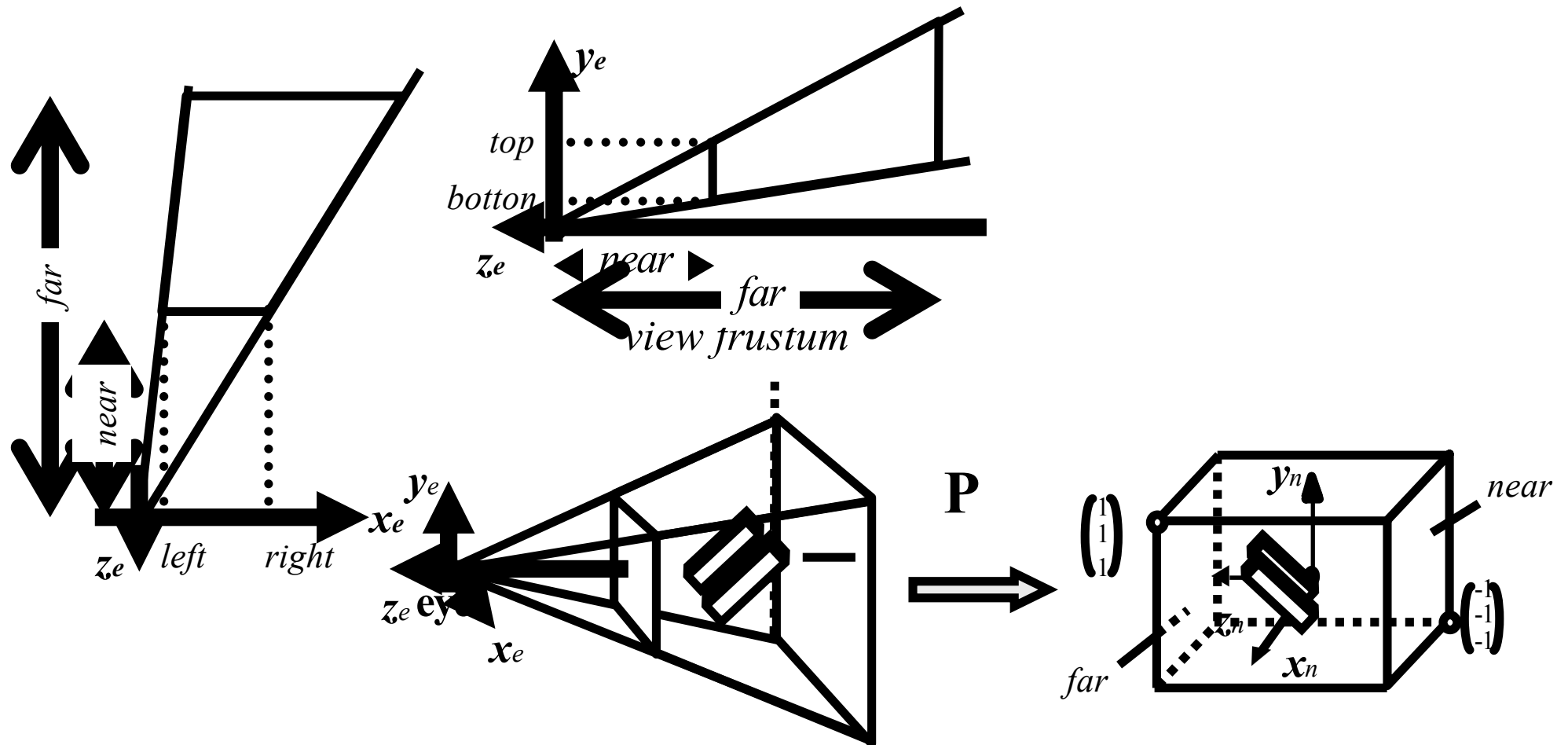


$$M = \begin{bmatrix} 1 & 0 & 0 & 0 \\ 0 & 1 & 0 & 0 \\ 0 & 0 & -1 & 0 \\ 0 & 0 & 0 & 1 \end{bmatrix}$$



Projeção Cônica (*Frustum*)

```
void glFrustum(GLdouble left, GLdouble right, GLdouble bottom, GLdouble top,  
              GLdouble near_, GLdouble far_ );
```



Matriz Frustum do OpenGL

$$\mathbf{H} = \begin{bmatrix} n & 0 & 0 & 0 \\ 0 & n & 0 & 0 \\ 0 & 0 & n+f & nf \\ 0 & 0 & -1 & 0 \end{bmatrix}$$

$$\mathbf{N} = \begin{bmatrix} 1 & 0 & 0 & 0 \\ 0 & 1 & 0 & 0 \\ 0 & 0 & -1 & 0 \\ 0 & 0 & 0 & 1 \end{bmatrix} \begin{bmatrix} 2/(r-l) & 0 & 0 & 0 \\ 0 & 2/(t-b) & 0 & 0 \\ 0 & 0 & 2/(f-n) & 0 \\ 0 & 0 & 0 & 1 \end{bmatrix} \begin{bmatrix} 1 & 0 & 0 & -(r+l)/2 \\ 0 & 1 & 0 & -(t+b)/2 \\ 0 & 0 & 1 & +(f+n)/2 \\ 0 & 0 & 0 & 1 \end{bmatrix}$$

$$\mathbf{T} = \begin{bmatrix} 1 & 0 & 0 & -(r+l)/2 \\ 0 & 1 & 0 & -(t+b)/2 \\ 0 & 0 & 1 & +(f+n)/2 \\ 0 & 0 & 0 & 1 \end{bmatrix}$$

$$\mathbf{P} = \mathbf{NH} = \begin{bmatrix} \frac{2n}{r-l} & 0 & \frac{r+l}{r-l} & 0 \\ 0 & \frac{2n}{t-b} & \frac{t+b}{t-b} & 0 \\ 0 & 0 & \frac{-(f+n)}{f-n} & \frac{-2fn}{f-n} \\ 0 & 0 & -1 & 0 \end{bmatrix}$$

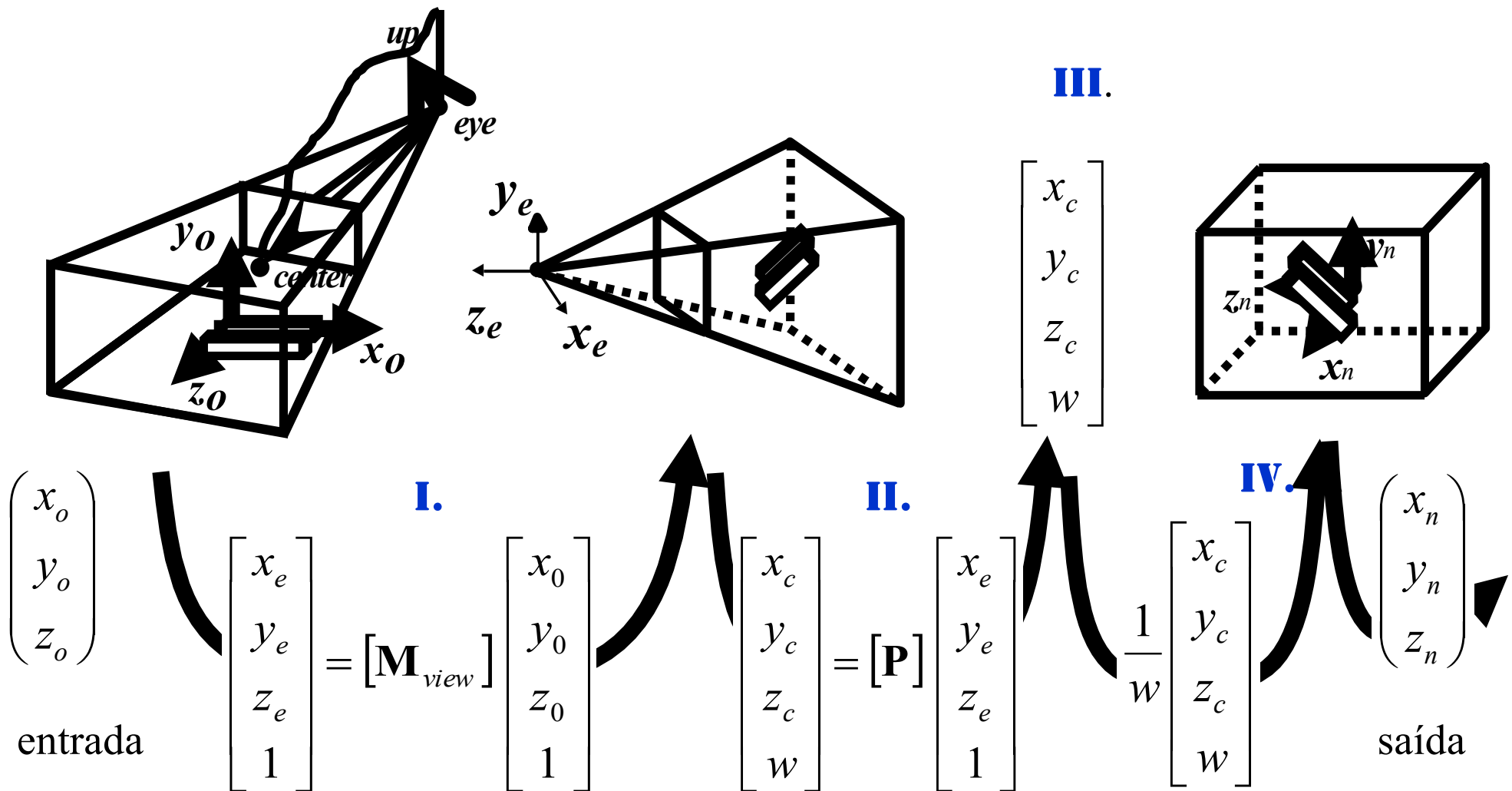
$$\mathbf{S} = \begin{bmatrix} 2/(r-l) & 0 & 0 & 0 \\ 0 & 2/(t-b) & 0 & 0 \\ 0 & 0 & 2/(f-n) & 0 \\ 0 & 0 & 0 & 1 \end{bmatrix}$$

OpenGL Spec

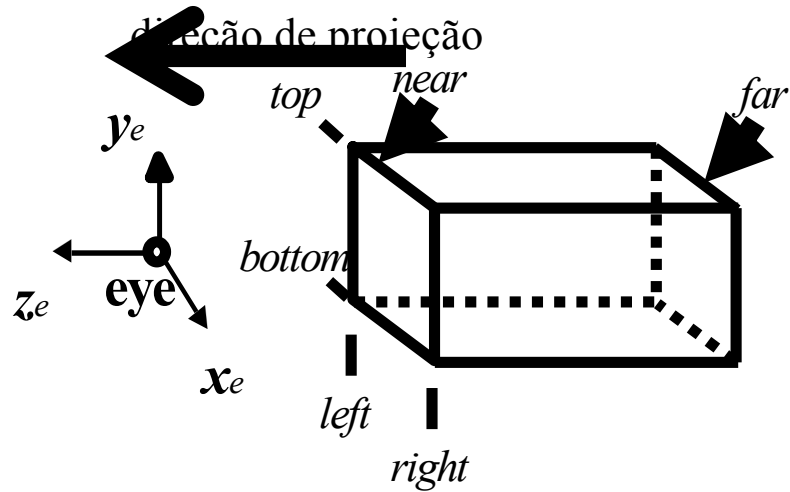
$$\mathbf{M} = \begin{bmatrix} 1 & 0 & 0 & 0 \\ 0 & 1 & 0 & 0 \\ 0 & 0 & -1 & 0 \\ 0 & 0 & 0 & 1 \end{bmatrix}$$

$$\begin{pmatrix} \frac{2n}{r-l} & 0 & \frac{r+l}{r-l} & 0 \\ 0 & \frac{2n}{t-b} & \frac{t+b}{t-b} & 0 \\ 0 & 0 & -\frac{f+n}{f-n} & -\frac{2fn}{f-n} \\ 0 & 0 & -1 & 0 \end{pmatrix}$$

Resumo das transformações (até o momento)



Projeção Paralela (Ortho)



```
void glOrtho( GLdouble left, GLdouble right,  
              GLdouble bottom, GLdouble top,  
              GLdouble near_, GLdouble far_ );
```

```
void gluOrtho2D( GLdouble left, GLdouble right,  
                 GLdouble bottom, GLdouble top );
```

Matriz Ortho do OpenGL

$$\mathbf{T} = \begin{bmatrix} 1 & 0 & 0 & -(r+l)/2 \\ 0 & 1 & 0 & -(t+b)/2 \\ 0 & 0 & 1 & +(f+n)/2 \\ 0 & 0 & 0 & 1 \end{bmatrix}$$

$$\mathbf{S} = \begin{bmatrix} 2/(r-l) & 0 & 0 & 0 \\ 0 & 2/(t-b) & 0 & 0 \\ 0 & 0 & 2/(f-n) & 0 \\ 0 & 0 & 0 & 1 \end{bmatrix}$$

$$\mathbf{M} = \begin{bmatrix} 1 & 0 & 0 & 0 \\ 0 & 1 & 0 & 0 \\ 0 & 0 & -1 & 0 \\ 0 & 0 & 0 & 1 \end{bmatrix}$$

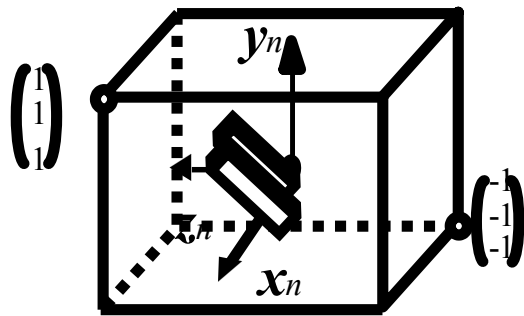
$$\mathbf{MST} = \begin{bmatrix} \frac{2}{r-l} & 0 & 0 & -\frac{r+l}{r-l} \\ 0 & \frac{2}{t-b} & 0 & -\frac{t+b}{t-b} \\ 0 & 0 & -\frac{2}{f-n} & -\frac{f+n}{f-n} \\ 0 & 0 & 0 & 1 \end{bmatrix}$$

OpenGL Spec

$$\begin{pmatrix} \frac{2}{r-l} & 0 & 0 & -\frac{r+l}{r-l} \\ 0 & \frac{2}{t-b} & 0 & -\frac{t+b}{t-b} \\ 0 & 0 & -\frac{2}{f-n} & -\frac{f+n}{f-n} \\ 0 & 0 & 0 & 1 \end{pmatrix}$$

Transformação para o viewport

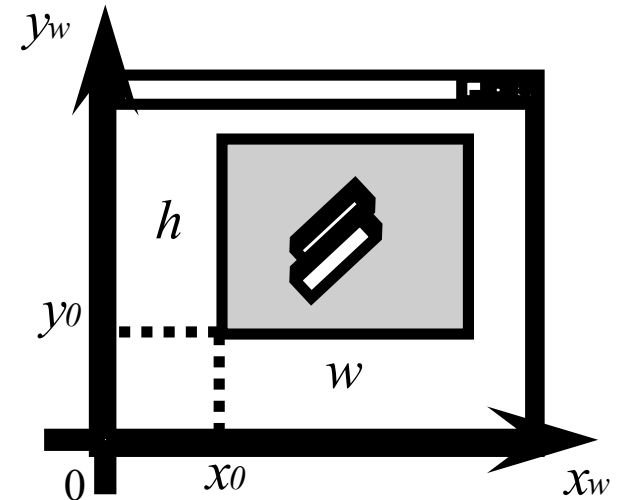
```
void glViewport(int x0, int y0, int w, int h );
```



$$x_w = x_0 + w \left(\frac{x_n + 1}{2} \right)$$

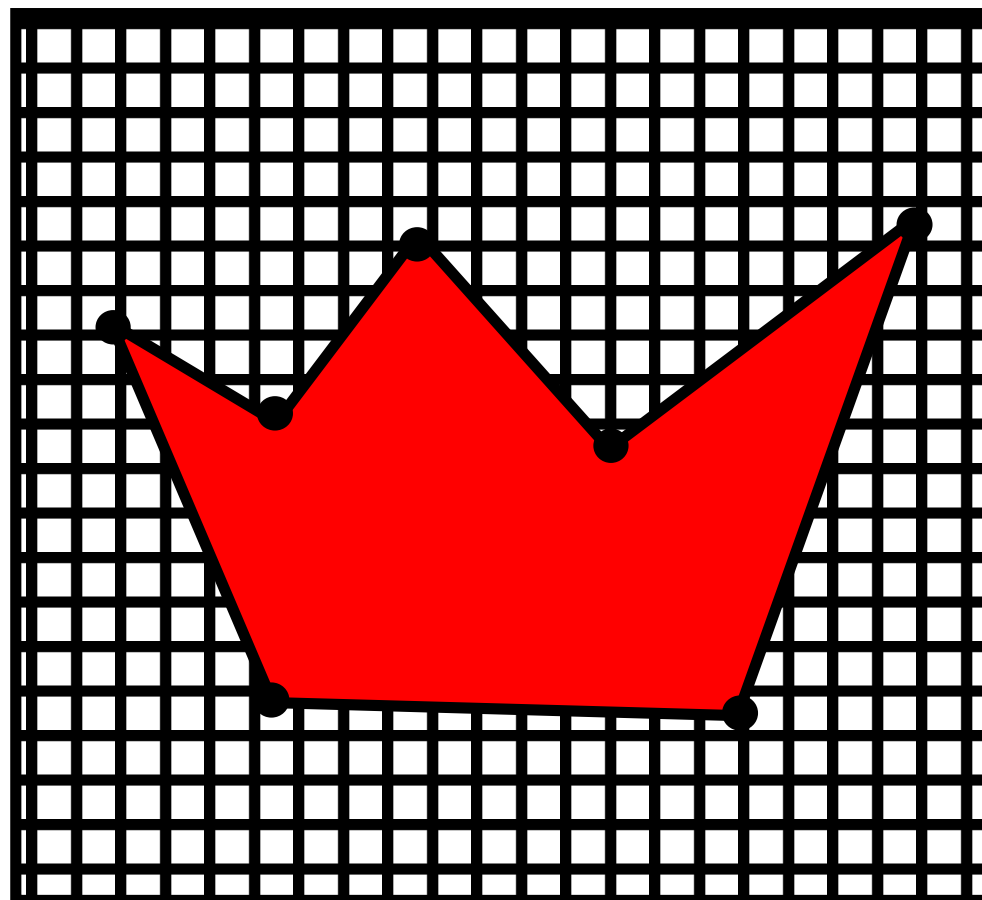
$$y_w = y_0 + h \left(\frac{y_n + 1}{2} \right)$$

$$z_w = z_{\max} \left(\frac{z_n + 1}{2} \right)$$

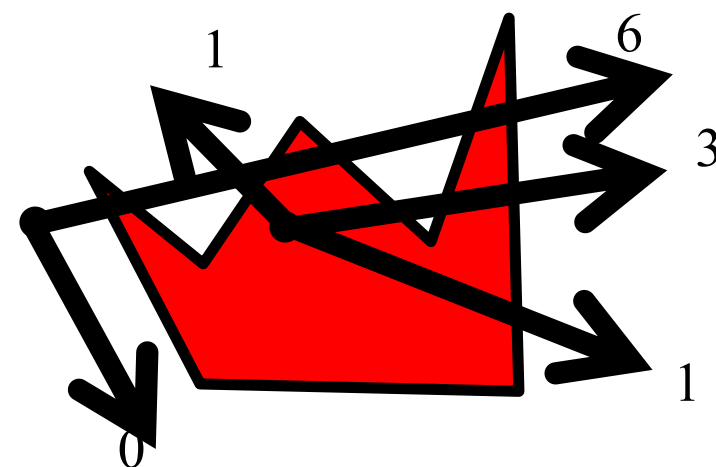
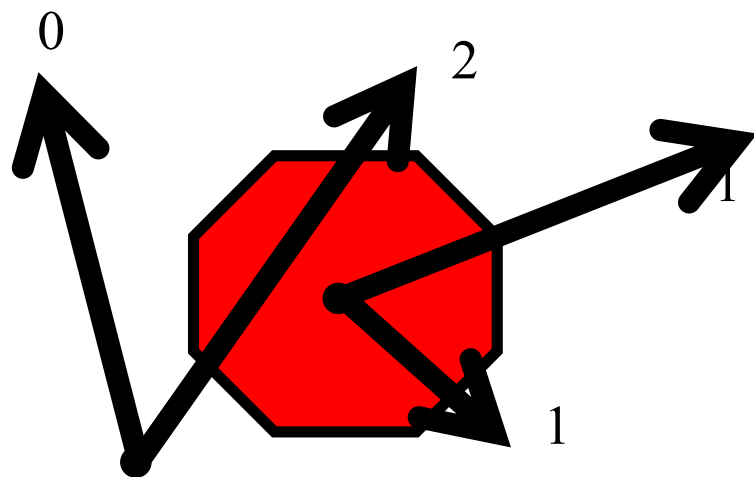
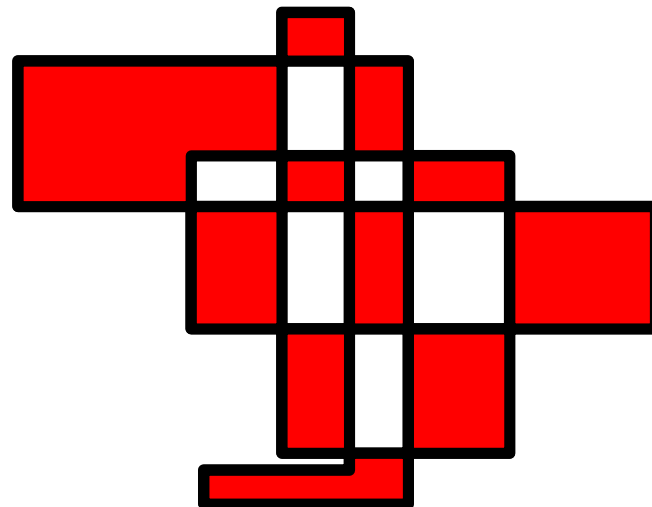


$z_w \in [0.. z_{\max}]$, $z_{\max} = 2^n - 1$ geralmente 65535

Rastreo de polígonos

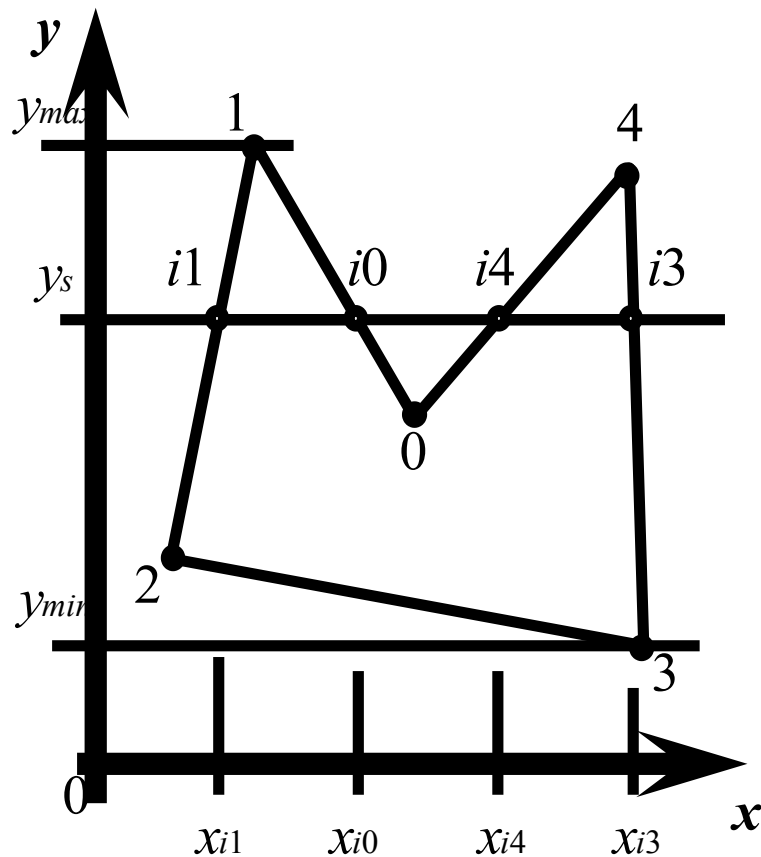


Conceito de interior num polígono qualquer (regra par-ímpar)



Preenchimento de polígonos

dados: $\{(x_0, y_0), (x_1, y_1), (x_2, y_2), (x_3, y_3), (x_4, y_4)\}$



$VX = \{x_{i1}, x_{i0}, x_{i4}, x_{i3}\}$

acha y_{max} e y_{min}

Para cada $y \in [y_{max}, y_{min}]$

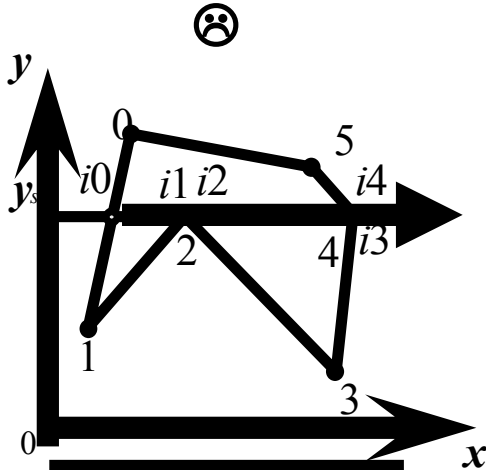
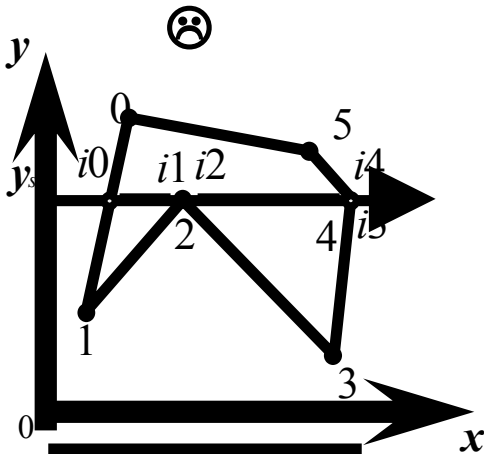
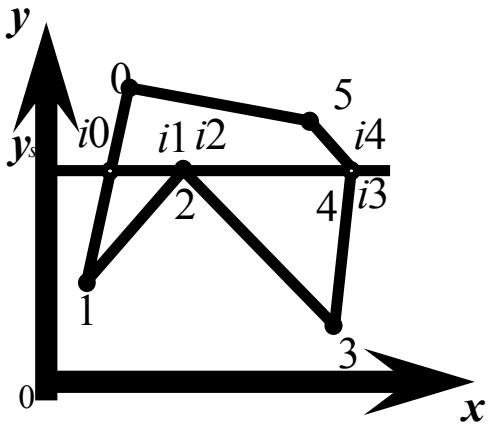
Para cada aresta

calcula as interseções

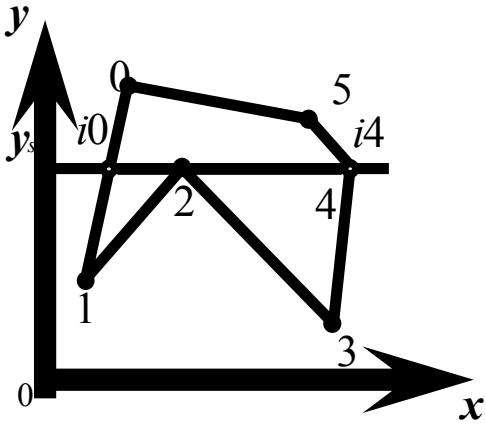
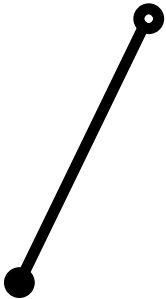
ordena interseções

desenha linhas horizontais

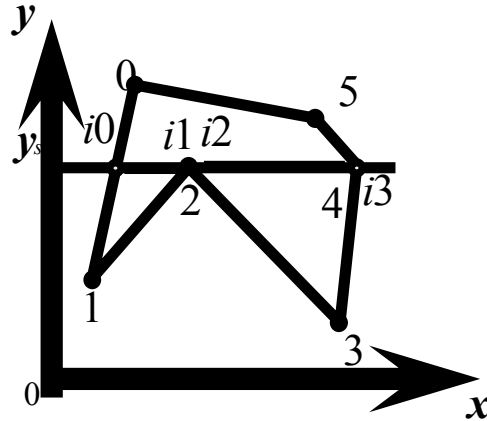
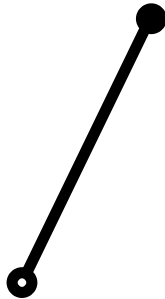
Interseção nos vértices



Solução:

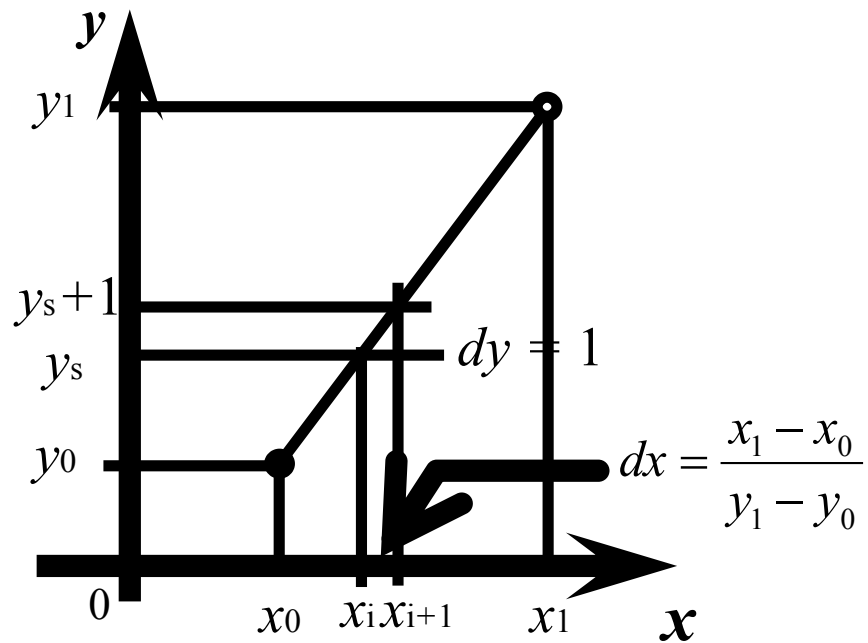


ou



Otimização do algoritmo de preenchimento: interpolação linear

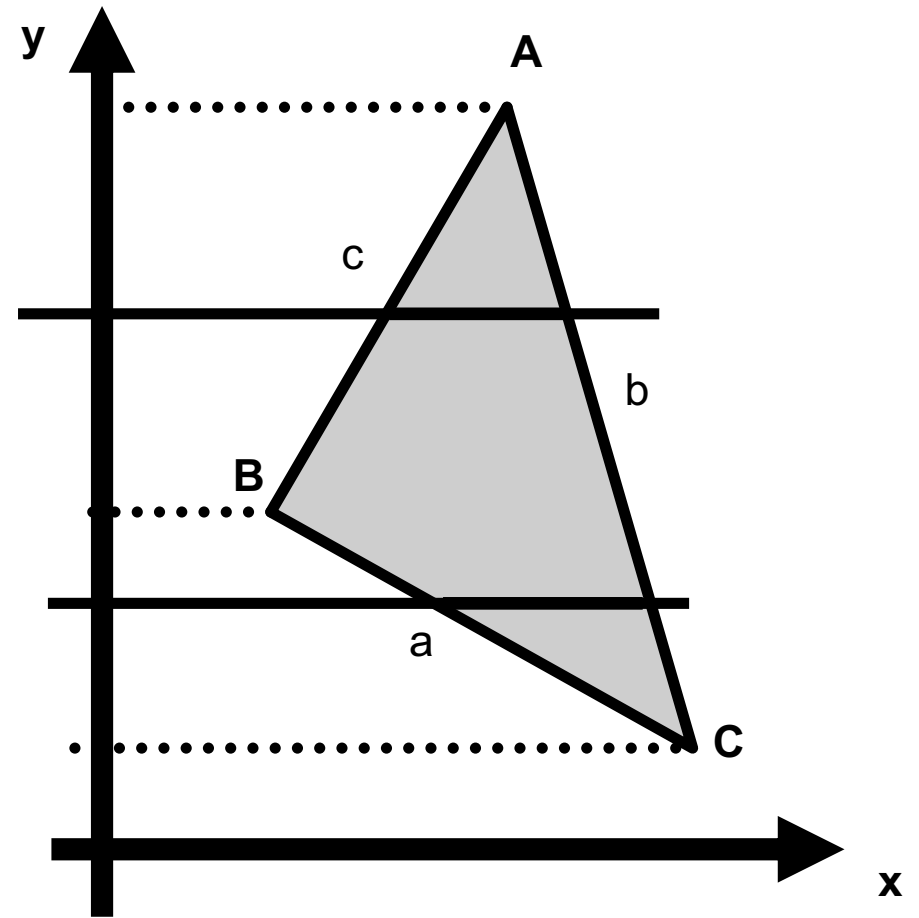
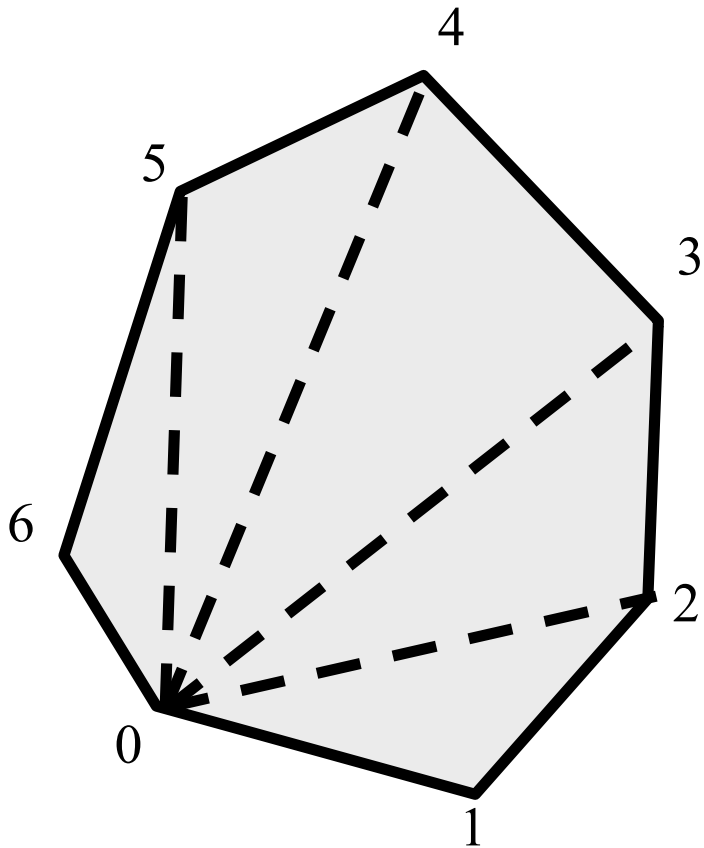
Interpolação linear na aresta



$$x_0, x_0 + dx, x_0 + 2dx, \dots$$

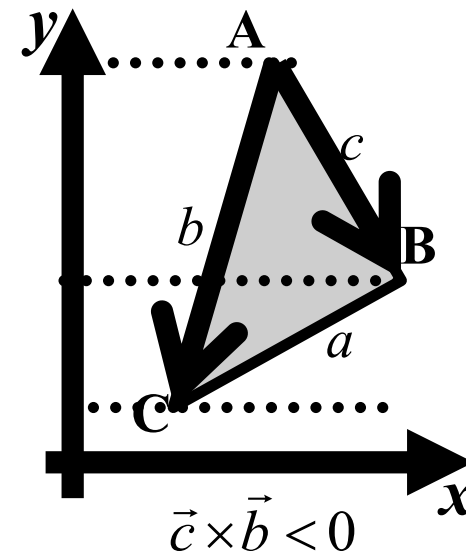
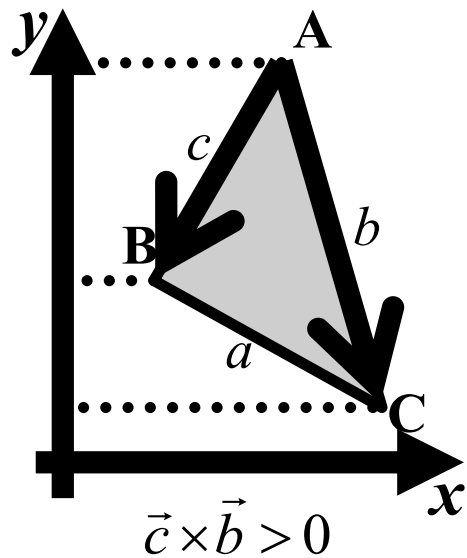
$$c_0, c_0 + dc, c_0 + 2dc, \dots$$

Otimizações do algoritmo de preenchimento: triângulos



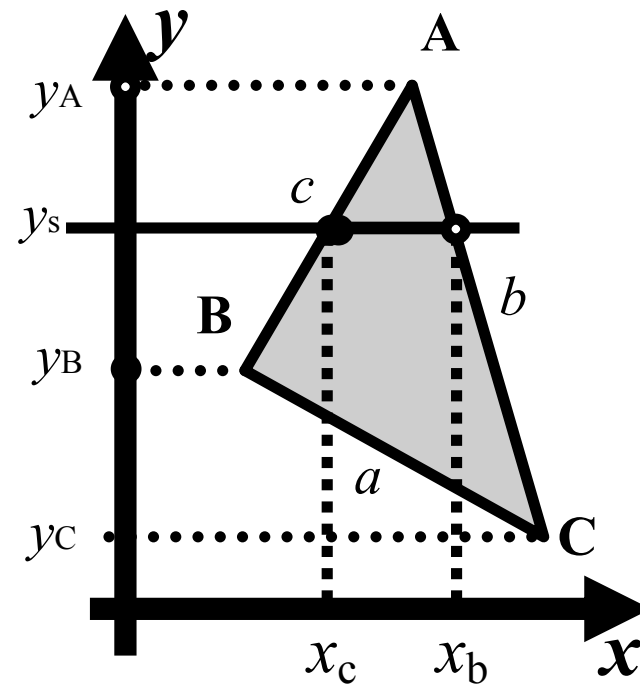
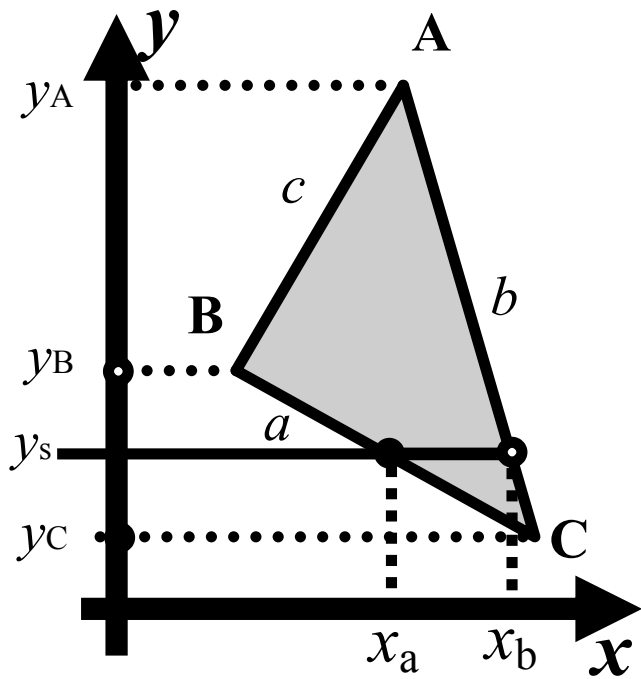
Posições possíveis de um triângulo dado

$y_A \geq y_B \geq y_C$

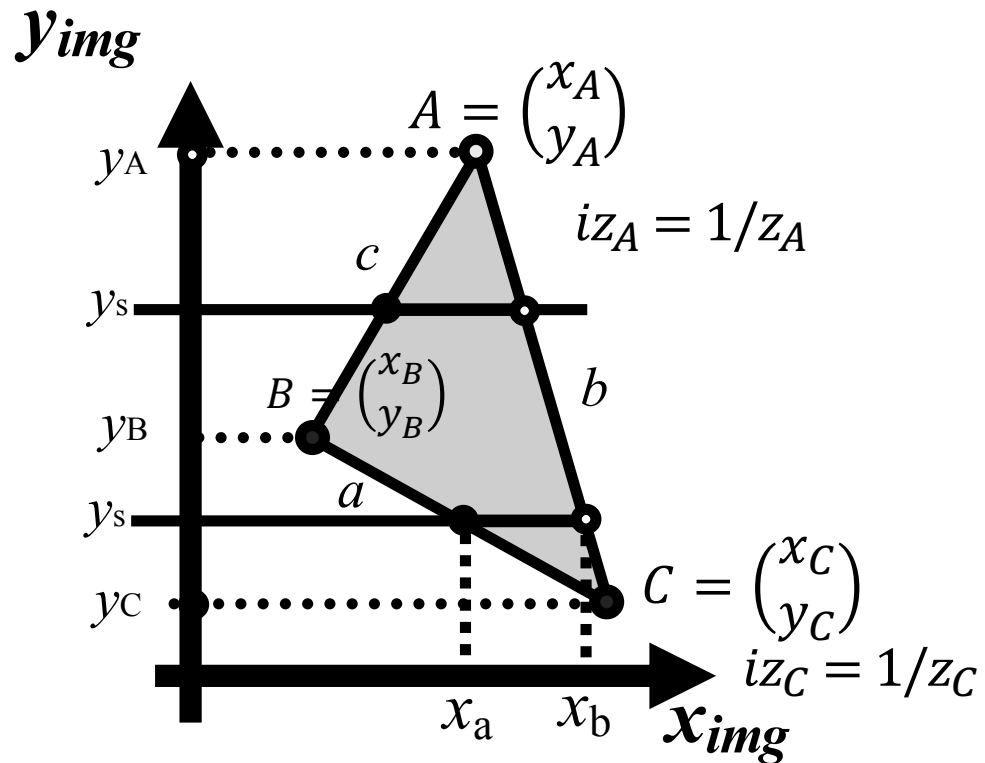


$$\vec{c} \times \vec{b} = (x_B - x_A)(y_C - y_A) - (x_C - x_A)(y_B - y_A)$$

Rastreio de triângulo



Rasterização de triângulo (flat)



```

drawTriangle(T)
  xa=xb=xC,
  Pixel(xC, yC)
  for each y ∈ [yC, yB) do
    xa += dx_a
    xb += dx_b
    hLine(y, xa, xb)

  xc=xB
  for each y ∈ [yB, yA) do
    xc += dx_c
    xb += dx_b
    hLine(y, xc, xb)
  
```

```

hLine(y, xe, xd)
  for each x ∈ [xe, xd) do
    Pixel(x, y)
  
```

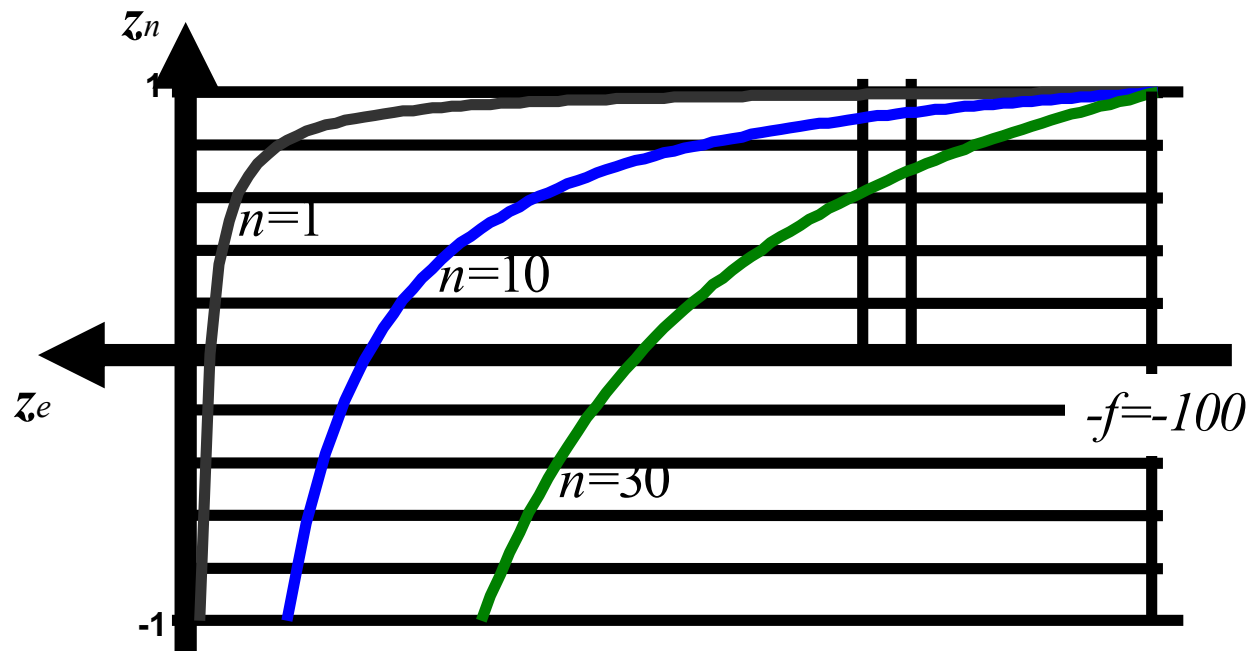
Profundidade

Mapa de profundidade

$$\begin{bmatrix} x_c \\ y_c \\ z_c \\ w \end{bmatrix} = \begin{bmatrix} \frac{2n}{r-l} & 0 & \frac{r+l}{r-l} & 0 \\ 0 & \frac{2n}{t-b} & \frac{t+b}{t-b} & 0 \\ 0 & 0 & \frac{-(f+n)}{f-n} & \frac{-2fn}{f-n} \\ 0 & 0 & -1 & 0 \end{bmatrix} \begin{bmatrix} x_e \\ y_e \\ z_e \\ 1 \end{bmatrix}$$

$$\begin{cases} z_c = -\frac{f+n}{f-n} z_e - \frac{2fn}{f-n} \\ w = -z_e \end{cases}$$

$$z_n = \frac{z_c}{w} = \frac{f+n}{(f-n)} + \frac{2fn}{(f-n)} \frac{1}{z_e}$$



Mapa de profundidade

$$z_n = \frac{z_e}{w} = \frac{f+n}{(f-n)} + \frac{2fn}{(f-n)} \frac{1}{z_e}$$

$$z_w = \frac{z_{\max}}{2} (z_n + 1), \quad z_{\max} = 2^n - 1$$

$$z_w = \frac{z_{\max}}{2} \left(\left(\frac{f+n}{(f-n)} + \frac{2fn}{(f-n)} \frac{1}{z_e} \right) + 1 \right)$$

$$\frac{z_w}{z_{\max}} = 0.5 \frac{f+n}{f-n} + \frac{fn}{(f-n)} \frac{1}{z_e} + 0.5$$

$$\frac{z_w}{z_{\max}} - 0.5 \frac{f+n}{f-n} - 0.5 = \frac{fn}{(f-n)} \frac{1}{z_e}$$

$$\frac{(f-n)}{fn} \left(\frac{z_w}{z_{\max}} - 0.5 \frac{f+n}{f-n} - 0.5 \right) = \frac{1}{z_e}$$

$$z_e = \frac{fn}{(f-n) \left(\frac{z_w}{z_{\max}} - 0.5 \frac{f+n}{f-n} - 0.5 \right)}$$

$$z_e = \frac{fn}{\left(\frac{z_w}{z_{\max}} (f-n) - 0.5(f+n) - 0.5(f-n) \right)}$$

$$z_e = \frac{fn}{\frac{z_w}{z_{\max}} (f-n) - f}$$

$$f = 1000, \quad n = 0.01, \quad z_{\max} = 65535$$

$$z_w = 65534 \Rightarrow z_e = -396 !!!$$

Transformações de um vértice

OpenGL Spec

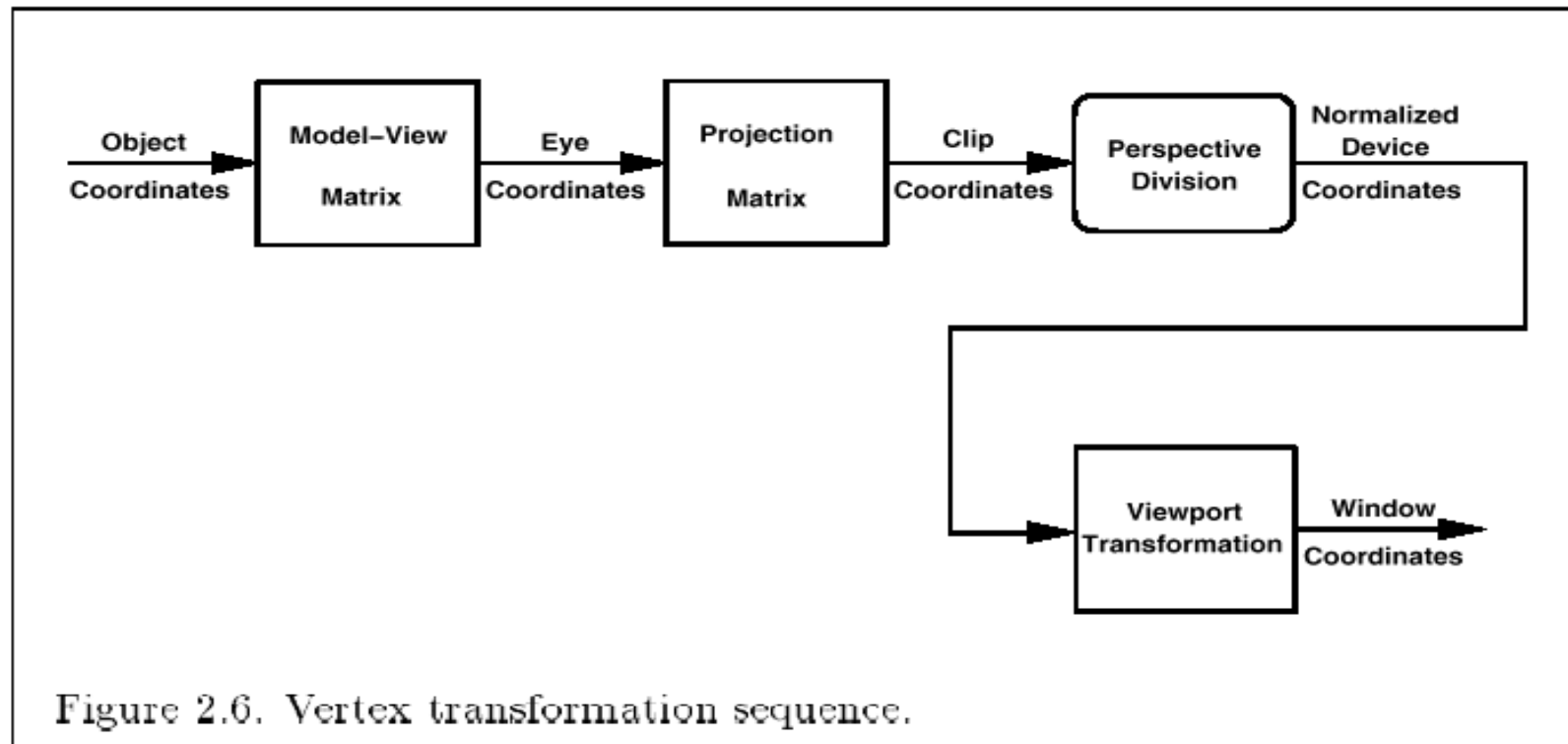
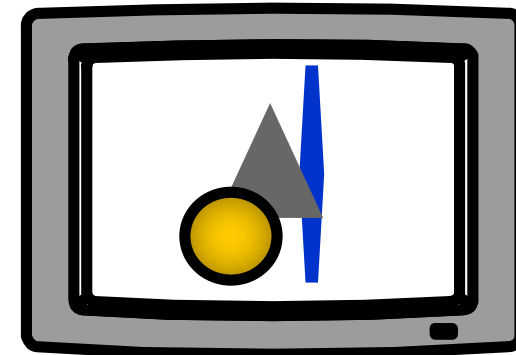
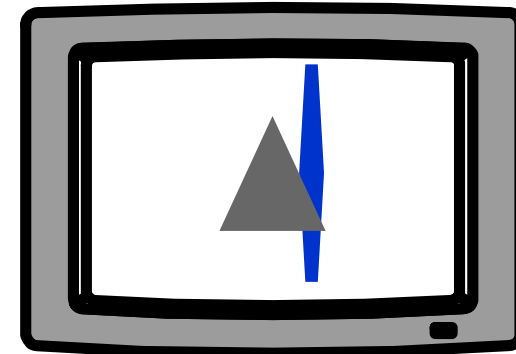
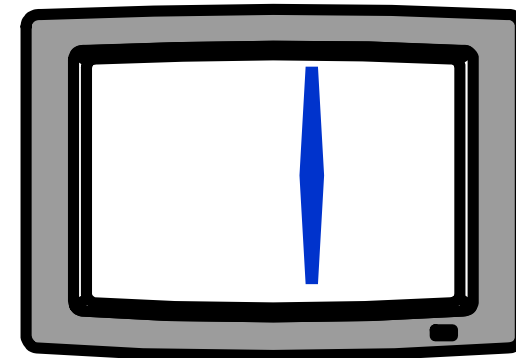
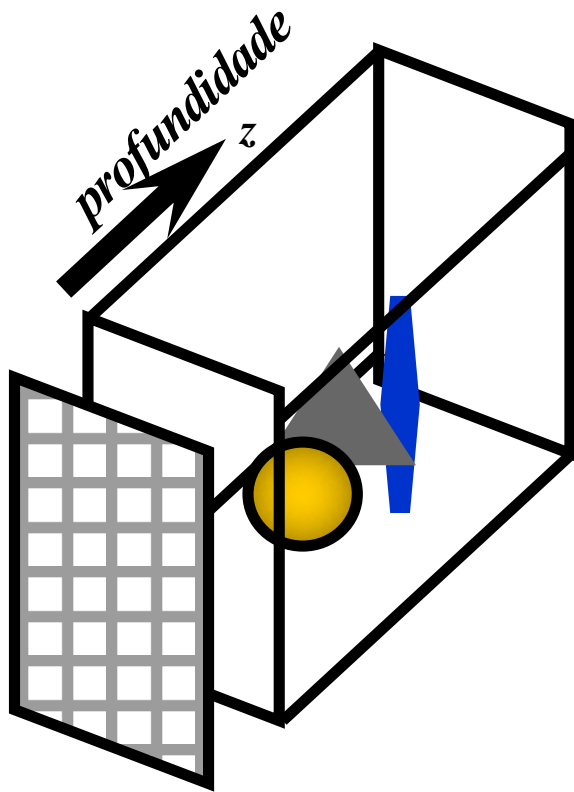
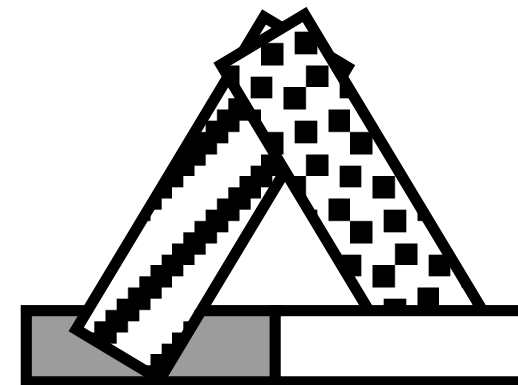
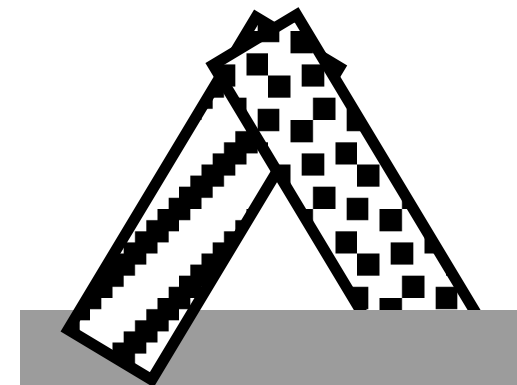
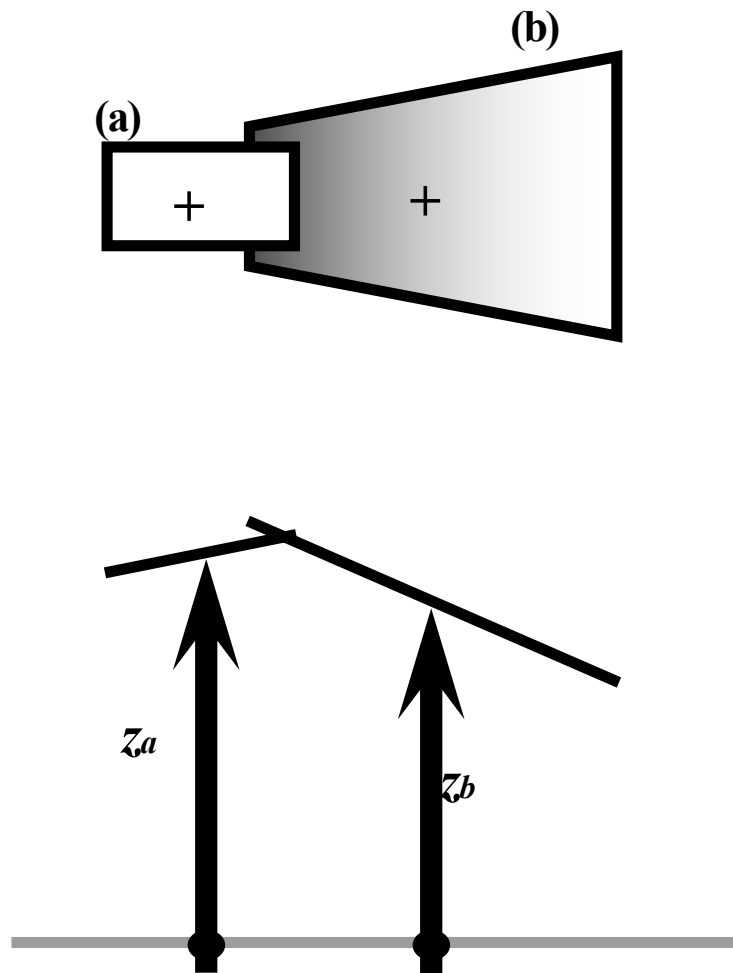


Figure 2.6. Vertex transformation sequence.

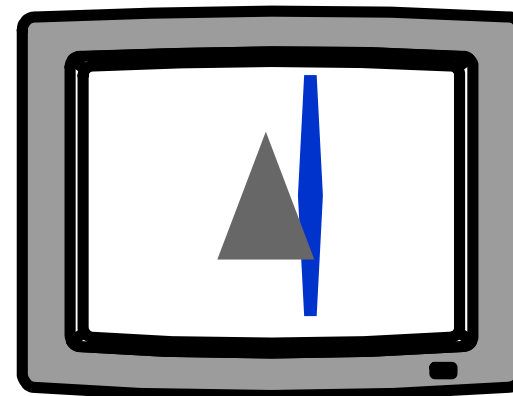
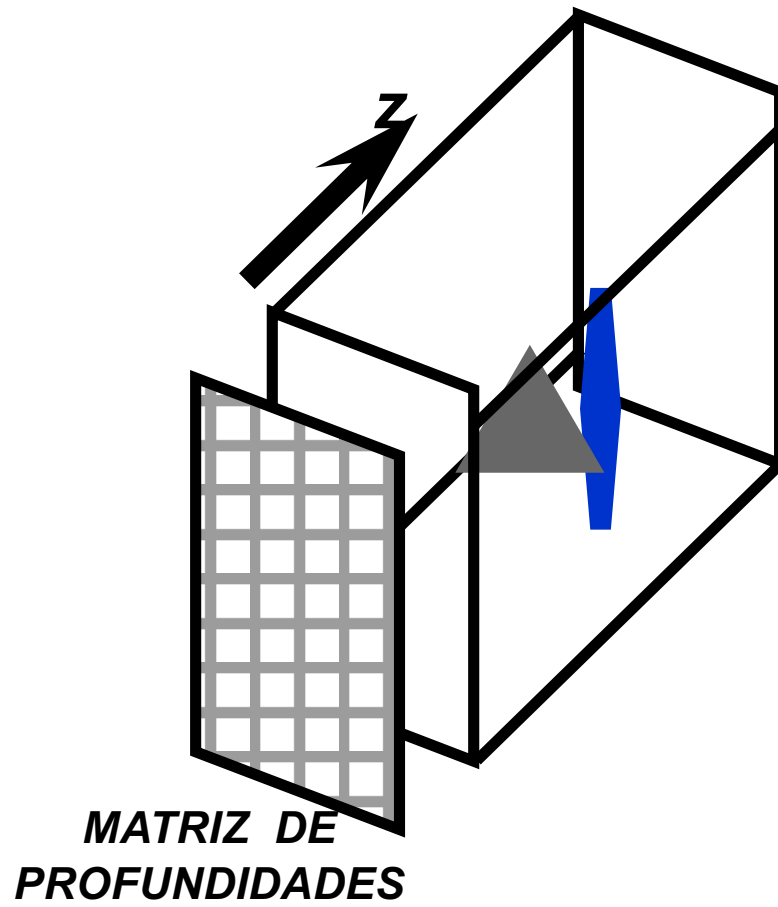
Modelo do Pintor



Problemas na ordenação de faces



ZBuffer: idea básica



ZBuffer - pseudo-código

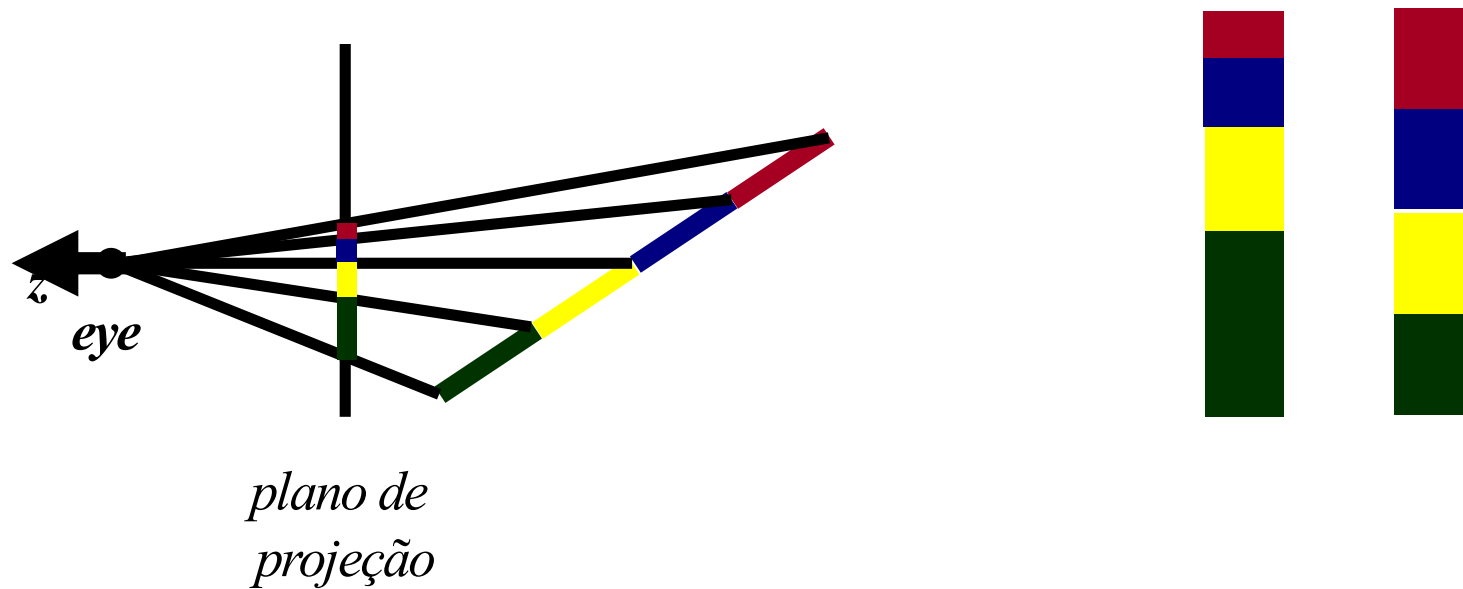
```
void ZBuffer( void)
{
  int x,y;

  for (x=0; x<w; x++) {
    for (y=0;y<h; y++) {
      WritePixel(x,y, bck_color);
      WriteZ(x,y, far+1);
    }
  }

  for (each primitive) {
    for (each pixel in the projected primitive) {
      double pz = z coordinate of the (x,y) pixel;
      if (pz <= ReadZ(x,y)) {
        WritePixel(x,y, color);
        WriteZ(x,y,pz);
      }
    }
  }
} /* Zbuffer */
```

```
void glEnable( GL_DEPTH_TEST );
```

Interpolação perspectiva



$$z = z_0 + t \Delta z = z_0 + \frac{t z_0}{z_1 - t \Delta z} \Delta z$$

$$= \frac{z_0 (z_1 - t \Delta z) + t z_0 \Delta z}{z_1 - t \Delta z} = \frac{z_0 z_1}{z_1 - t (z_1 - z_0)}$$

$$= \frac{1}{\frac{z_1}{z_0 z_1} - t \left(\frac{z_1}{z_0 z_1} - \frac{z_0}{z_0 z_1} \right)} = \frac{1}{\frac{1}{z_0} - t \left(\frac{1}{z_0} - \frac{1}{z_1} \right)} = \frac{1}{\frac{1}{z_0} + t \left(\frac{1}{z_1} - \frac{1}{z_0} \right)}$$

$$\boxed{\frac{1}{z} = \frac{1}{z_0} + t \left(\frac{1}{z_1} - \frac{1}{z_0} \right)}$$

$$u = u_0 + \beta \Delta u = u_0 + \frac{t z_0}{z_1 - t \Delta z} \Delta u$$

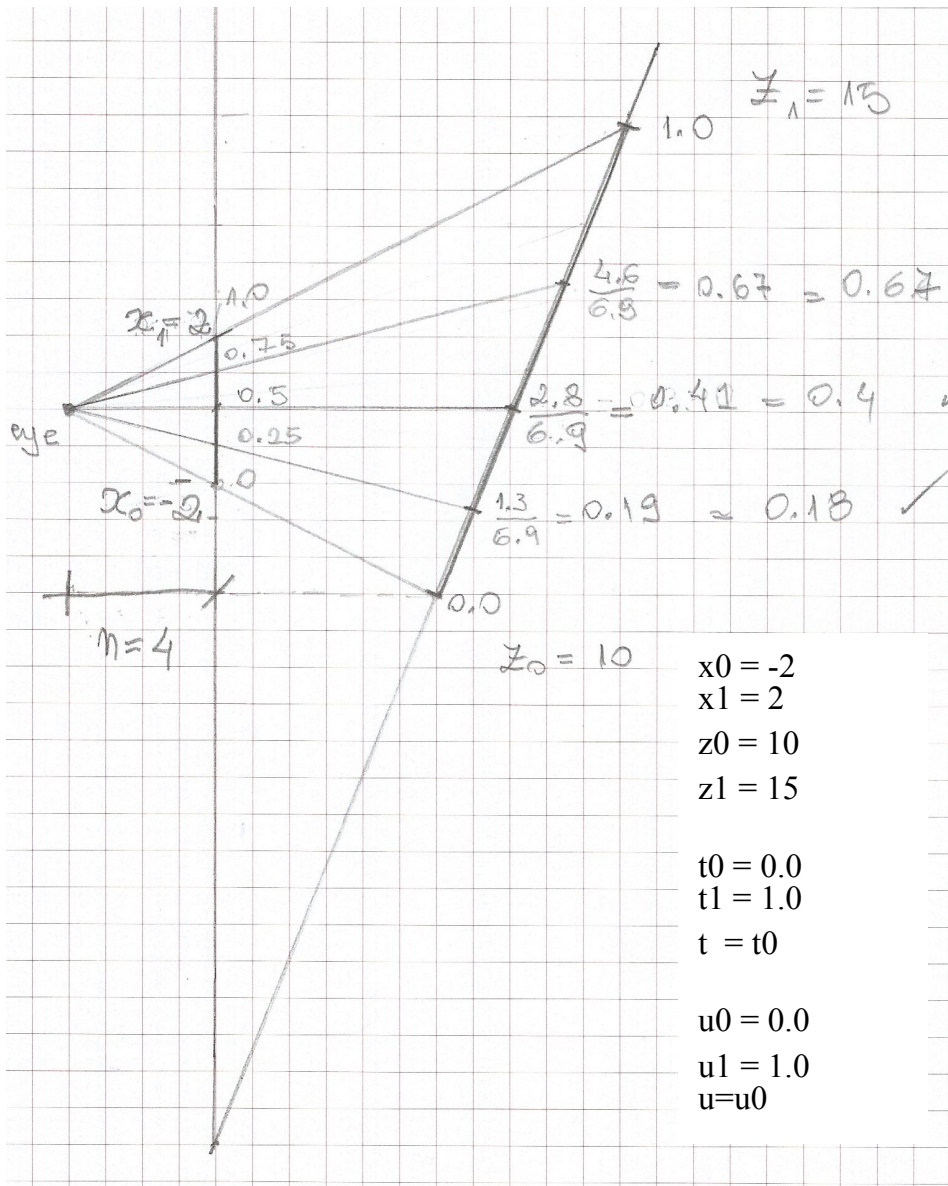
$$= \frac{u_0 (z_1 - t \Delta z) + t z_0 \Delta u}{z_1 - t \Delta z} \times \frac{\frac{1}{z_0 z_1}}{\frac{1}{z_0 z_1}}$$

$$= \frac{\frac{u_0}{z_0} - t \frac{u_0 \Delta z}{z_0 z_1} + \frac{t z_0 \Delta u}{z_0 z_1}}{\frac{1}{z_0} + t \left(\frac{1}{z_1} - \frac{1}{z_0} \right)} \leftarrow (A)$$

$$A = \frac{1}{z_0} + t \left(\frac{1}{z_1} - \frac{1}{z_0} \right) = \frac{1}{z_0} + t \frac{z_0 - z_1}{z_0 z_1} = \frac{z_0 + t(z_0 - z_1)}{z_0 z_1} = \frac{z_0(1+t) - t z_1}{z_0 z_1}$$

$$u = \frac{\frac{u_0}{z_0} + t \left(\frac{u_1}{z_1} - \frac{u_0}{z_0} \right)}{\frac{1}{z_0} + t \left(\frac{1}{z_1} - \frac{1}{z_0} \right)}$$

Interpolação perspectiva



$$uz_0 = u_0/z_0$$

$$uz_1 = u_1/z_1$$

$$uz = uz_0$$

$$z_{i0} = 1./z_0$$

$$z_{i1} = 1./z_1$$

$$z_i = z_{i0}$$

$$duz = (uz_1 - uz_0)/(x_1 - x_0)$$

$$dzi = (z_{i1} - z_{i0})/(x_1 - x_0)$$

$$dt = (t_1 - t_0)/(x_1 - x_0)$$

$$z = z_0$$

for x in xrange(x0, x1+1):

print t, z, u

uz += duz

z_i += dzi

z = 1./z_i

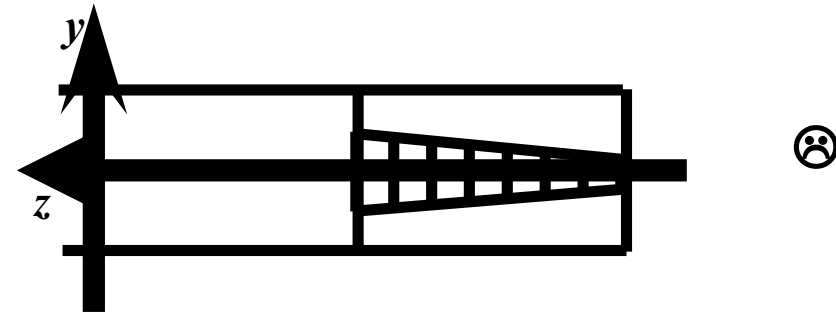
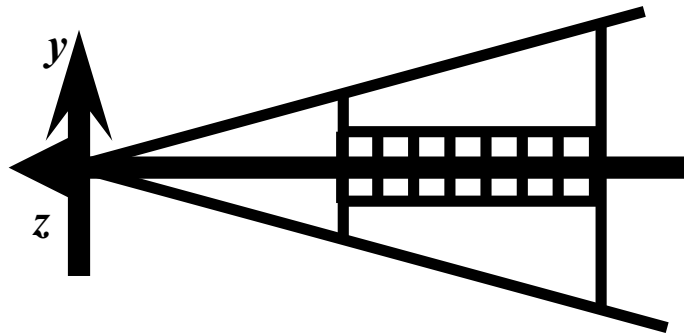
u = uz * z

t += dt

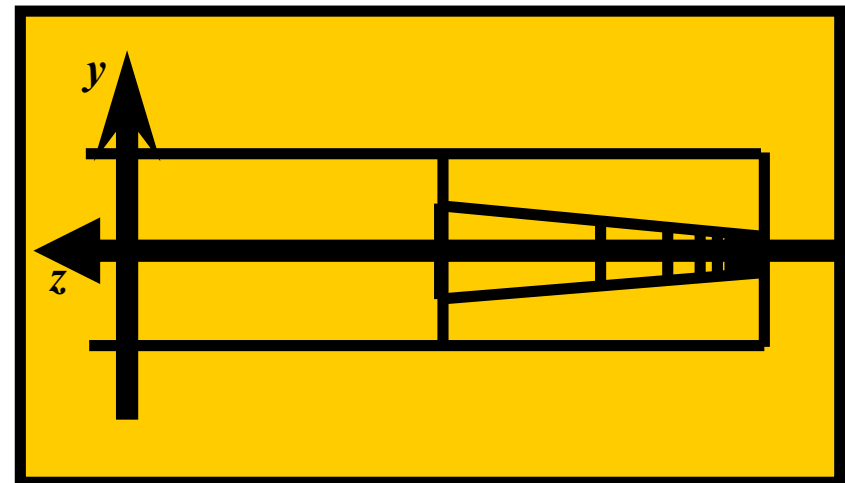
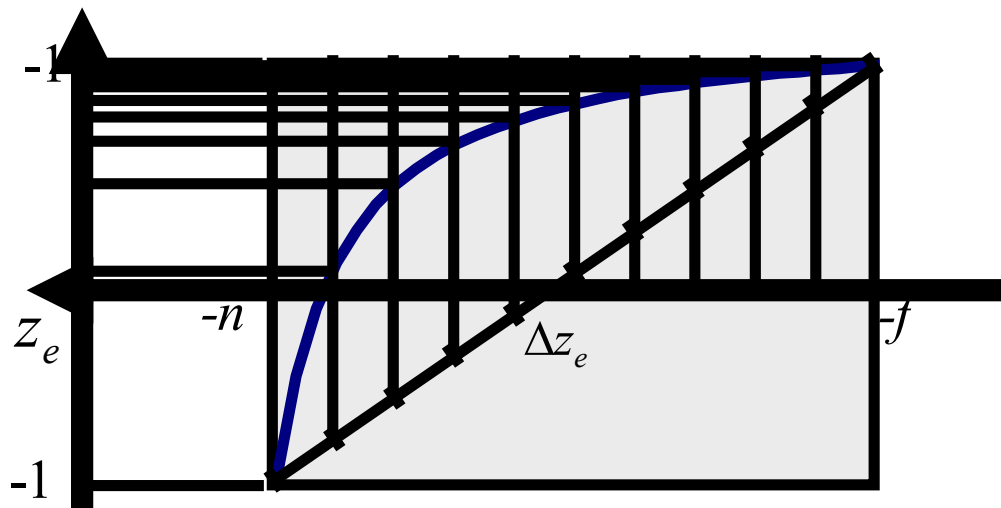
$$u_\alpha = \frac{(1 - \alpha) \frac{u_0}{z_0} + \alpha \frac{u_1}{z_1}}{(1 - \alpha) \frac{1}{z_0} + \alpha \frac{1}{z_1}}$$

t	z	u
0.00	10	0.00
0.25	10.9	0.18
0.50	12.0	0.40
0.75	13.3	0.67
1.0	15.0	1.0

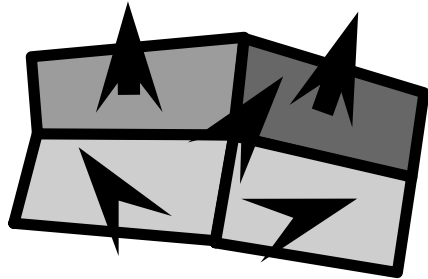
Uma outra forma de ver a interpolação da profundidade



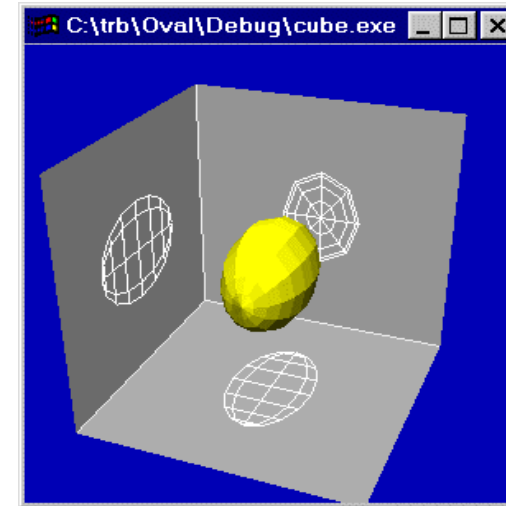
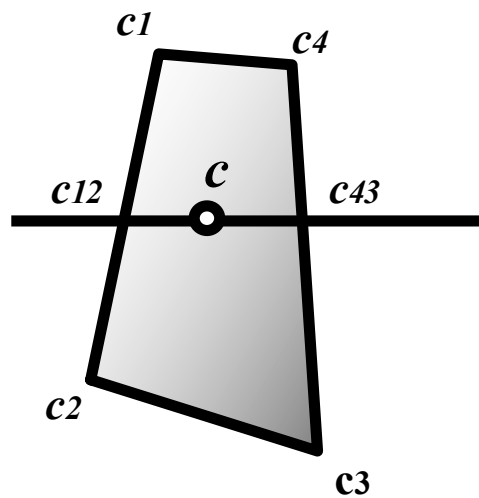
$$z_n = \frac{z_e}{w} = \frac{f+n}{(f-n)} - \frac{2fn}{(f-n)} \frac{1}{z_e}$$



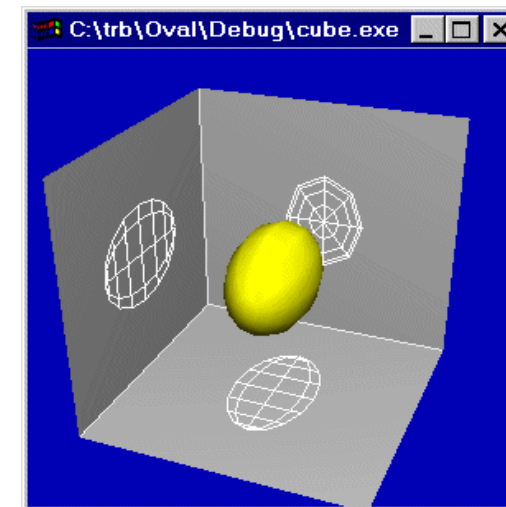
Suavização da tonalização



Gouraud



```
void glShadeModel (GL_FLAT);
```



```
void glShadeModel (GL_SMOOTH);
```

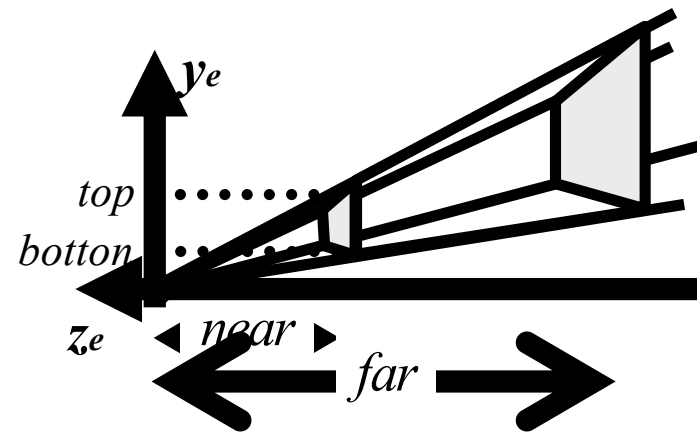
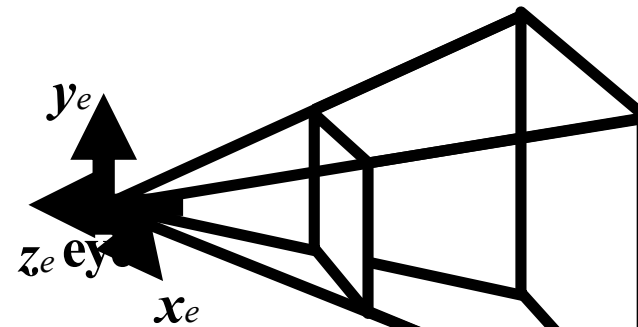
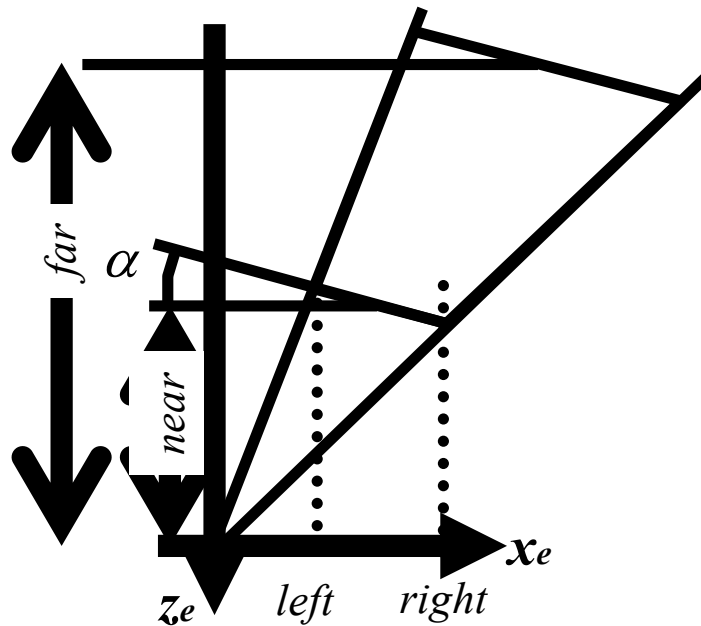
Algoritmo de ZBuffer

```
void ZBuffer( void)
{
  for (cada primitva gráfica dos objetos da cena) {
    for (cada fragmento gerado pelo rastreo da primitiva) {
      if (o fragmento não pertencer a janela) break; /* pertinencia */
      if (o fragmento não pertencer ao retangulo de janela de recorte) break; /* scissor test */
      if (a profundidade do fragmento for maior que a corrente) break; /* profundidade */

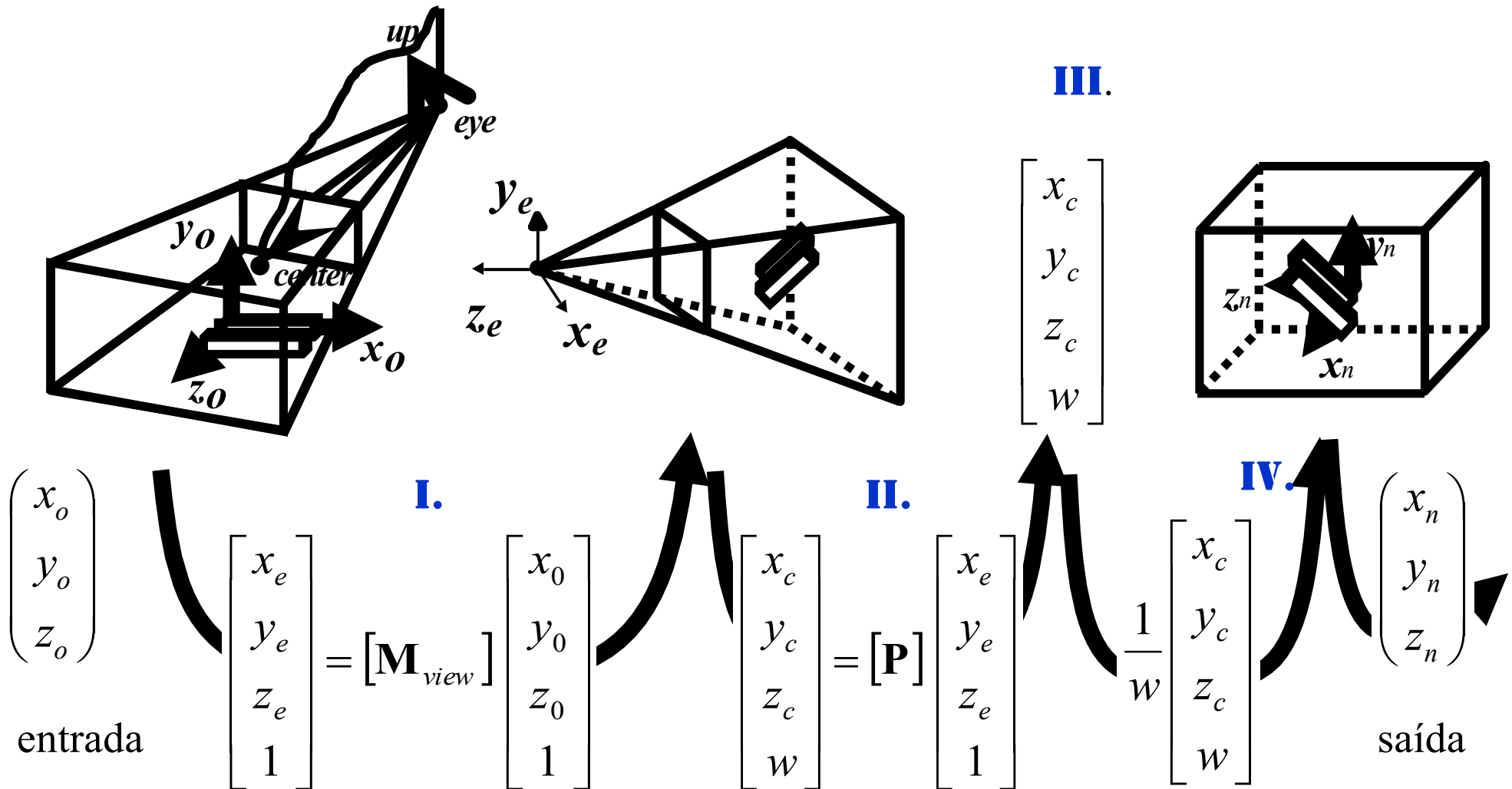
      WritePixel(x,y, color);
      WriteZ(x,y,pz);
    }
  }
}
```

Exercício 1

Derive a matriz de projeção da seguinte câmera



Resumo das transformações (até o momento)

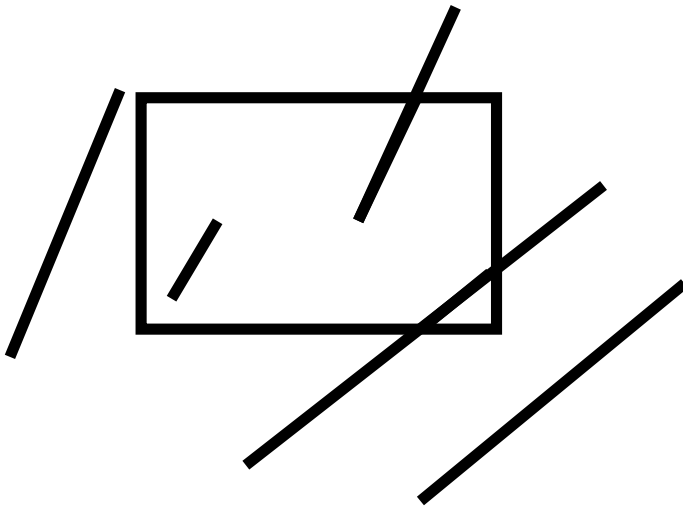




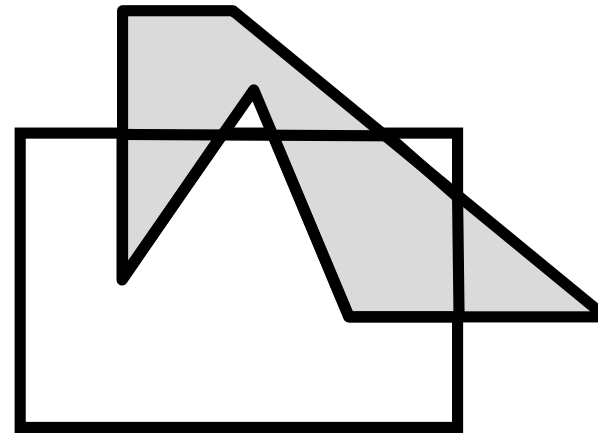
Recorte

Diferentes problemas de recorte

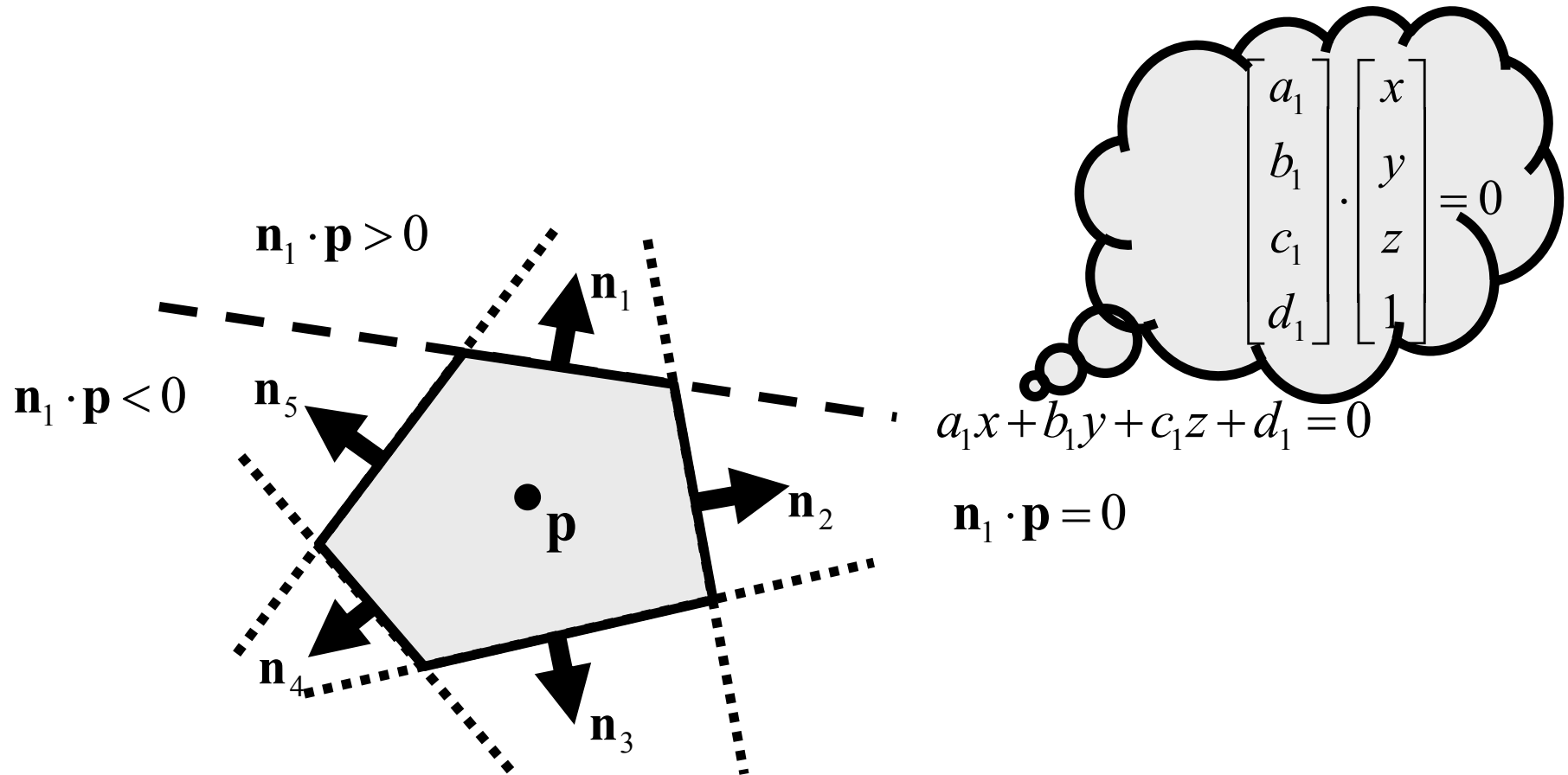
linhas



polígonos

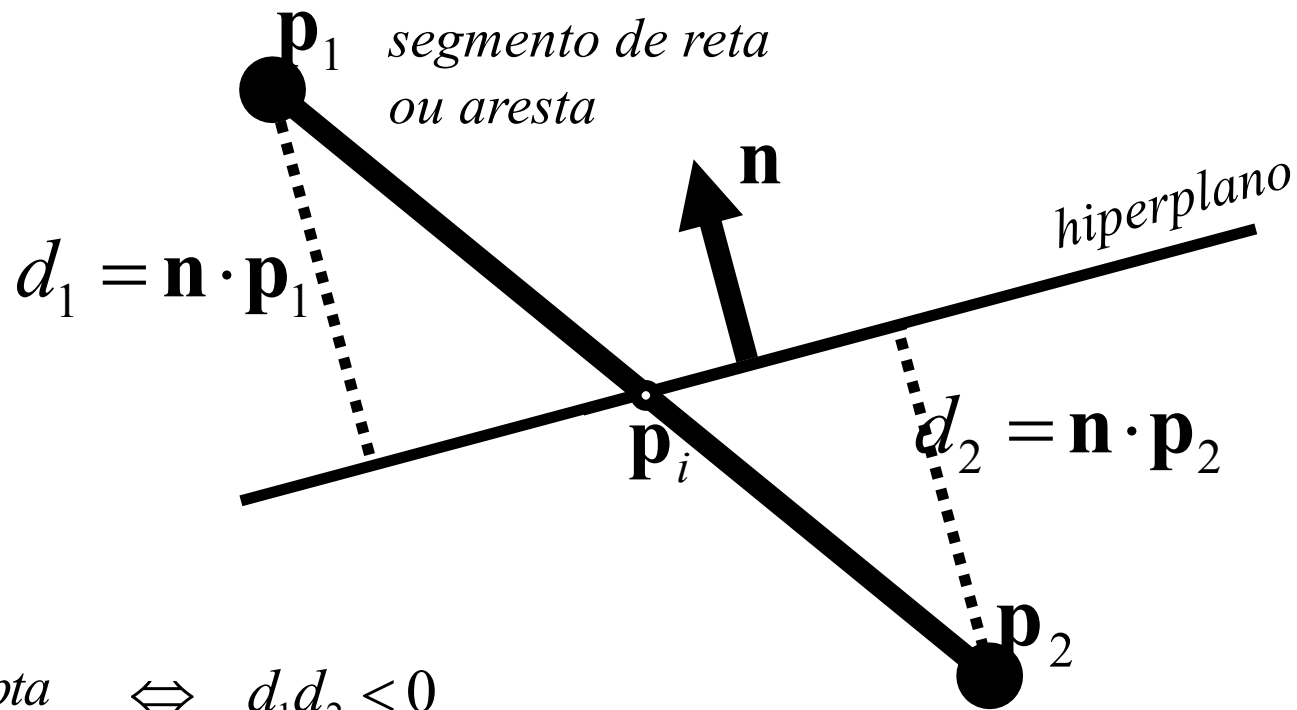


Condição de pertinência



\mathbf{p} é interior $\Leftrightarrow \mathbf{n}_i \cdot \mathbf{p} < 0 \quad \forall i$

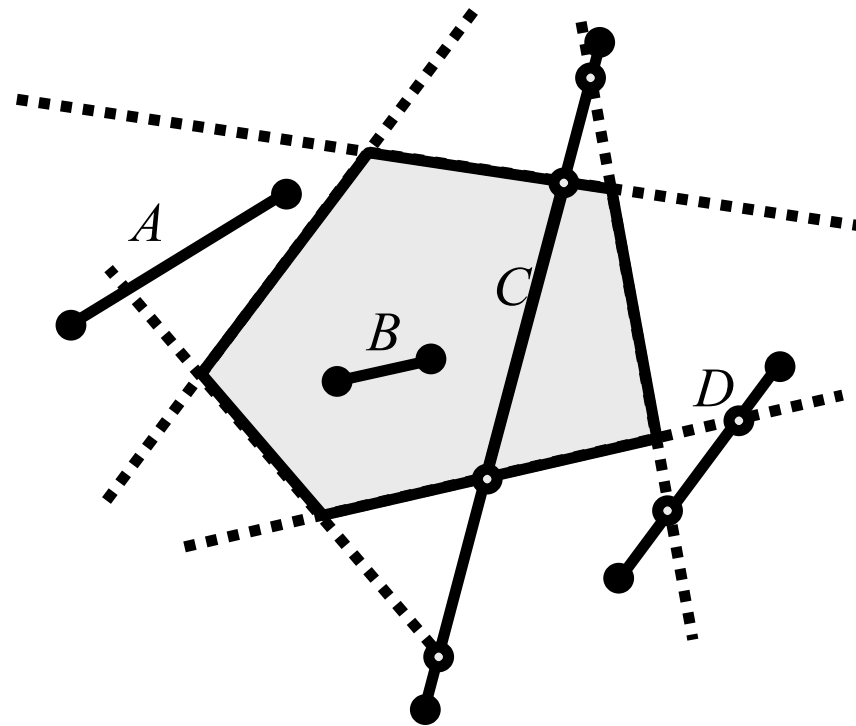
Interseção de aresta × hiperplano



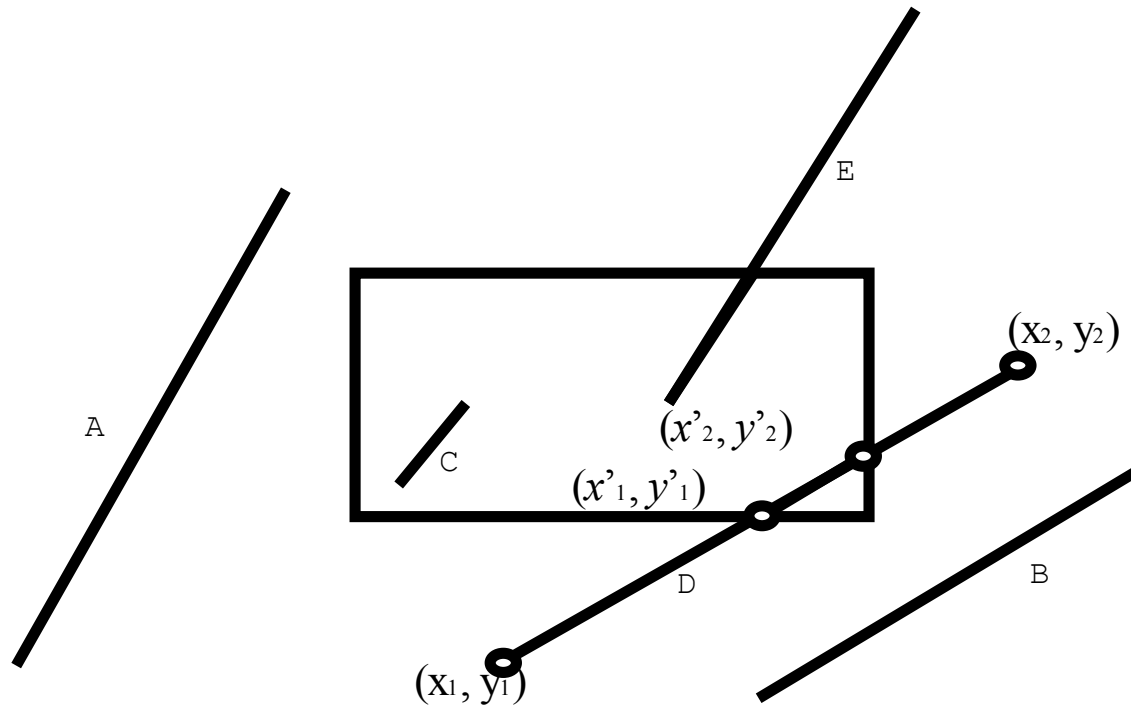
$$\mathbf{p}_i = \frac{|d_1|}{|d_1| + |d_2|} \mathbf{p}_2 + \frac{|d_2|}{|d_1| + |d_2|} \mathbf{p}_1$$

$$\mathbf{p}_i = \frac{d_1}{d_1 - d_2} \mathbf{p}_2 - \frac{d_2}{d_1 - d_2} \mathbf{p}_1$$

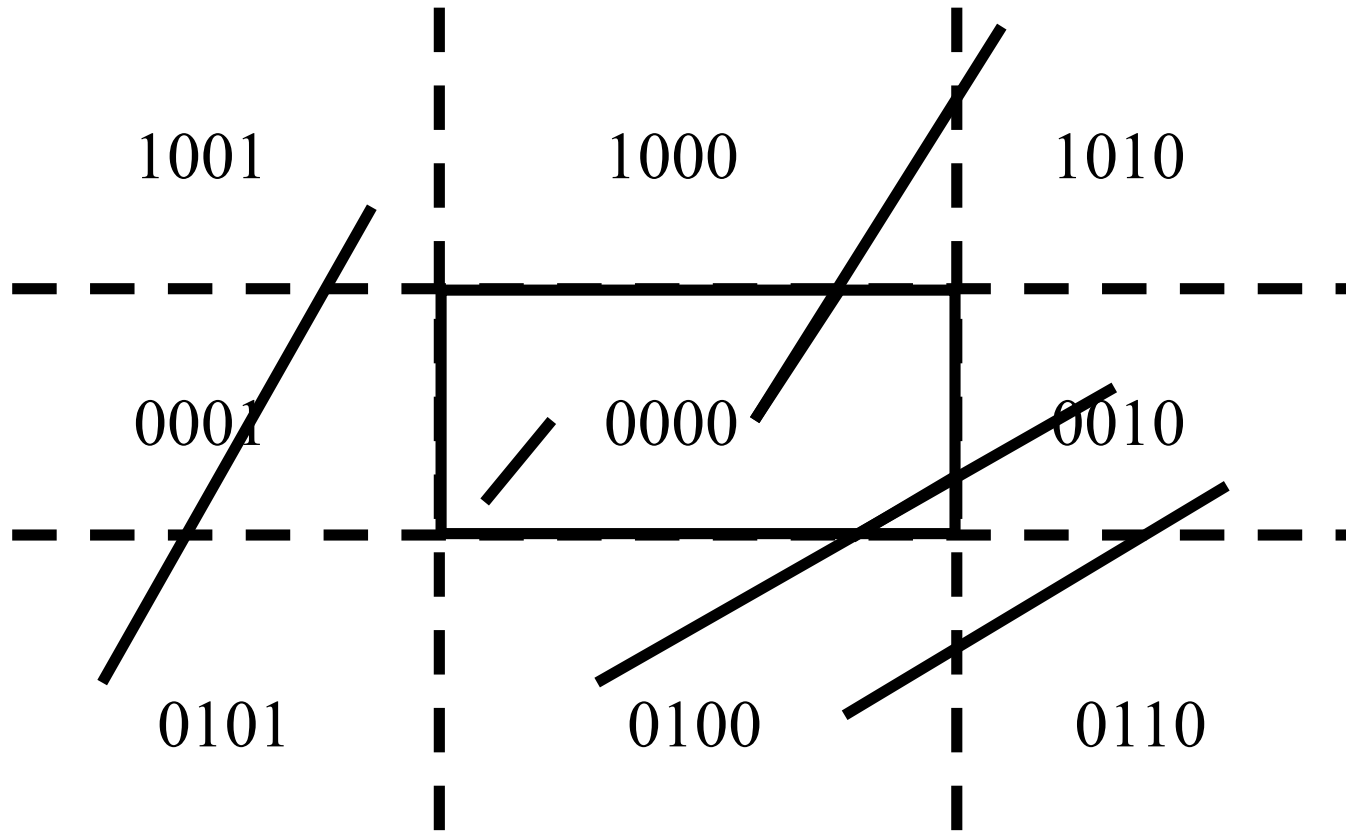
Recorte de segmentos com base no algoritmo Cohen-Sutherland



Casos de *clipping* de linhas



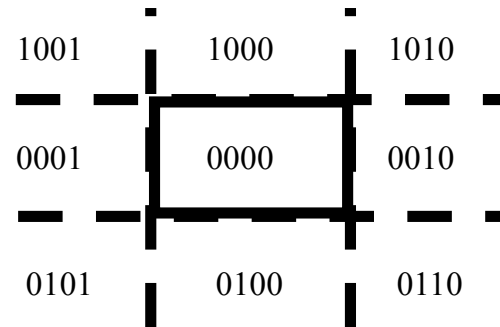
Códigos das regiões



tbl

Cálculo do código de um vértice

```
unsigned char code(double x, double y,  
                  double xmin, double xmax, double ymin, double ymax)  
{  
    unsigned char code=0;  
  
    if (y > ymax) code += 8;  
    if (y < ymin) code += 4;  
    if (x > xmax) code += 2;  
    if (x < xmin) code += 1;  
  
    return code;  
}
```



tbrl

```

void CohenSutherlandLineClip(double x0, double y0, double x1, double y1,
                           double xmin, double xmax, double ymin, double ymax)
{
    unsigned char outcode0, outcode1, outcodeOut;
    double x, y;  boolean accept = FALSE, done = FALSE;

    outcode0 = code(x0, y0, xmin, xmax, ymin, ymax);
    outcode1 = code(x1, y1, xmin, xmax, ymin, ymax);

    do {
        if (outcode0 == 0 && outcode1 == 0) {
            accept = TRUE;  done = TRUE;          /* trivial draw and exit */
        } else if((outcode0 & outcode1) != 0) {
            done = TRUE;          /* trivial reject and exit */
        } else {
            /* discard an out part */
            outcode = (outcode0 != 0) ? outcode0 : outcode1;          /* pick an out vertice */
            if (outcodeOut & 8) {          /* discard top */
                x = x0 + (x1 - x0) * (ymax - y0) / (y1 - y0);  y = ymax;
            } else if(outcodeOut & 4) {          /* discard bottom */
                x = x0 + (x1 - x0) * (ymin - y0) / (y1 - y0);  y = ymin;
            } else if(outcodeOut & 2) {          /* discard right */
                y = y0 + (y1 - y0) * (xmax - x0) / (x1 - x0);  x = xmax;
            } else if(outcodeOut & 1) {          /* discard left */
                y = y0 + (y1 - y0) * (xmin - x0) / (x1 - x0);  x = xmin;
            }

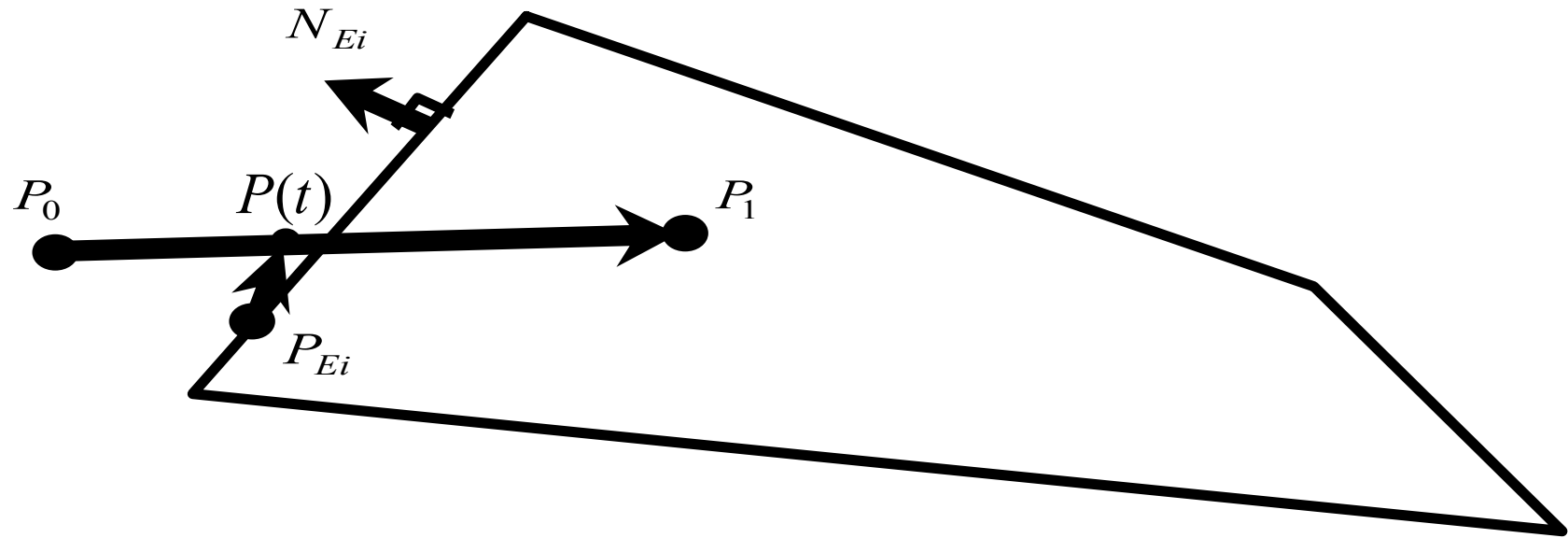
            if (outcodeOut == outcode0) {
                x0 = x; y0 = y; outcode0 = code(x0, y0, xmin, xmax, ymin, ymax);
            } else {
                x1 = x; y1 = y; outcode1 = code(x1, y1, xmin, xmax, ymin, ymax);
            }
        }
    } while (!done);

    if (accept) DrawLineReal(x0, y0, x1, y1);
}

```

**Algoritmo de
Cohen & Sutherland**

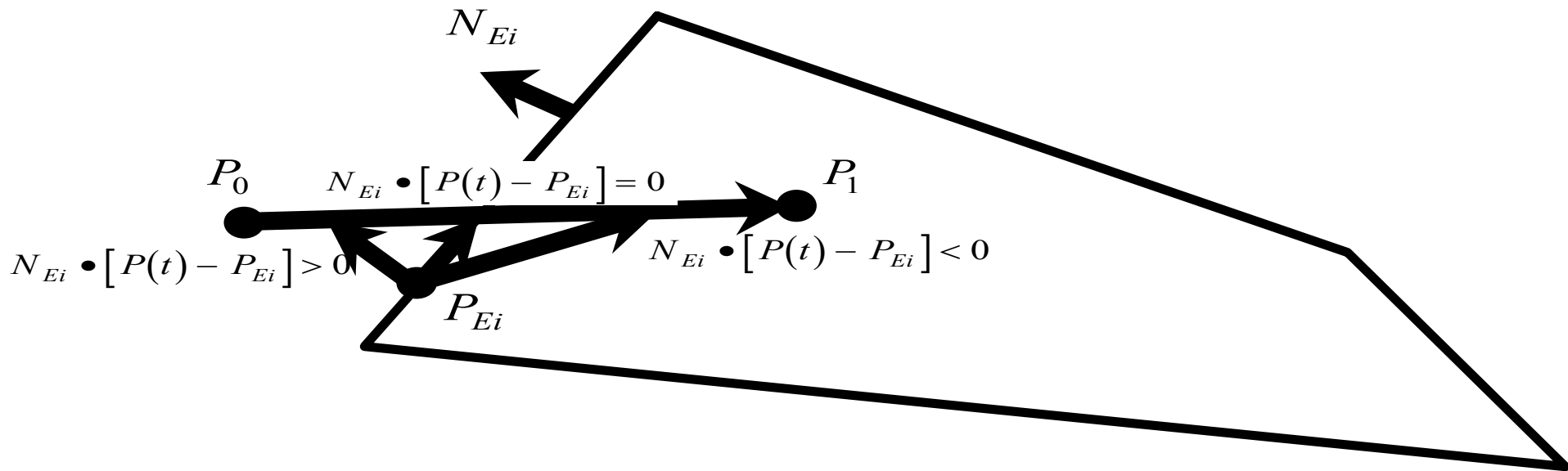
Algoritmo de Cyrus-Beck (Liang-Barsky)



$$P(t) = P_0 + (P_1 - P_0)t$$

$$N_{Ei} \cdot [P(t) - P_{Ei}] = 0$$

Algoritmo de Cyrus-Beck (Liang-Barsky)



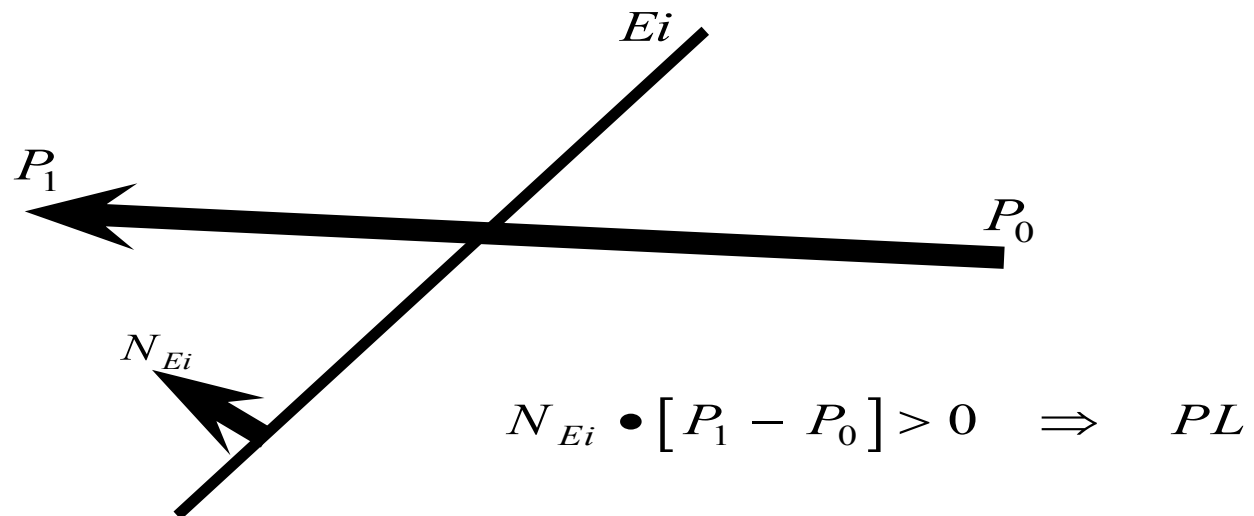
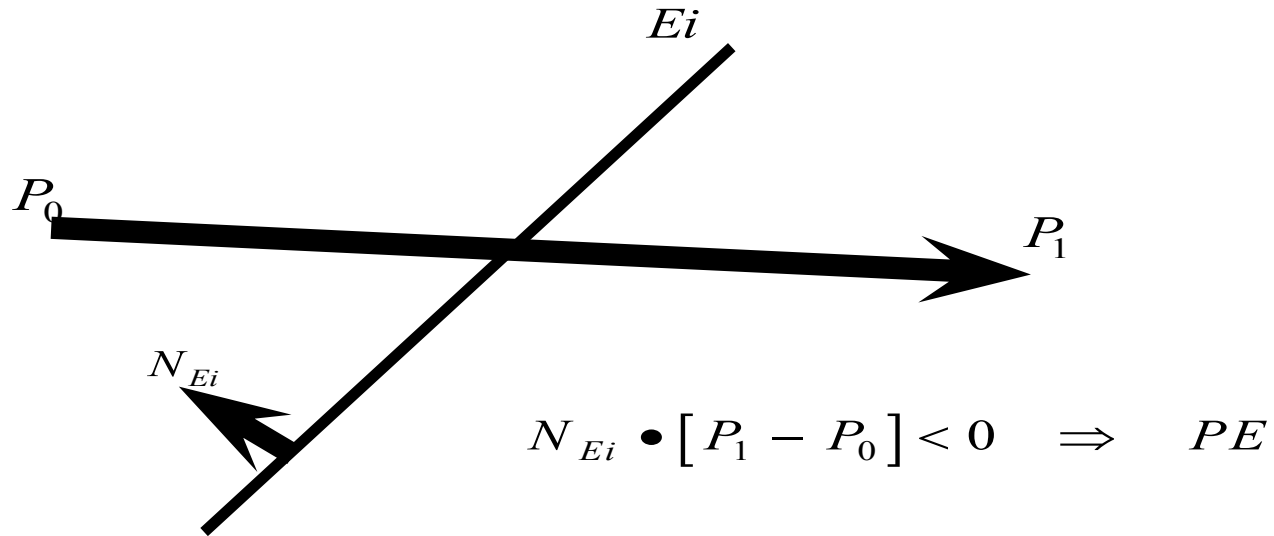
$$P(t) = P_0 + (P_1 - P_0)t$$

$$N_{Ei} \cdot [P(t) - P_{Ei}] = 0$$

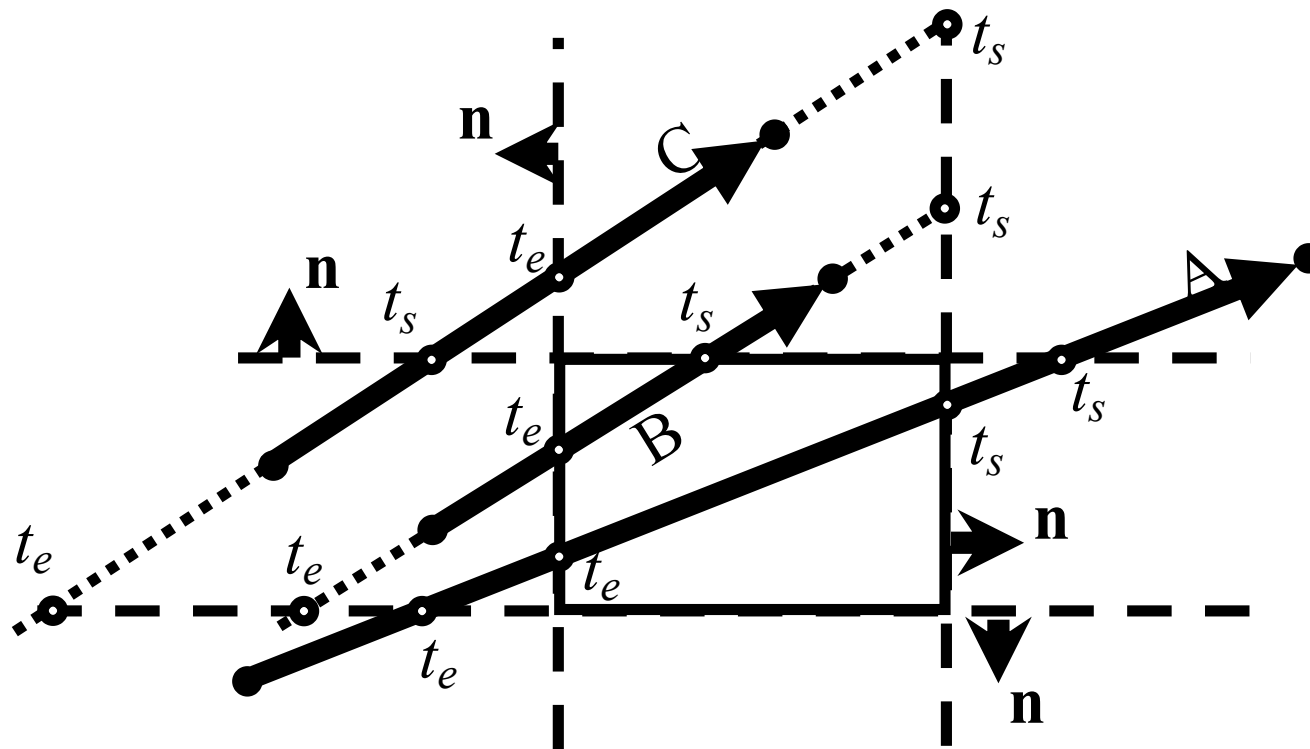


$$t = \frac{N_{Ei} \cdot [P_0 - P_{Ei}]}{-N_{Ei} \cdot [P_1 - P_0]}$$

Entrando ou Saindo ?



Recorte de segmentos com base no algoritmo de Cyrus-Beck

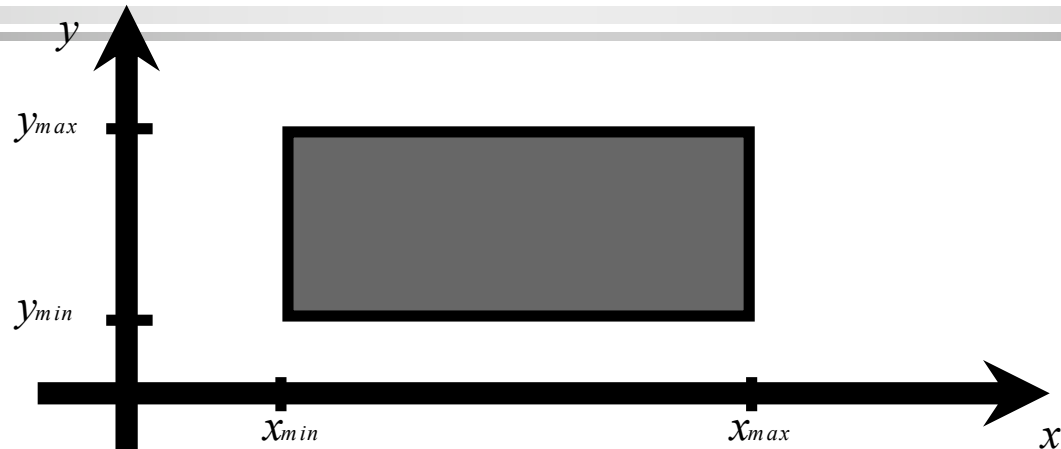


Cyrus-Beck - caso geral

```
{
  Calcule Ni e escolha um PEi para cada aresta

  tE = 0;
  tL = 1;
  for (cada aresta ){
    if (Ni.(P1-P0)!=0 ){ /* aresta não é paralela ao segmento */
      calcule t;
      use sign of Ni.(P1-P0) para categorizar como PE ou PL;
      if( PE ) tE = max(tE, t);
      if( PL ) tL = min(tL, t);
    } else { /* aresta paralela ao segmento */
      if (Ni.(P0-PEi) > 0) /* está fora */
        return nil;
    }
    if (tE > tL)
      return nil;
    else
      return P(tE) and P(tL) as true clip intersections;
  }
}
```

Liang e Barsky - caso particular -



E_i	N_{E_i}	P_{E_i}	t
left: $x = x_{min}$	$(-1, 0)$	(x_{min}, y)	$\frac{-(x_0 - x_{min})}{(x_1 - x_0)}$
right: $x = x_{max}$	$(1, 0)$	(x_{max}, y)	$\frac{(x_0 - x_{max})}{-(x_1 - x_0)}$
bottom: $y = y_{min}$	$(0, -1)$	(x, y_{min})	$\frac{-(y_0 - y_{min})}{(y_1 - y_0)}$
top: $y = y_{max}$	$(0, 1)$	(x, y_{max})	$\frac{(y_0 - y_{max})}{-(y_1 - y_0)}$

Liang e Barsky

- Cálculo da interseção em uma fronteira -

```
boolean Clipt(double den, double num, double *tE, double *tL)
{
    double t;

    if (den > 0)                /* intersecao PE */
    {
        t = num/den;
        if (t > *tL)            /* tE > tL */
            return FALSE;
        else
            if (t > *tE) *tE = t;
    }
    else if (den < 0)          /* intersecao PL */
    {
        t=num/den;
        if (t < *tE)          /* tL < tE */
            return FALSE;
        else
            if (t < *tL) *tL = t;
    }
    else
        if (num > 0)          /* linha esta fora */
            return FALSE;
    }
    return TRUE;
}
```

Algoritmo de Liang e Barsky

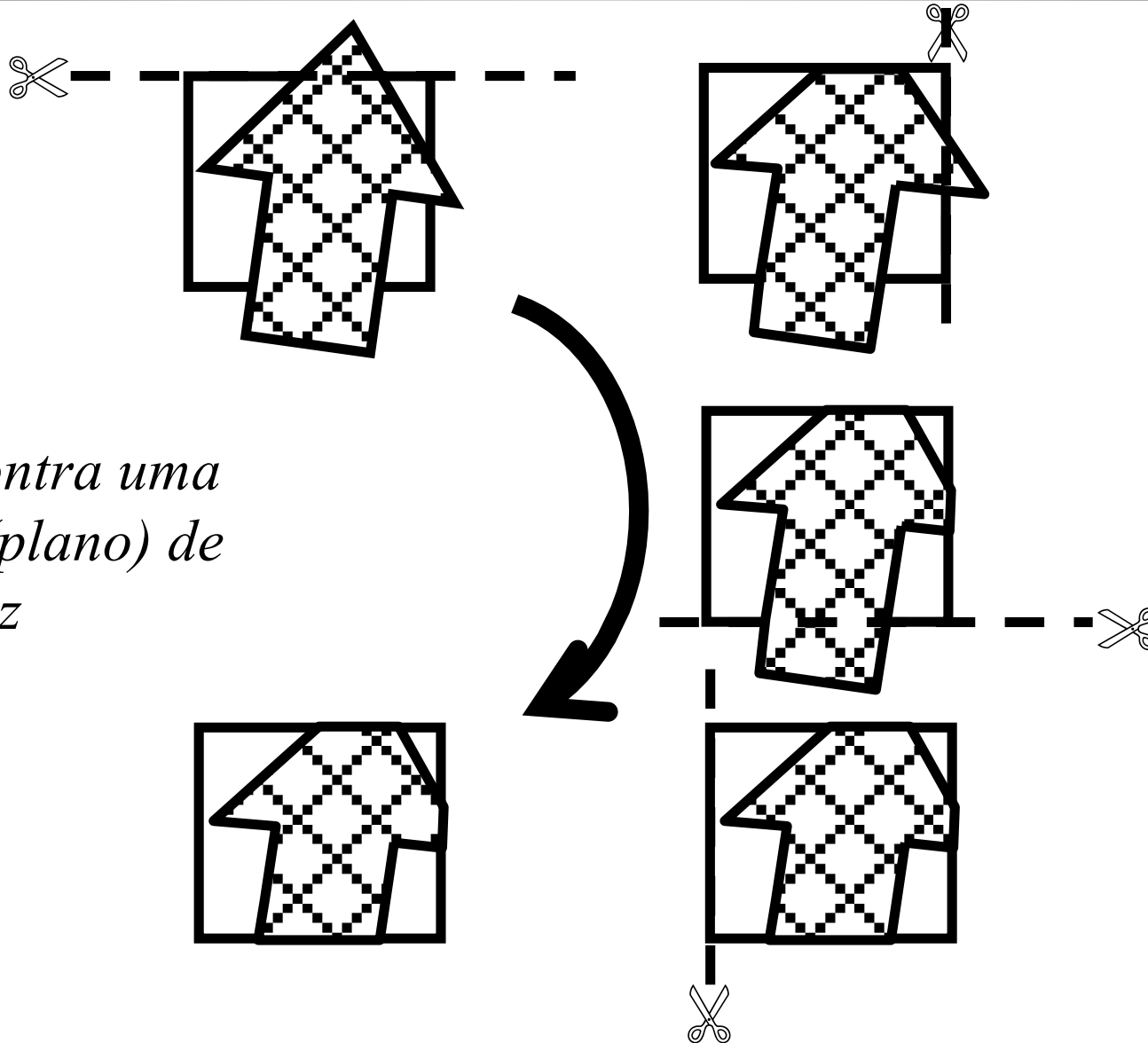
```
boolean Clip2D(double *x0, double *y0, double *x1, double *y1,
              double xmin, double xmax, double ymin, double ymax)
{
    double dx = *x1 - *x0;
    double dy = *y1 - *y0;
    boolean visible = FALSE;

    if (dx==0)&&(dy==0)&&ClipPoint(*x0,*y0,xmin,xmax,ymin,ymax)
        visible=TRUE;
    else
    {
        double tE=0.0, tL=1.0;

        if ( Clipt(dx,xmin-*x0,&tE,&tL) )
            if ( Clipt(-dx,*x0-max,&tE,&tL) )
                if ( Clipt(dy,ymin-*y0,&tE,&tL) )
                    if ( Clipt(-dy,*y0-ymax,&tE,&tL) ) {
                        visible=TRUE;
                        if (tL<1.0) { (*x1)=(*x0)+tL*dx; (*y1)=(*y0)+tE*dy; }
                        if (tE>0.0) { (*x0)=(*x0)+tE*dx; (*y0)=(*y0)+tE*dy; }
                    }
    }
    return visible;
}
```

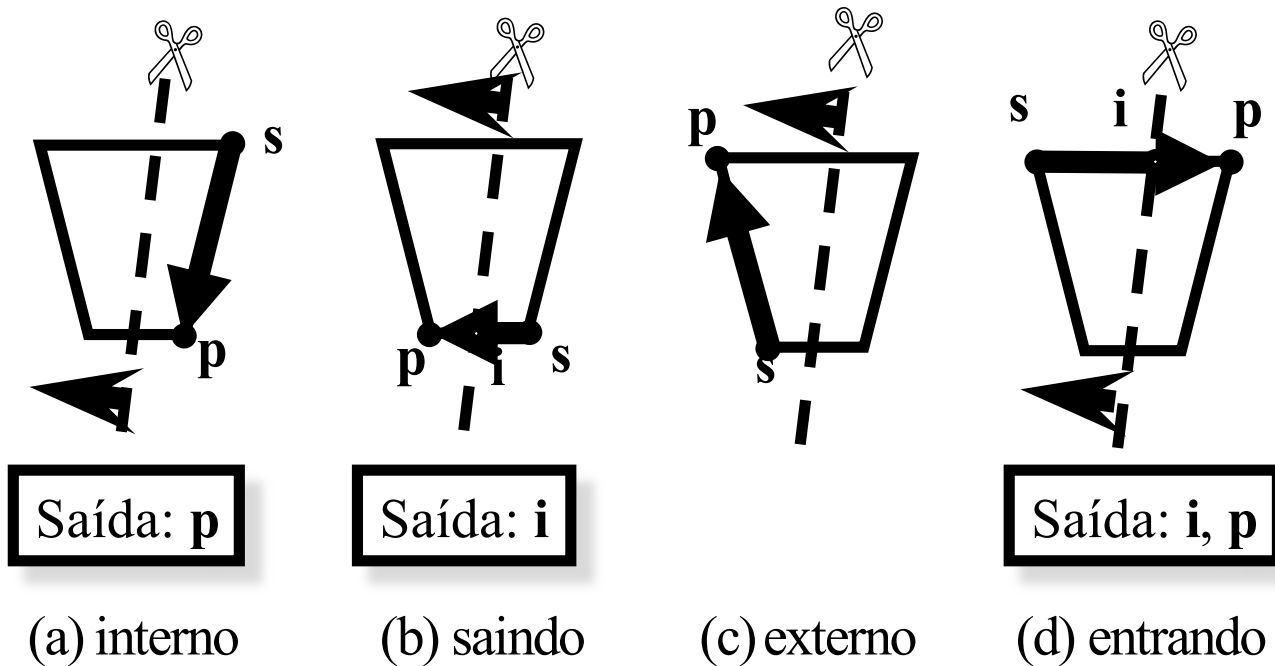
Recorte de polígonos com base no algoritmo de Hodgman-Sutherland

Clip contra uma aresta (plano) de cada vez

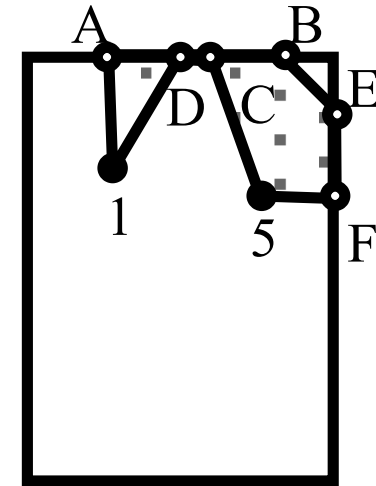
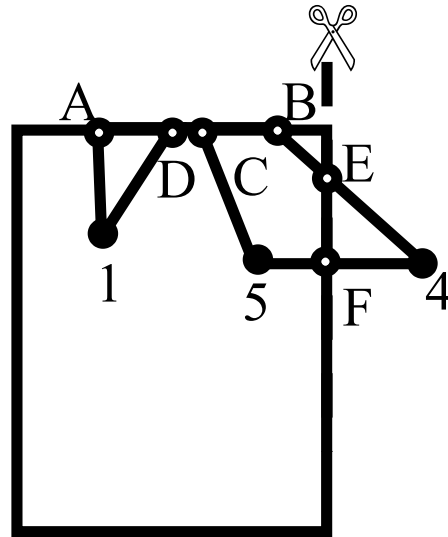
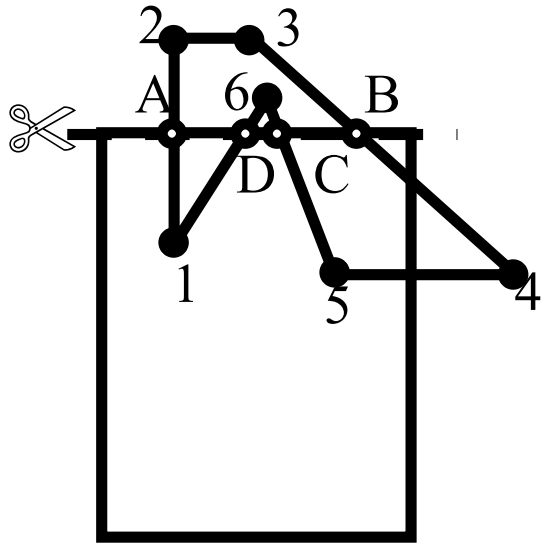


Classificação de um segmento contra um hiperplano no algoritmo de Hodgman-Sutherland

- Para cada aresta (hiperplano) da região de recorte
- Para cada segmento do polígono
 - Existem quatro casos possíveis para um vértice e seu antecessor



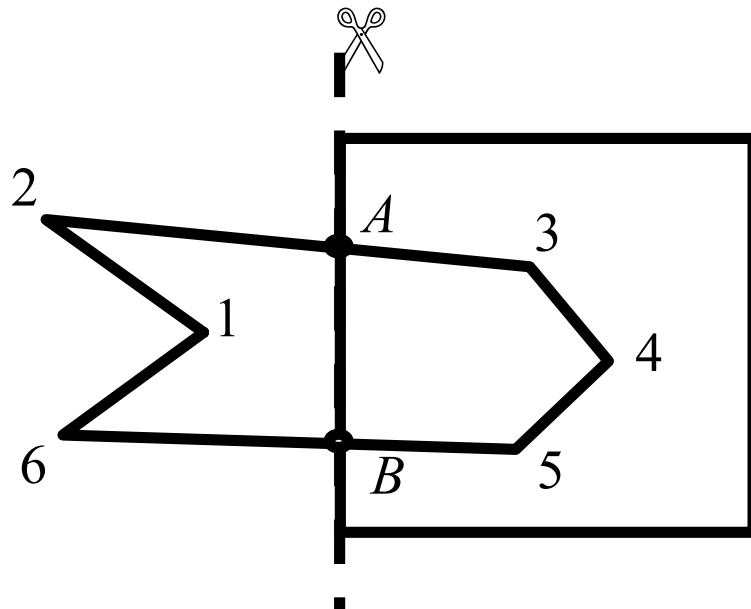
Exemplo do algoritmo de Hodgman-Sutherland



s	p	saída
1	2	A
2	3	
3	4	B e 4
4	5	5
5	6	C
6	1	D e 1

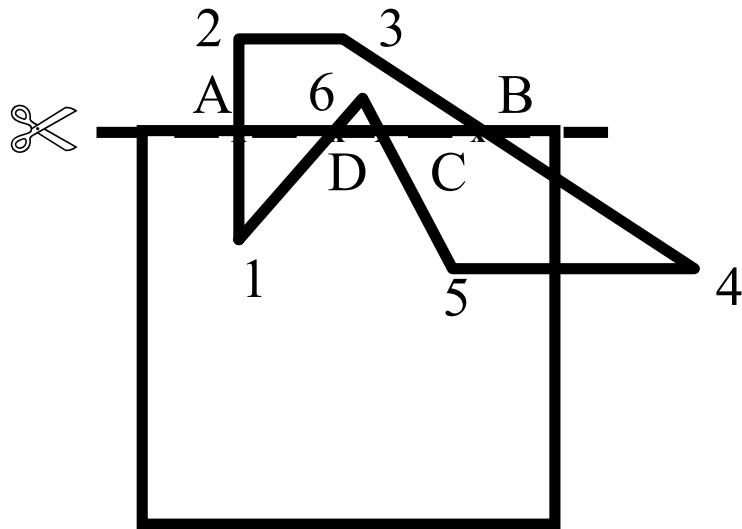
s	p	saída
A	B	B
B	4	E
4	5	F e 5
5	C	C
C	D	D
D	1	1
1	A	A

Clipping de polígonos (Exemplo 1)

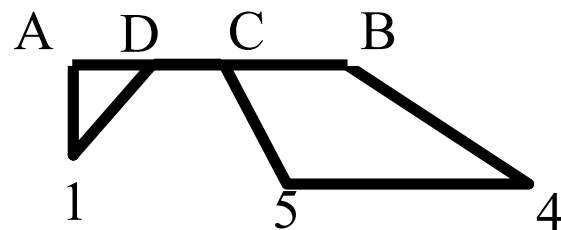


S	P	Ação
1	2	x
2	3	store A,3
3	4	store 4
4	5	store 5
5	6	store B
6	1	x

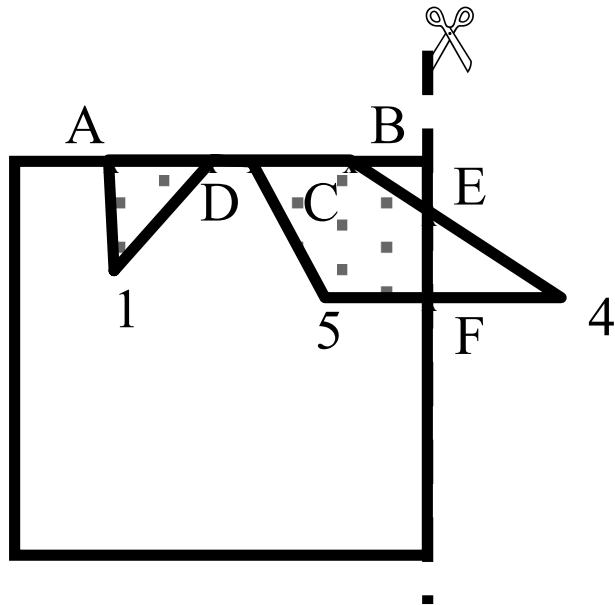
Clipping de polígonos (Exemplo 2)



S	P	Ação
1	2	store A
2	3	x
3	4	store B,4
4	5	store 5
5	6	store C
6	1	store D,1



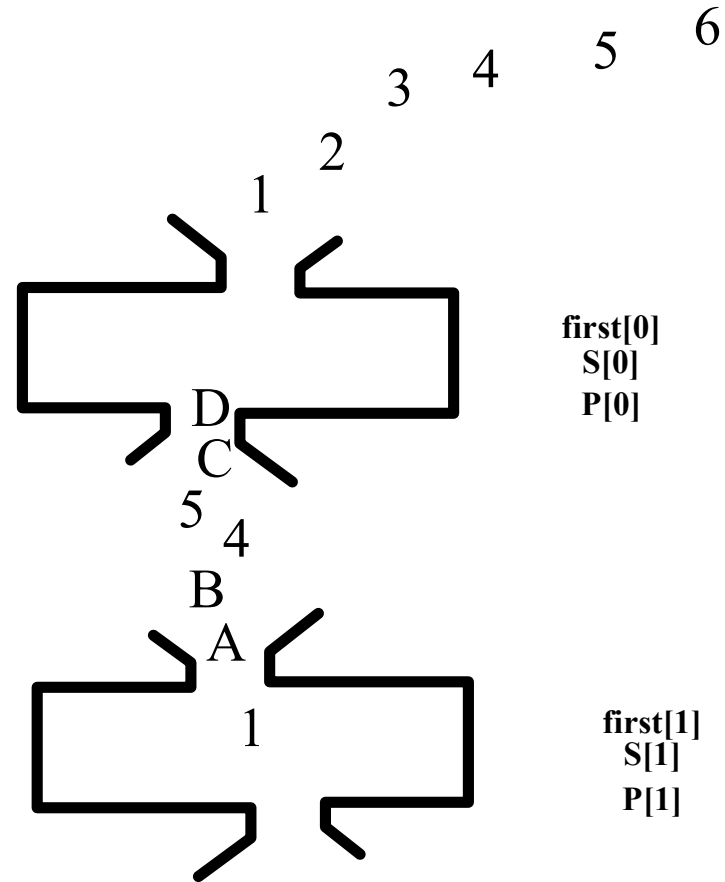
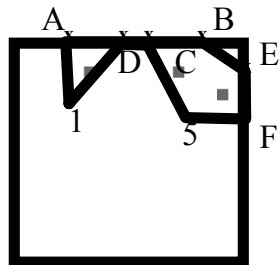
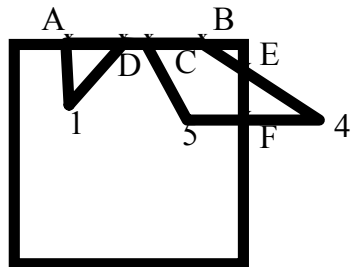
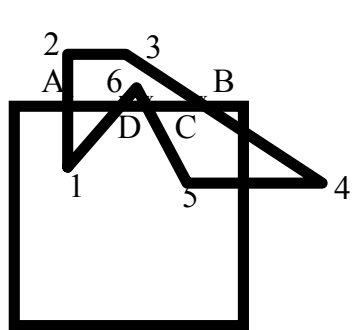
Clipping de polígonos (Exemplo 2)



S	P	Ação
A	B	store B
B	4	store E
4	5	store F,5
5	C	store C
C	D	store D
D	1	x
1	A	store 1, A

B, E, F, 5, C, D, 1, A

Clipping de polígonos (Concatenação de planos)



first[0]
S[0]
P[0]

first[1]
S[1]
P[1]

1, A, B, E, F, 5, C, D

APIs para definição de polígonos

```
int npoints; double x[10],y[10];  
  
FillPoly(npoints, x, y);
```

```
typedef struct { double x,y; } Point;  
  
Point vertex[10];  
  
FillPoly(npoints, vertex)
```

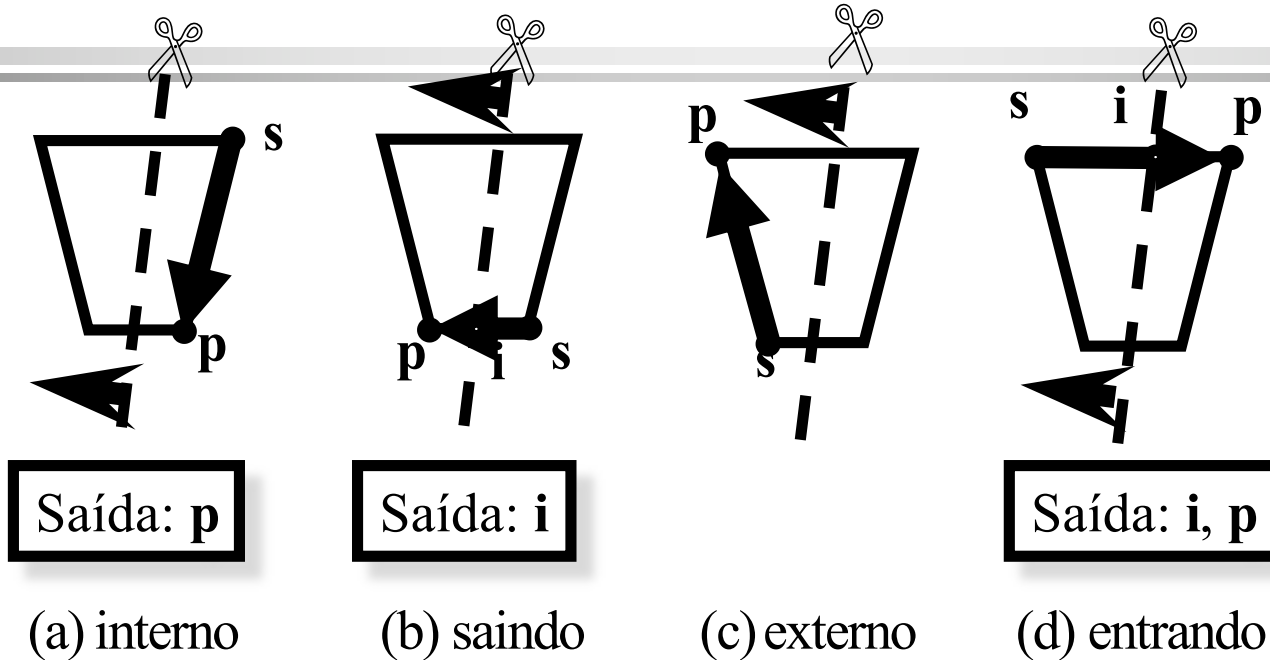
```
Begin(FILL);  
  Vertex(30.,20.);  
  Vertex(15.,18.);  
  ...  
End( );
```



```
void Vertex(double x, double y, double z)  
{  
  ClipAtPlane( x, y, z);  
}
```

```
void End( );{  
  ClipAtPlane(xf,yf,zf);  
  FillSavedPoly( );  
}
```

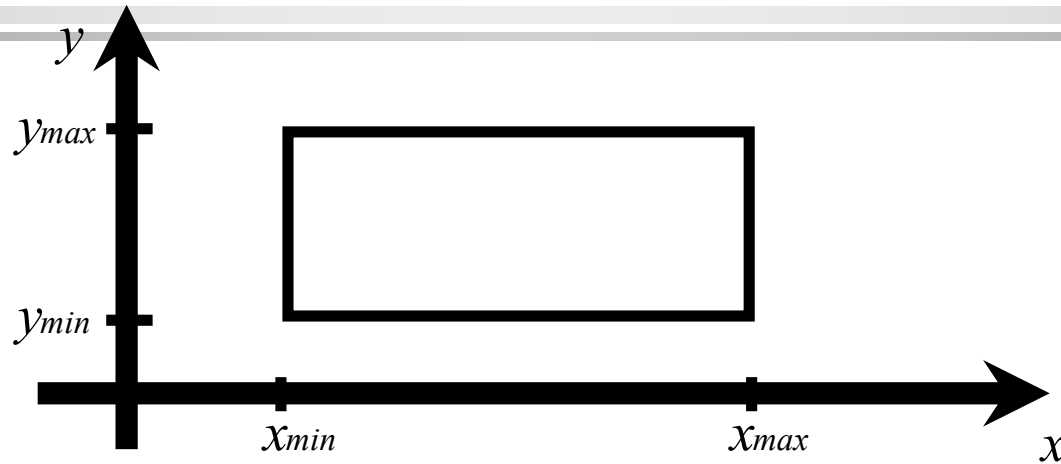
Recorte de polígono contra um plano



```
void ClipAtPlane( double x0, double y0, double x1, double y1, int plane )
{
    double d0 = Distance(x0,y0, plane);
    double d1 = Distance(x1,y1, plane);

    if ((d0<0)^(d1<0)) {
        double t=d0/(d0-d1);
        SaveVertex(x0+t*(x1-x0),y0+t*(y1-y0),plane);
    }
    if (d1<=0.0) SaveVertex(x1,y1,plane);
}
```

Recorte de polígono contra um plano



```
double Distance (double x, double y, int plane )
{
  switch( plane )
  {
    case 0: return( x_min - x      );
    case 1: return( x      - x_max );
    case 2: return( y_min - y      );
    case 3: return( y      - y_max );
  }
  return( 0.0 );
}
```

Recorte de polígono contra um plano

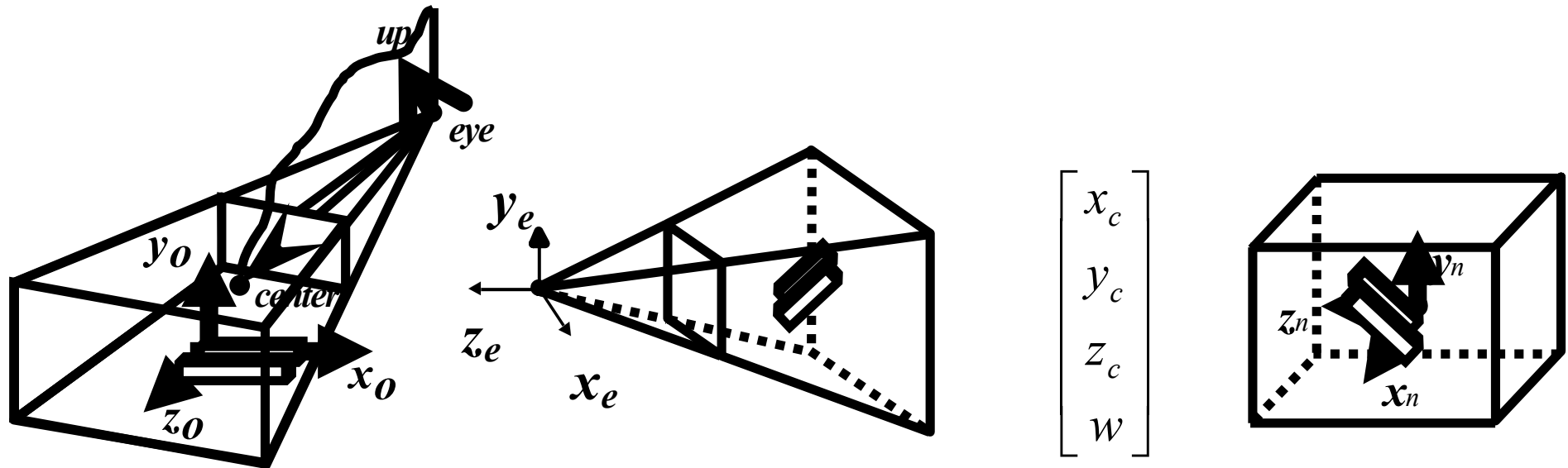
```
void ClipVertex(double x, double y, int plane, int last)
{
    static int first=1;
    static double x_first, y_first;
    static double x_previous, y_previous;

    if (first) {
        x_first=x, y_first=y; first =0;
    } else if (!last) {
        ClipAtPlane(x_previous,y_previous,x,y, plane);
    } else {
        ClipAtPlane(x_previous,y_previous,x_first, y_first, plane);
    }
    x_previous=x; y_previous=y;
}
```


Recorte de polígono contra um plano

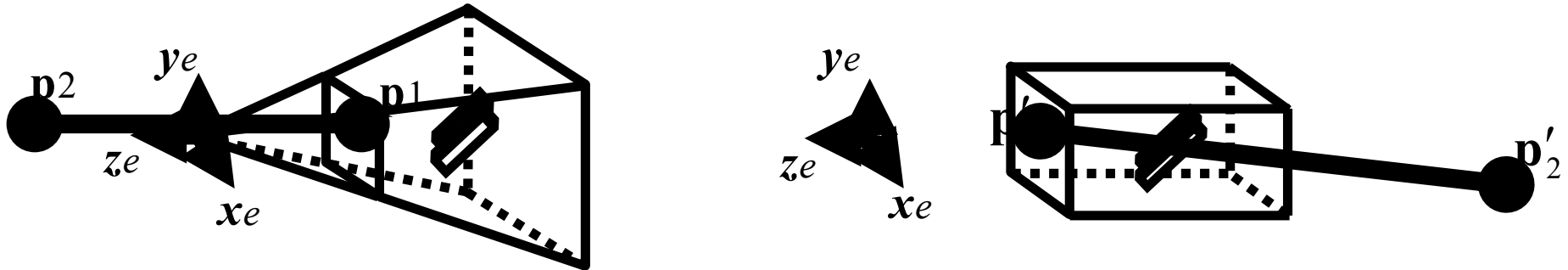
```
void Begin(void) {  
}  
  
void Vertex(double x, double y) {  
    int plane = 0;  
    int last = 0;  
    ClipVertex(x,y,plane,last);  
}  
  
void End(void) {  
    ClipVertex(0,0,0,1);  
}
```

Regiões de recorte do *rendering pipeline*



$$\begin{aligned} -1 &\leq x_n \leq 1 \\ -1 &\leq y_n \leq 1 \\ -1 &\leq z_n \leq 1 \end{aligned}$$

Problema do *clipping* no \mathbb{R}^3



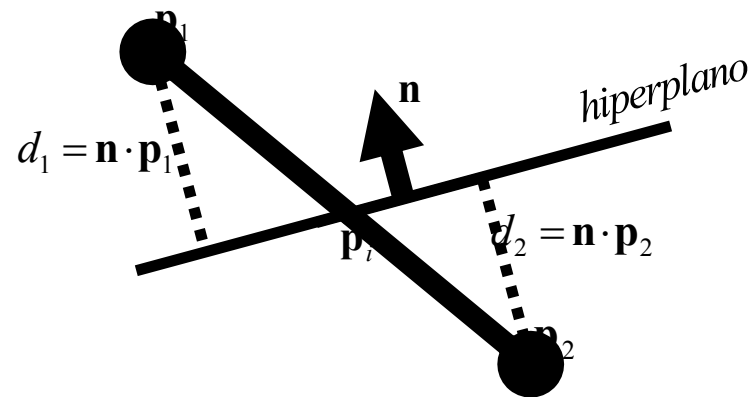
$$\mathbf{p}'_1 = \mathbf{H}\mathbf{p}_1 = \begin{bmatrix} n & 0 & 0 & 0 \\ 0 & n & 0 & 0 \\ 0 & 0 & n+f & nf \\ 0 & 0 & -1 & 0 \end{bmatrix} \begin{bmatrix} 1 \\ 1 \\ -n \\ 1 \end{bmatrix} = \begin{bmatrix} n \\ n \\ -n^2 \\ n \end{bmatrix} = \begin{bmatrix} 1 \\ 1 \\ -n \\ 1 \end{bmatrix}$$

$$\mathbf{p}'_2 = \mathbf{H}\mathbf{p}_2 = \begin{bmatrix} n & 0 & 0 & 0 \\ 0 & n & 0 & 0 \\ 0 & 0 & n+f & nf \\ 0 & 0 & -1 & 0 \end{bmatrix} \begin{bmatrix} 1 \\ 1 \\ n \\ 1 \end{bmatrix} = \begin{bmatrix} n \\ n \\ n^2 + 2nf \\ -n \end{bmatrix} = \begin{bmatrix} -1 \\ -1 \\ -n-2f \\ 1 \end{bmatrix}$$

$\div w$

Cálculo das distâncias aos hiperplanos no PR^3

```
double Distance (double x, double y, double z, double w, int plane )
{
  switch( plane )
  {
    case 0: return( -w - x );
    case 1: return( -w + x );
    case 2: return( -w - y );
    case 3: return( -w + y );
    case 4: return( -w - z );
    case 5: return( -w + z );
  }
  return( 0.0 );
}
```



$$\text{intercepta} \iff d_1 d_2 < 0$$

$$\mathbf{p}_i = \frac{|d_1|}{|d_1| + |d_2|} \mathbf{p}_2 + \frac{|d_2|}{|d_1| + |d_2|} \mathbf{p}_1$$

$$\mathbf{p}_i = \frac{d_1}{d_1 - d_2} \mathbf{p}_2 - \frac{d_2}{d_1 - d_2} \mathbf{p}_1$$

Recorte de polígonos de Sutherland-Hodgman

```
static int first[]={1,1,1,1,1};
static double fx[5],fy[5],fz[5],fw[5],fd[5];
static double sx[5],sy[5],sz[5],sw[5],sd[5];
```

```
void ClipAtPlane( double x, double y, double z, double w, int plane )
{
    double d = Distance(x, y, z, w, plane);

    /* Check whether it is the first point */
    if( first[plane] ) {
        fx[plane]=x; fy[plane]=y; fz[plane]=z; fw[plane]=w;
        fd[plane]=d; first[plane]=0;
    } else if ((sd[plane] < 0)^(d < 0))
        Intersect( x, y, z, w, plane, sd[plane], d );

    /* Save as previous */
    sx[plane]=x; sy[plane]=y; sz[plane]=z; sw[plane]=w; sd[plane]=d;

    /* Check whether it is a visible point */
    if ( d <= 0.0 ) {
        if ( plane == LAST_PLANE )
            SaveVertex( x, y, z, w );
        else
            ClipAtPlane( x, y, z, w, plane+1 );
    }
}
```

Teste de interseção com uma fronteira

```
void Intersect(double x, double y, double z, double w,
              int plane, double d1, double d2)
{
    double t = d1 / (d1 - d2);

    double xi = sx[plane] + t * (x - sx[plane]);
    double yi = sy[plane] + t * (y - sy[plane]);
    double zi = sz[plane] + t * (z - sz[plane]);
    double wi = sw[plane] + t * (w - sw[plane]);

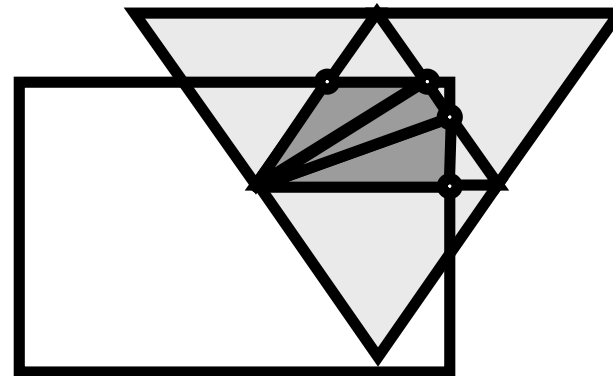
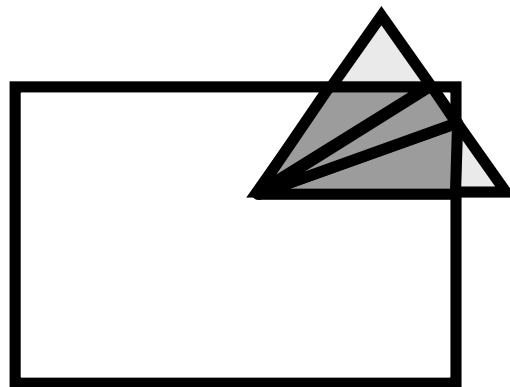
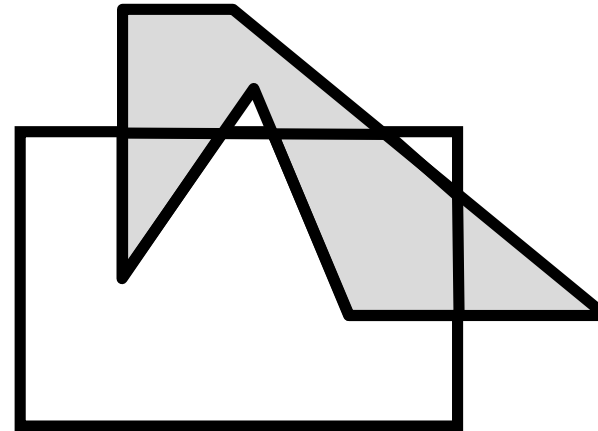
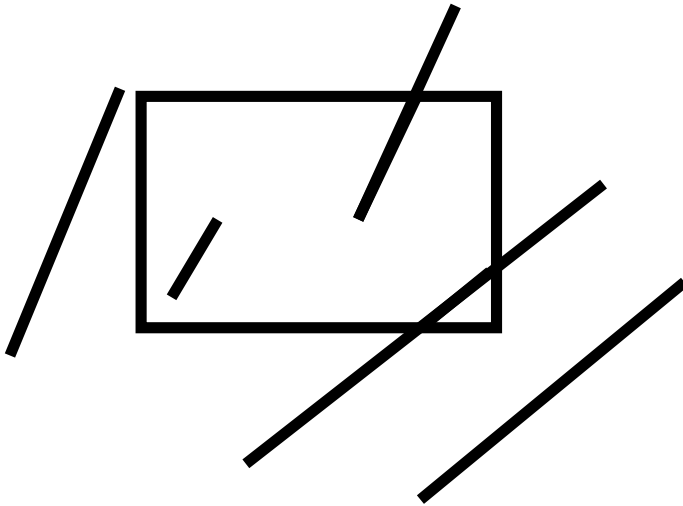
    if( plane == LAST_PLANE )
        SaveVertex( xi, yi, zi, wi );
    else
        ClipAtPlane( xi, yi, zi, wi, plane+1 );
}
```

Fechando o processo

```
Begin (FILL) ;  
  Vertex (30.,20.) ;  
  Vertex (15.,18.) ;  
  ...  
End ( ) ;
```

```
void ClipClose( int plane )  
{  
  if ((sd[plane]<0)^(fd[plane]<0))  
    Intersect( fx[plane], fy[plane], plane, sd[plane], fd[plane] );  
  
  first[plane]=1;  
  
  if( plane == LAST_PLANE )  
    FillSavedPolygon( );  
  else  
    ClipClose( plane+1 );  
}
```


Diferentes problemas de recorte





FIM